

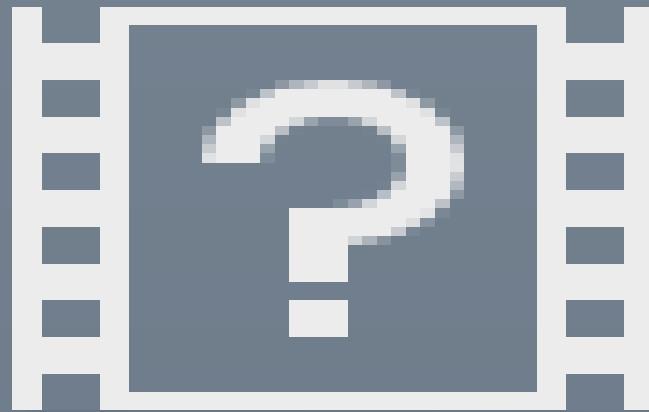
Le boson de Higgs et les recherches au LHC

Yann Coadou

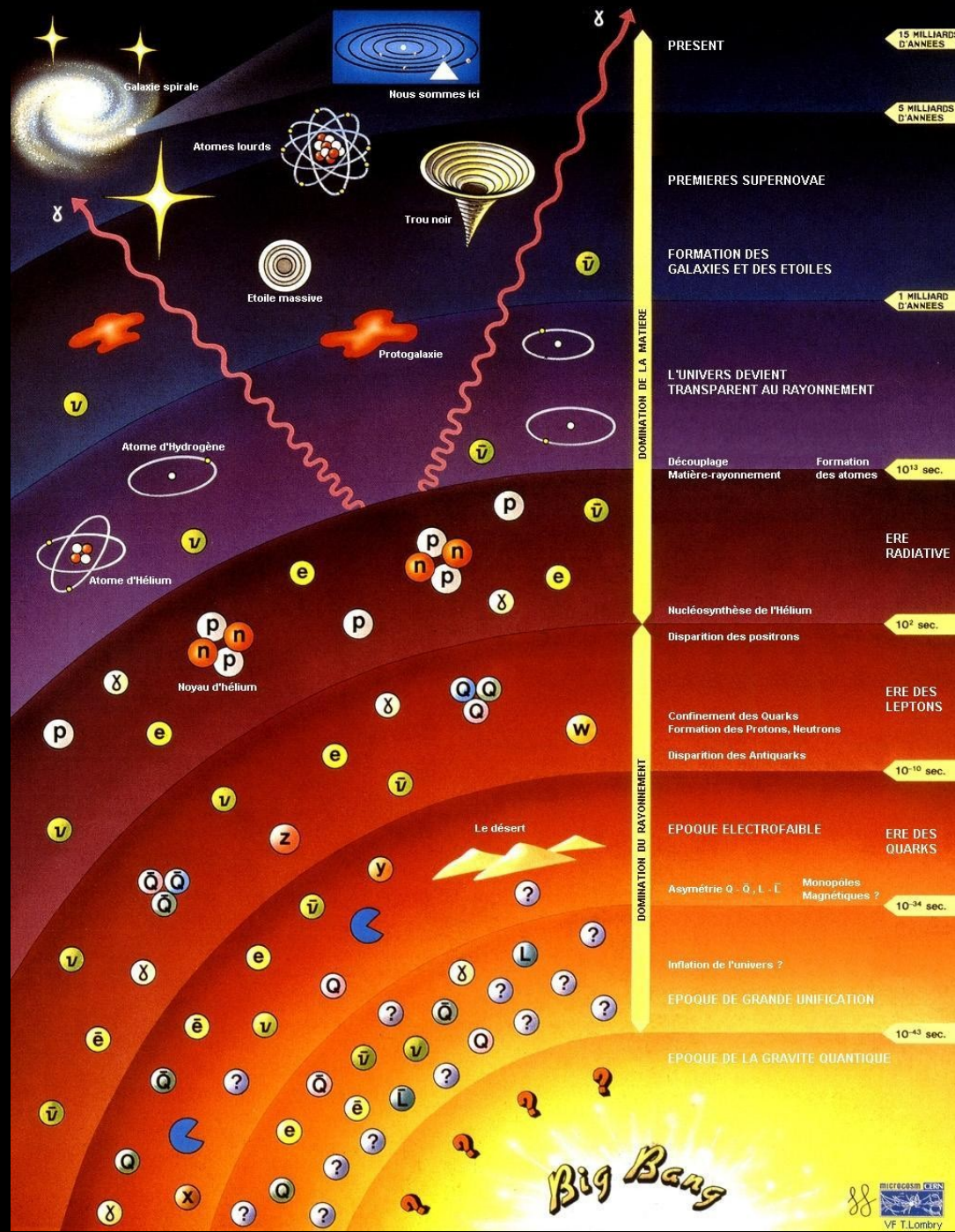
Centre de physique des particules de Marseille



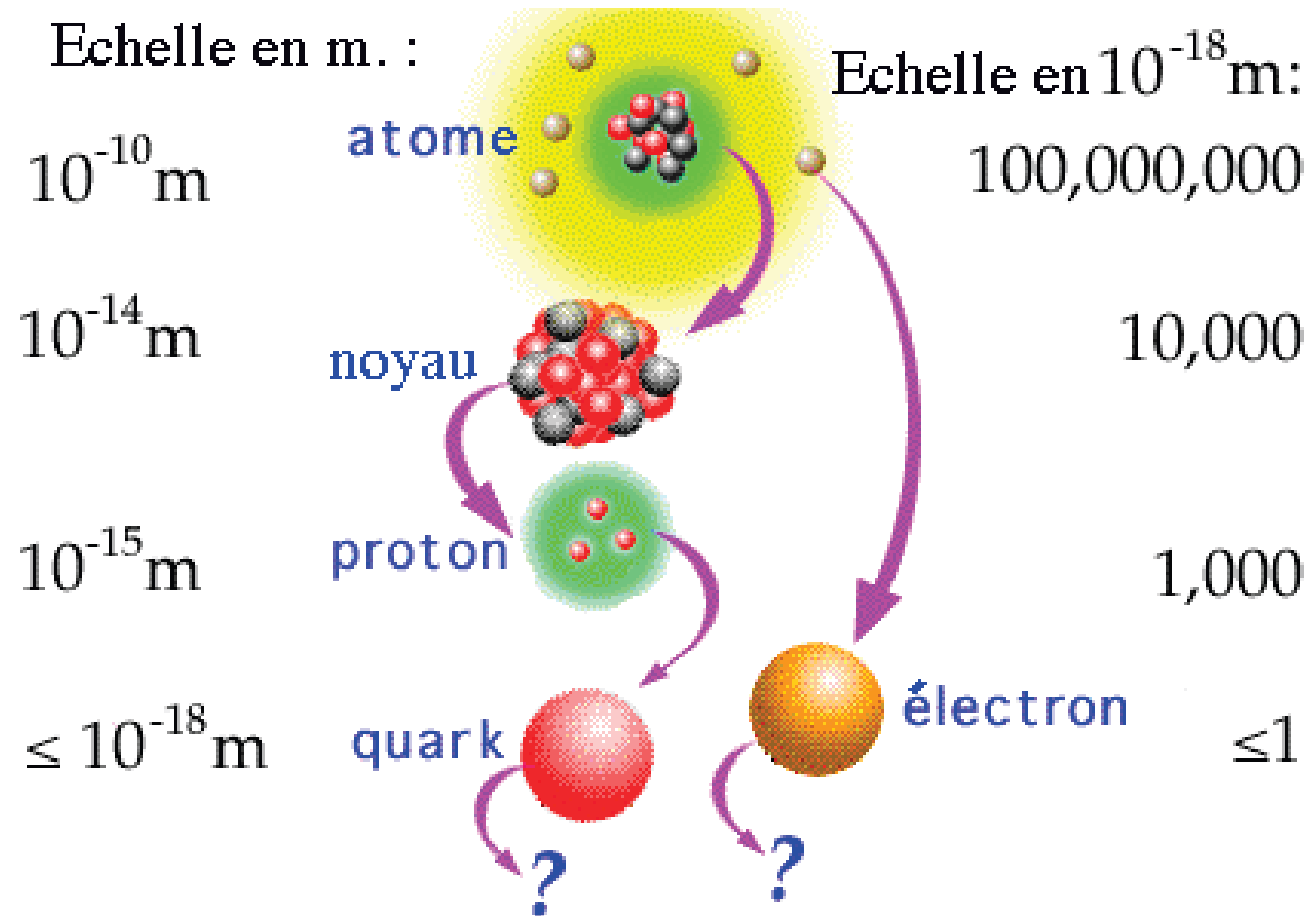
De l'infiniment grand vers l'infiniment petit



L'histoire de l'Univers



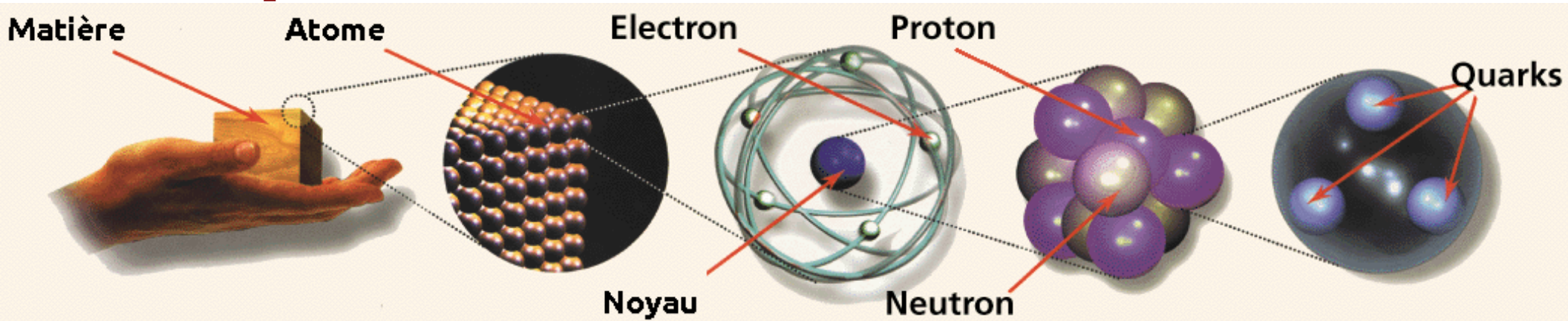
Échelle des distances en physique des particules



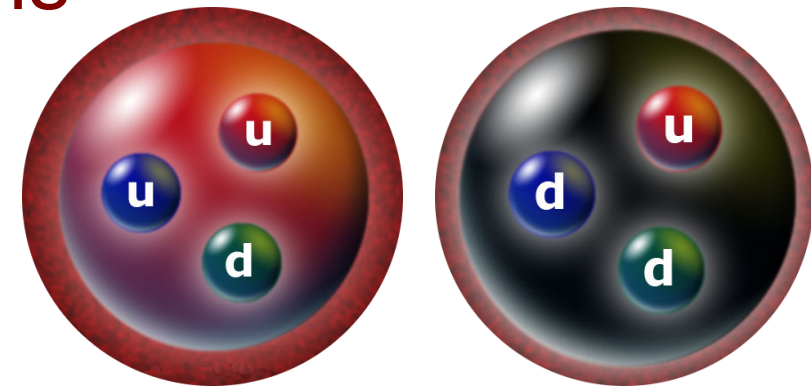
Si protons et neutrons étaient à **10 cm** l'un de l'autre, un quark ou un électron mesurerait **moins de 0,1 mm** et un atome environ **10 km**

Analogie solaire : soleil=noyau, neptune 30 fois plus éloignée qu'en vrai

De quoi est fait l'Univers visible ?



- Toute la matière visible, des galaxies aux virus en passant par les êtres humains, est faite de **quarks up** (*u*) et **down** (*d*) et d'**électrons**
- Protons et neutrons sont faits de 3 quarks
- Ils composent les noyaux
- Les électrons gravitent autour des noyaux
- Des **neutrinos** sont émis dans les réactions nucléaires au cœur des étoiles

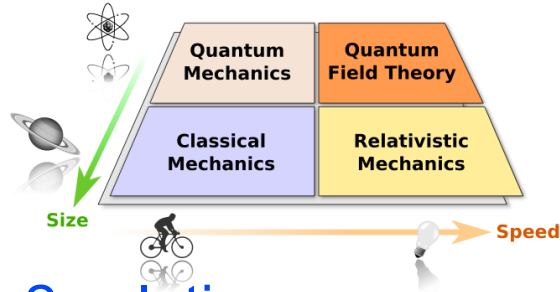


Le positron et l'anti-matière

- Équation du mouvement d'un électron

[1928, Dirac]

- ▶ mécanique quantique
- ▶ cas relativiste
- ▶ Équation de Dirac avec 2 solutions
 - électron
 - positron



- Observation [1932, Anderson]

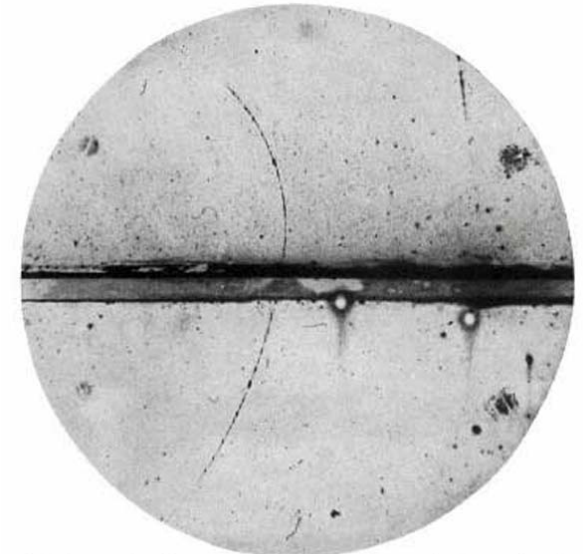


FIG. 1. A 63 million volt positron ($H_p = 2.1 \times 10^6$ gauss-cm) passing through a 6 mm lead plate and emerging as a 23 million volt positron ($H_p = 1.5 \times 10^6$ gauss-cm). The length of this latter path is at least ten times greater than the possible length of a proton path of this curvature.

- Naissance de l'anti-matière

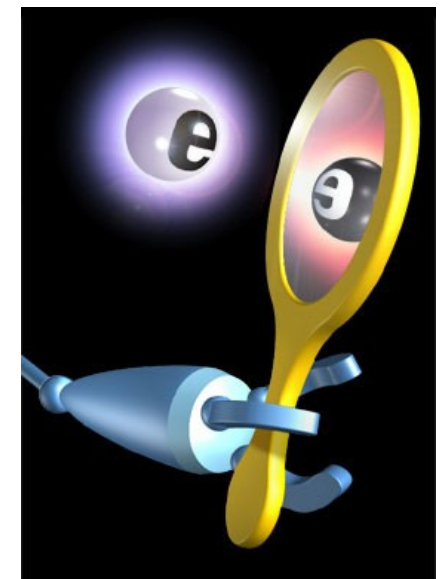
- ▶ positron = anti-électron

- Généralisation : à chaque particule correspond une anti-particule

- L'anti-matière se comporte comme la matière (vue dans un miroir)

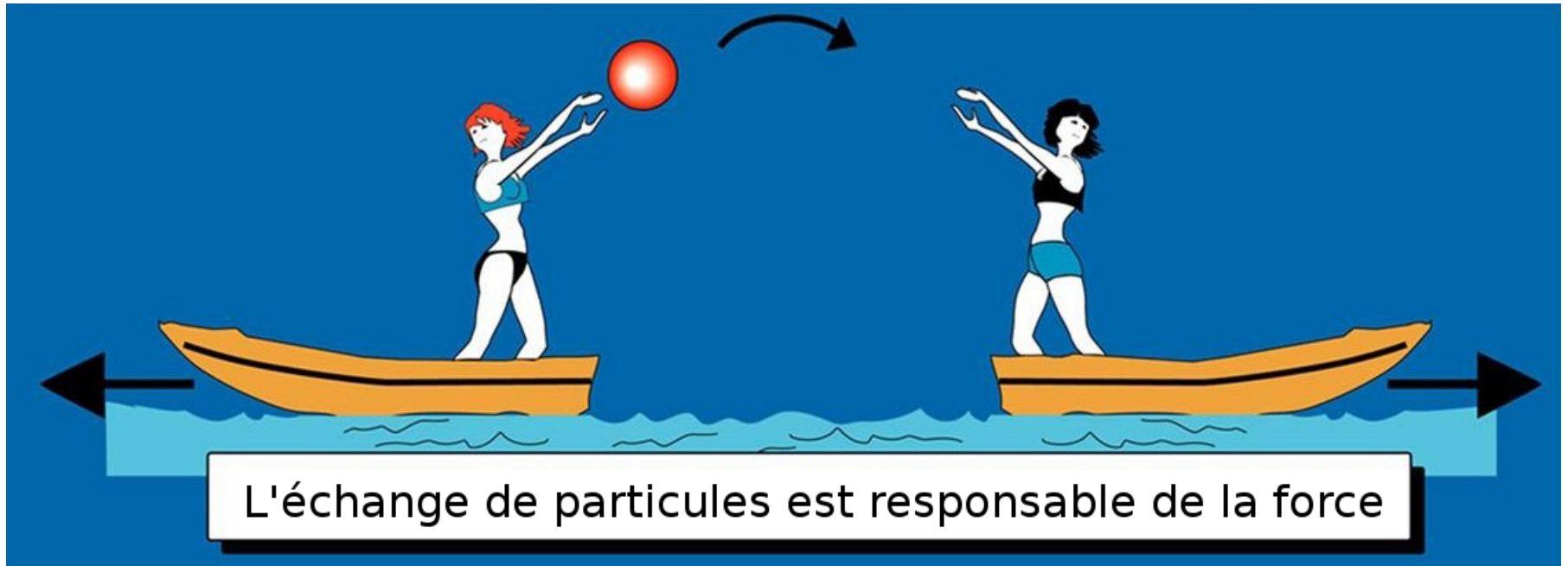
- ▶ mais pas exactement

- il existe une petite asymétrie
- sujet d'étude très actif (et casse-tête théorique)



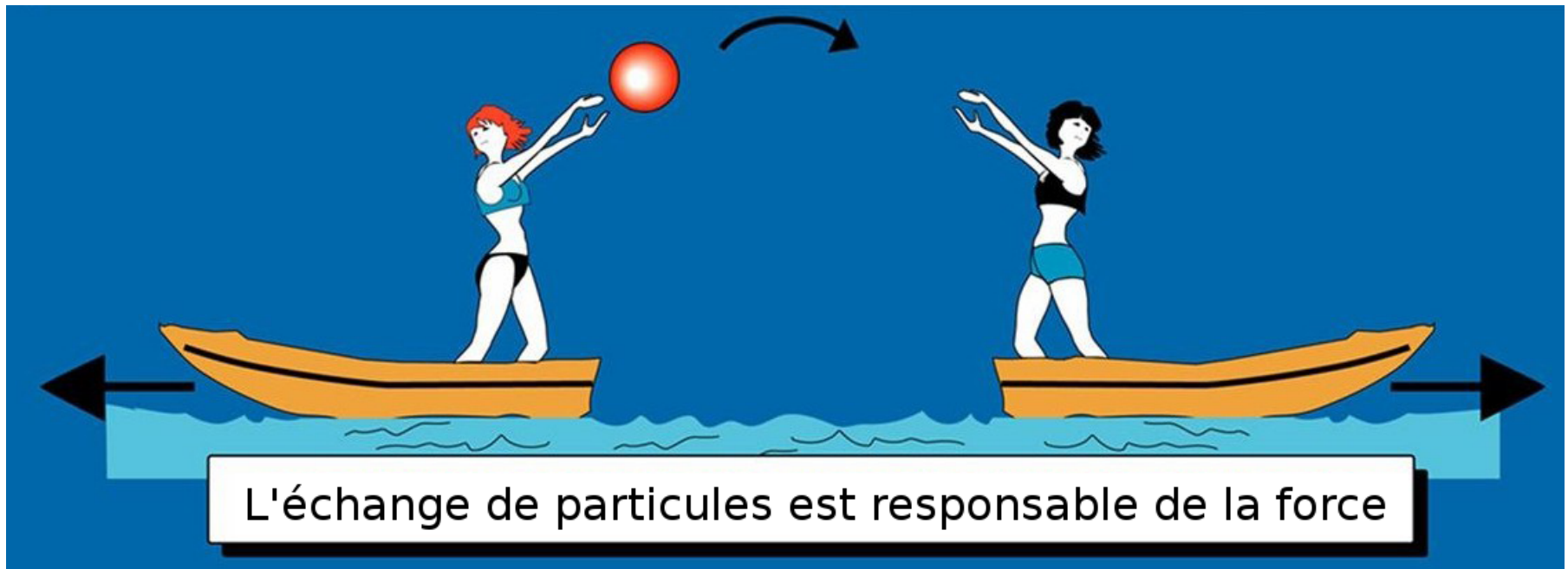
Interaction fondamentale

Échange de particules (bosons) entre particules de matière (fermions, comme les quarks ou les électrons)

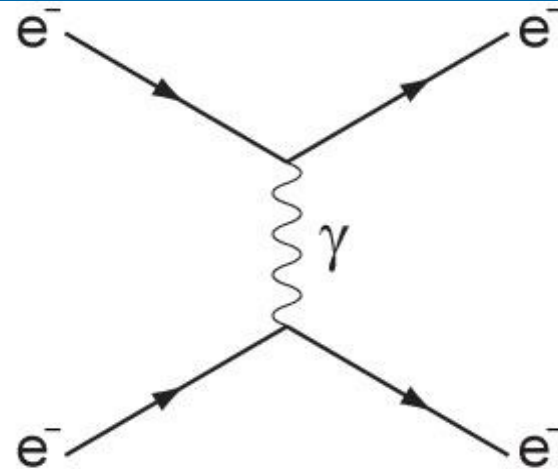


Interaction fondamentale

Échange de particules (bosons) entre particules de matière (fermions, comme les quarks ou les électrons)



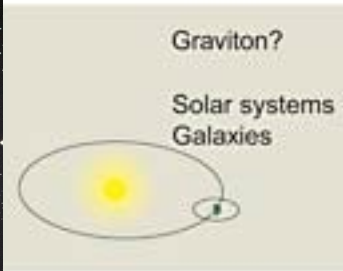
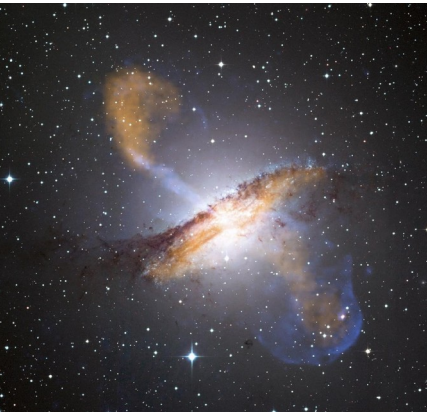
En physique des particules :



Les forces

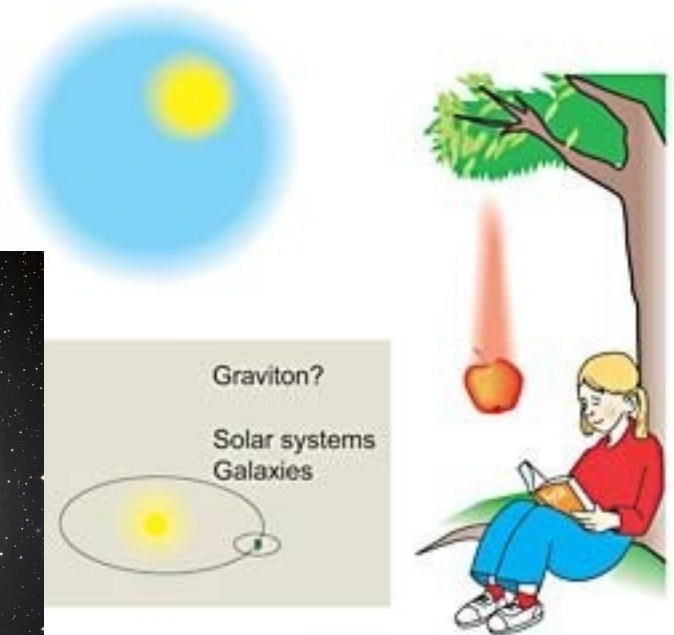


Les forces

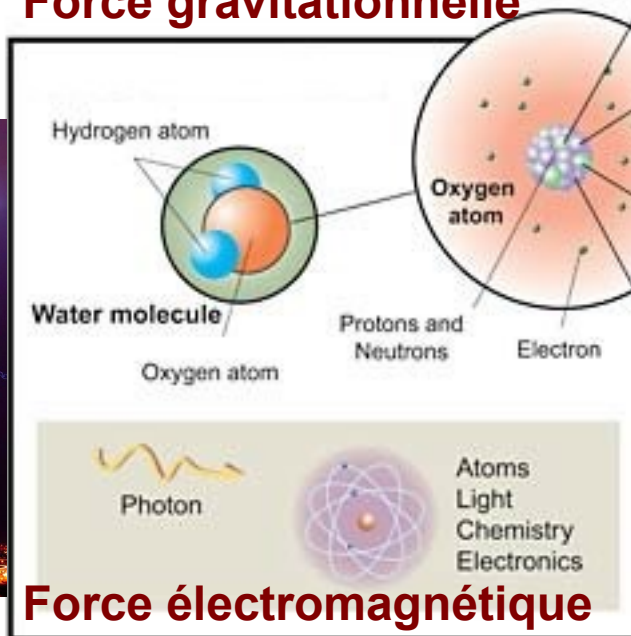


Force gravitationnelle

Les forces



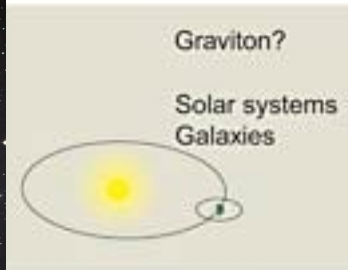
Force gravitationnelle



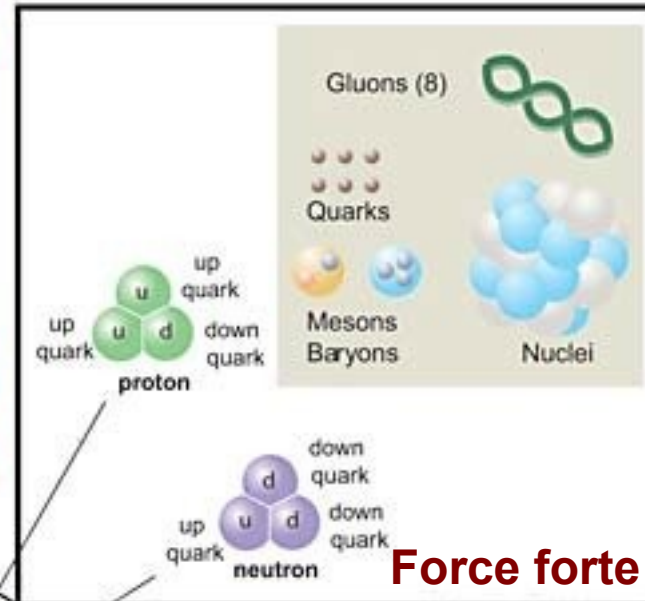
Force électromagnétique



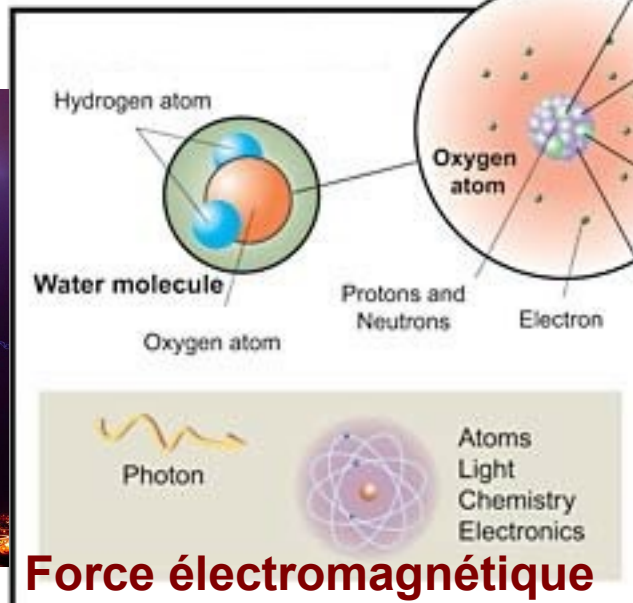
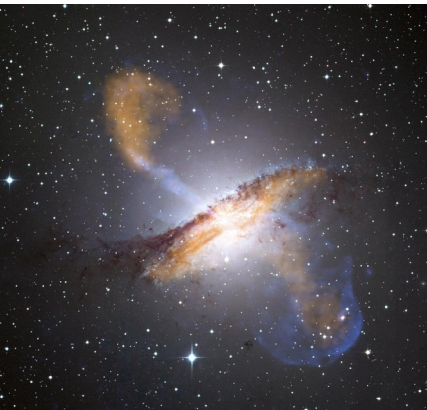
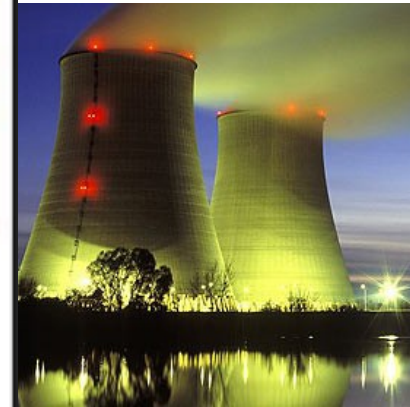
Les forces



Force gravitationnelle



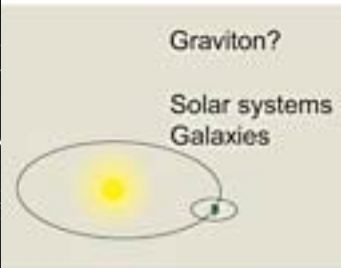
Force forte



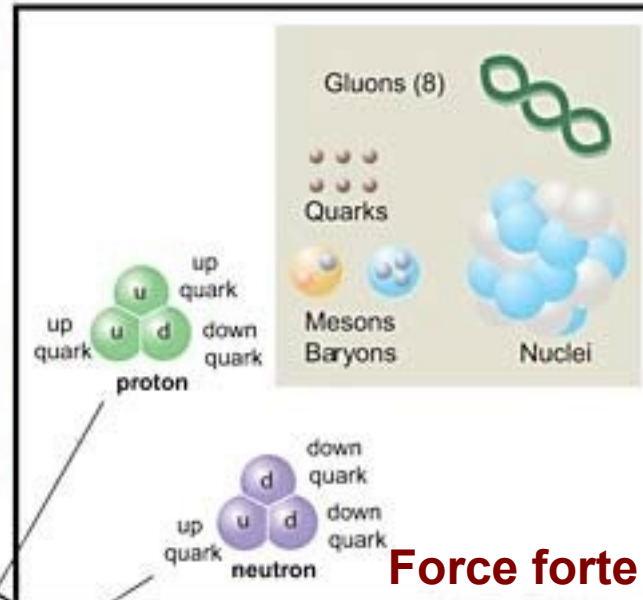
Force électromagnétique



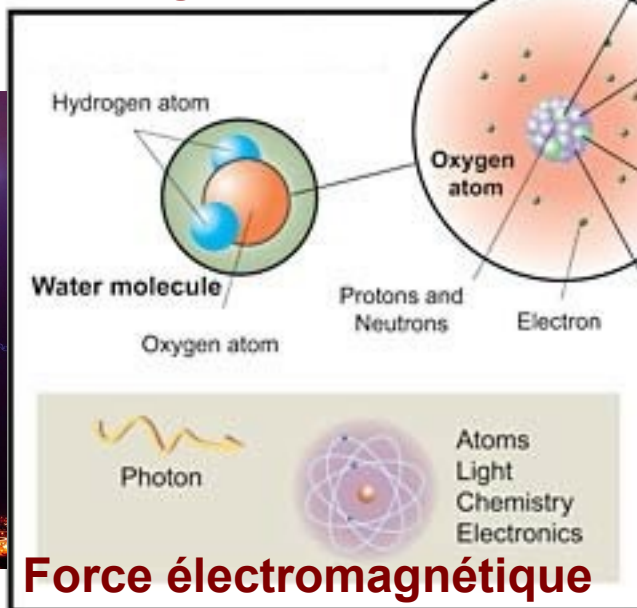
Les forces



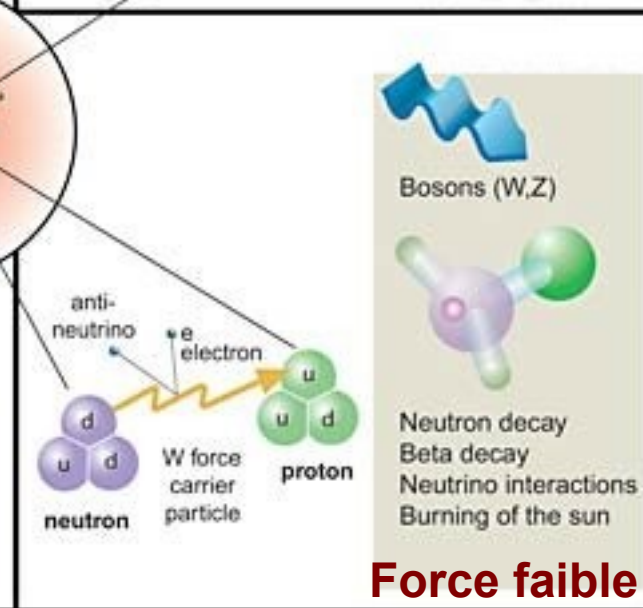
Force gravitationnelle



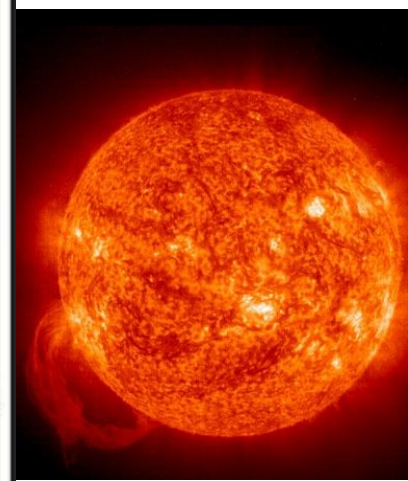
Force forte



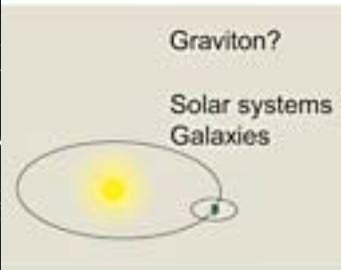
Force électromagnétique



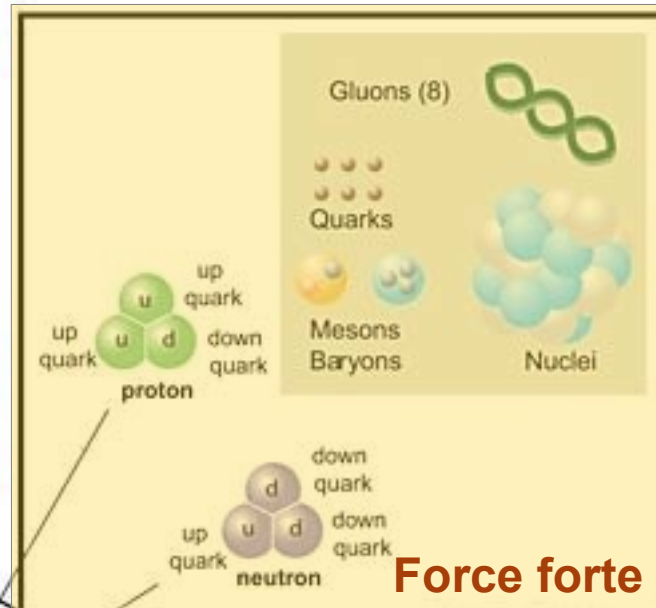
Force faible



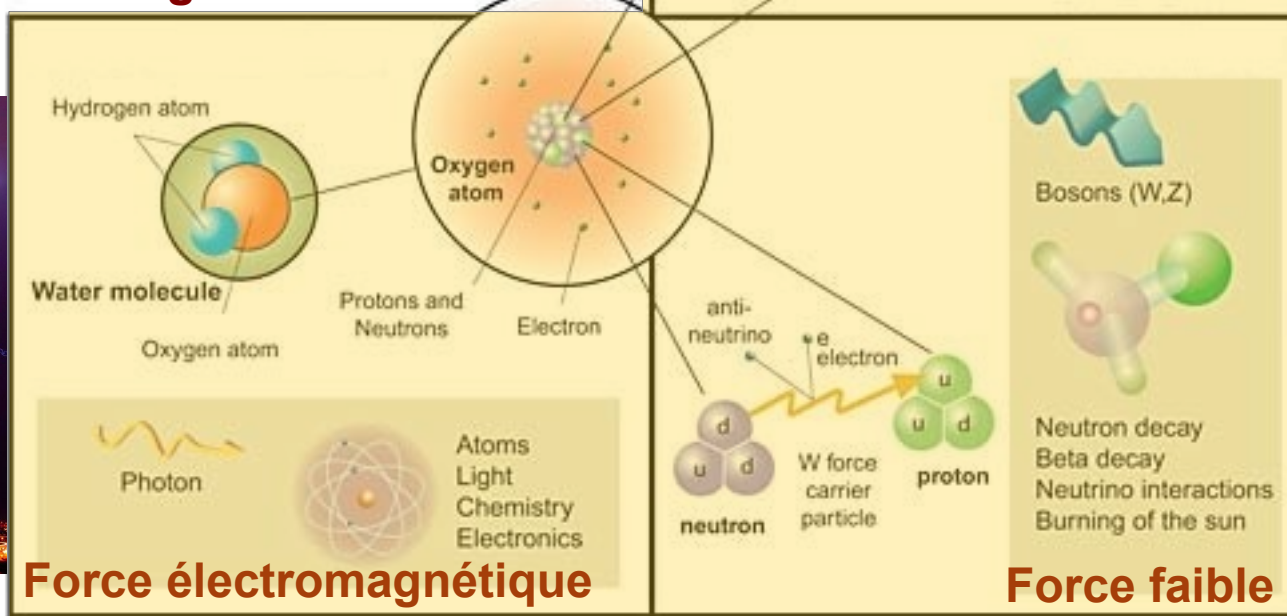
Les forces



Force gravitationnelle

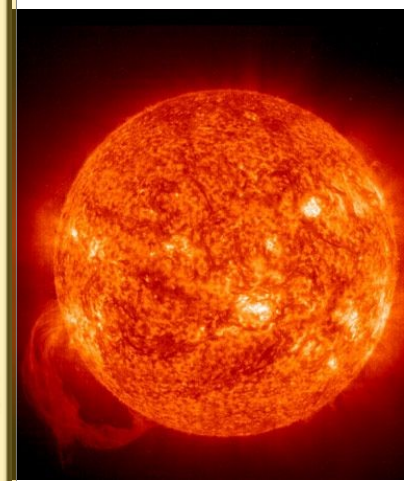
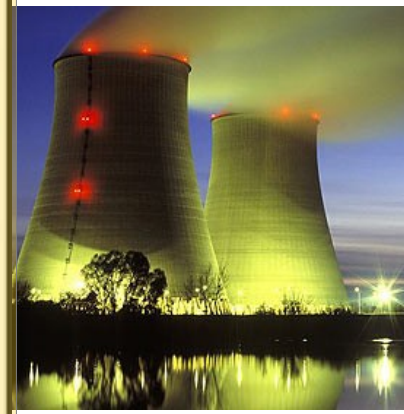
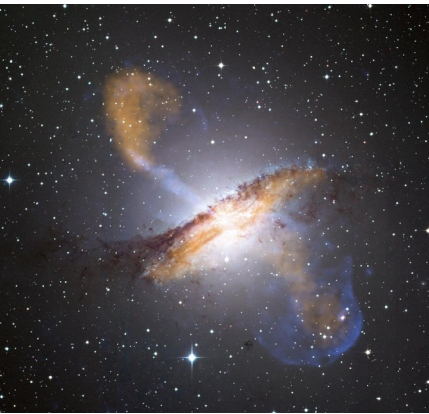


Force forte

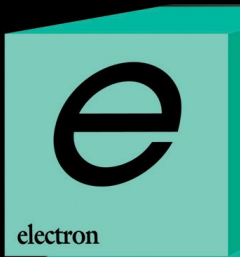


Force électromagnétique

Force faible



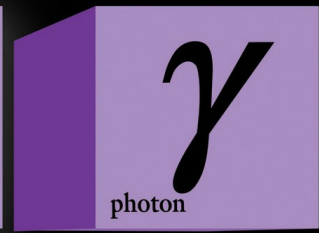
Quarks



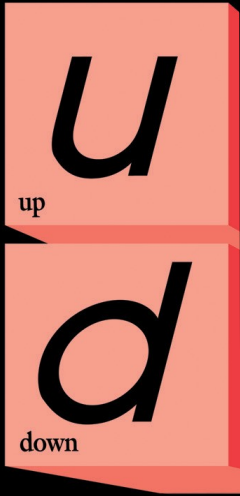
Leptons

Le modèle standard

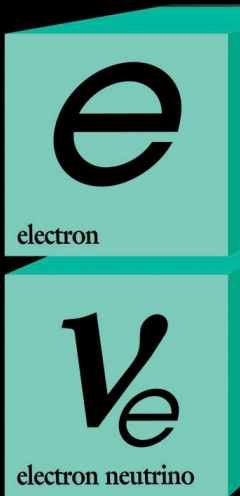
Forces



Quarks



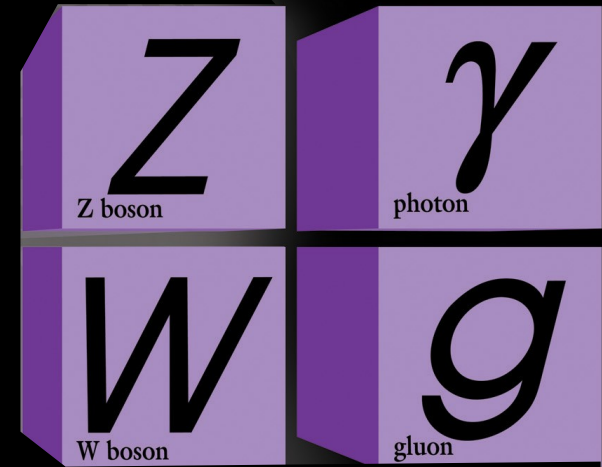
+ anti-matière



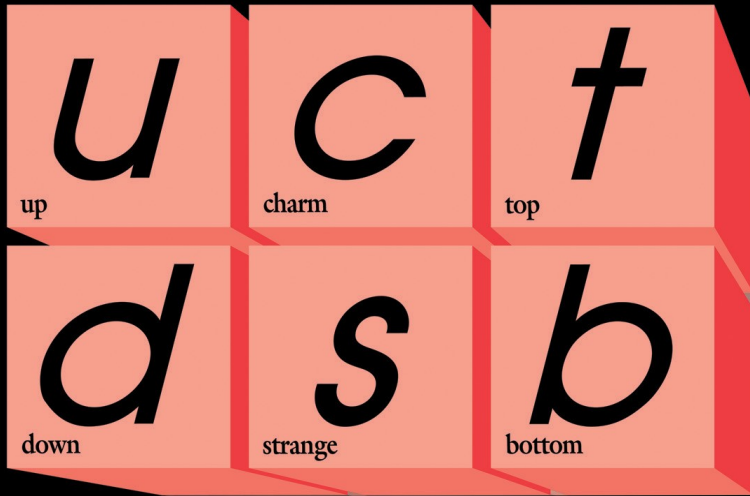
Leptons

Le modèle standard

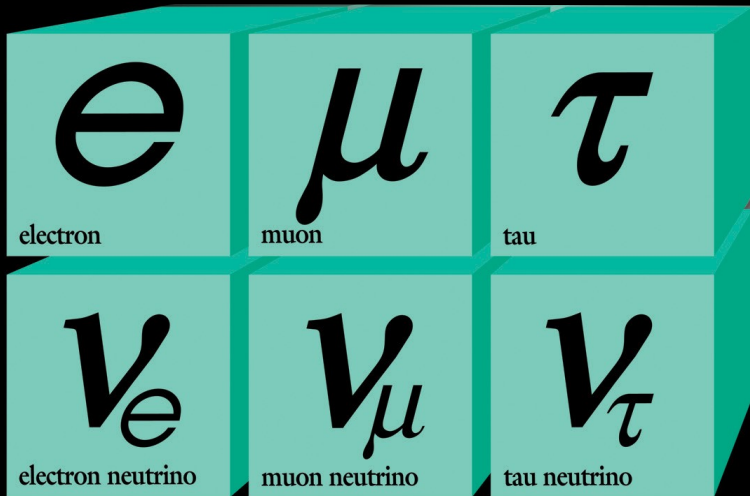
Forces



Quarks



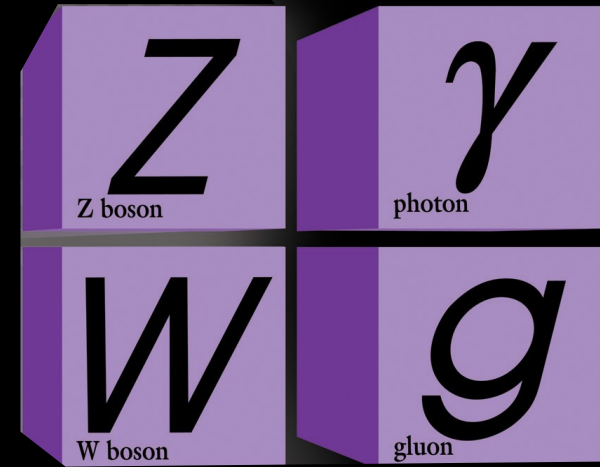
+ anti-matière



Leptons

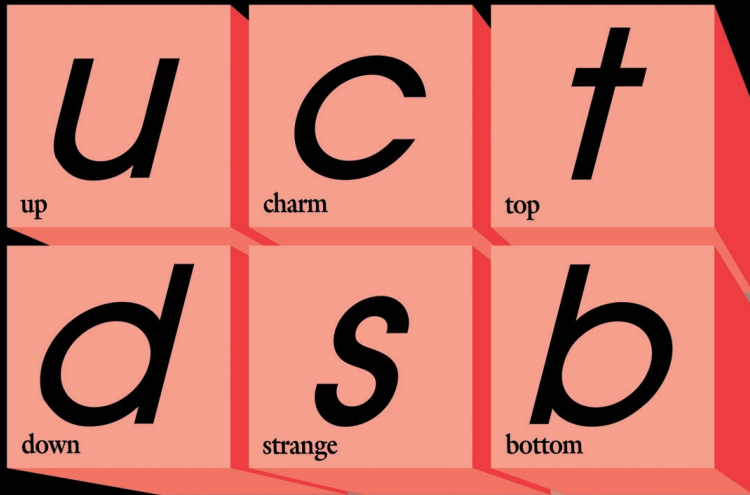
Le modèle standard

Forces



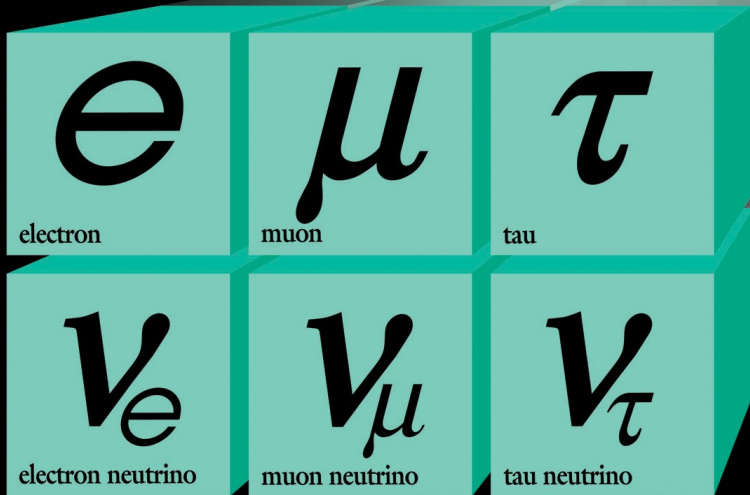
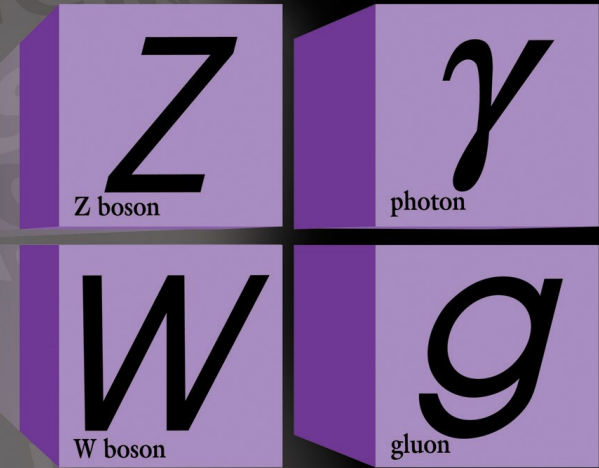
Quarks

Le modèle standard



+ anti-matière

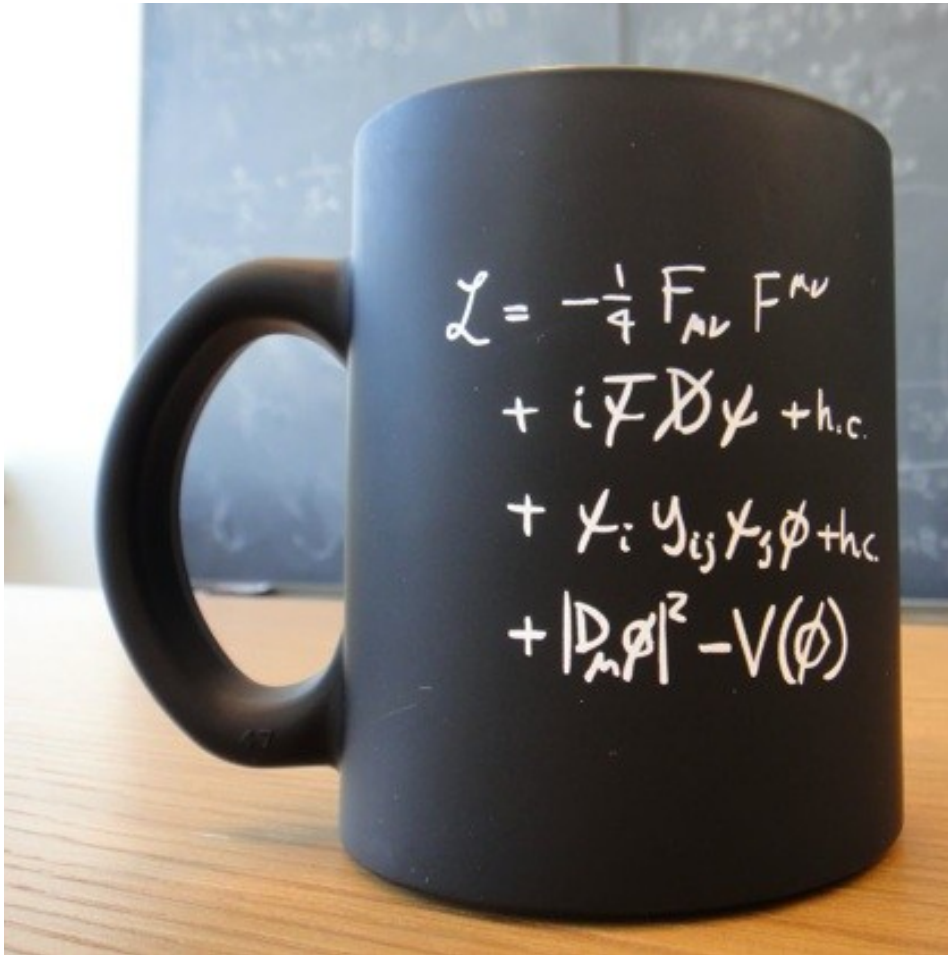
Forces



Leptons

Le modèle standard

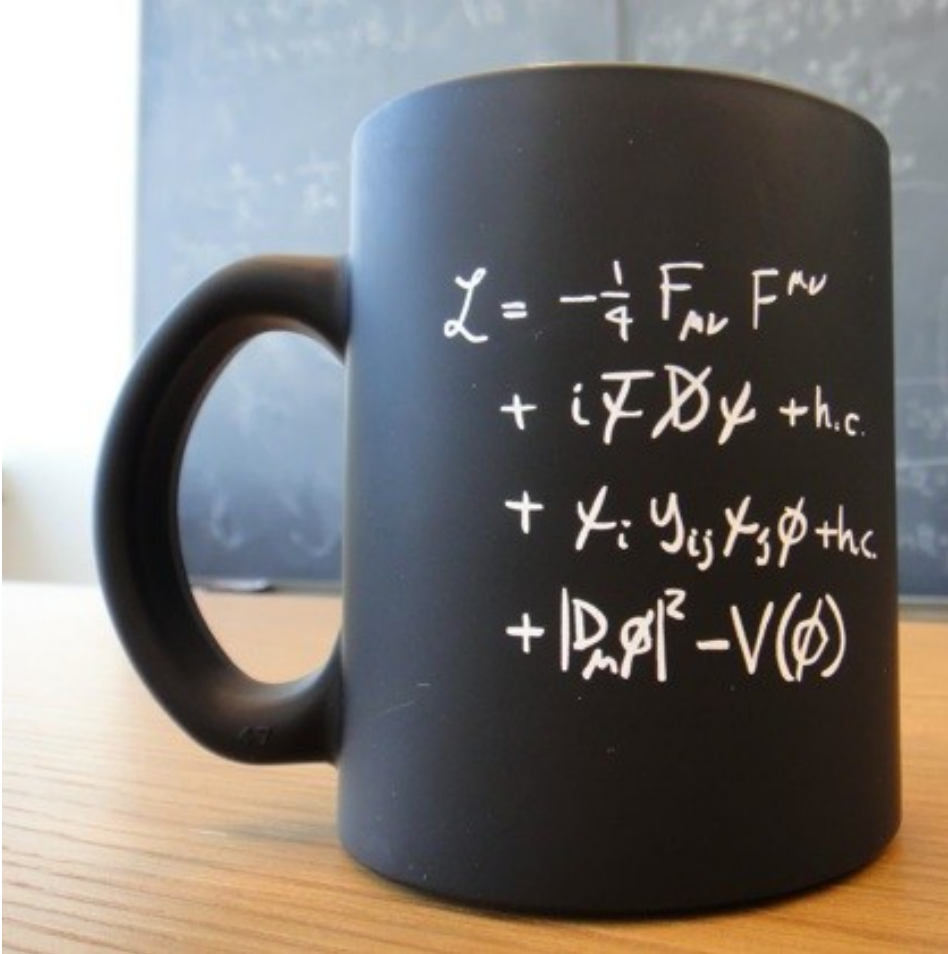
- Version synthétique



Le modèle standard

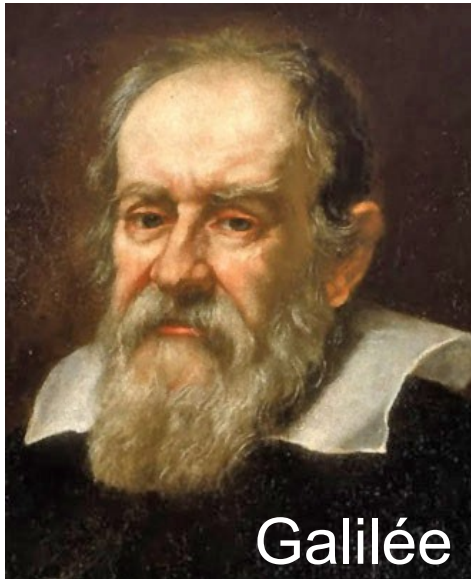
- Version synthétique

- Version développée...



$$\begin{aligned}
 & -\frac{1}{2}\partial_\nu g_\mu^a \partial_\nu g_\mu^a - g_s f^{abc} \partial_\mu g_\nu^a g_\mu^b g_\nu^c - \frac{1}{4}g_s^2 f^{abc} f^{ade} g_\mu^b g_\nu^c g_\mu^d g_\nu^e + \\
 & \frac{1}{2}i g_s^2 (\bar{q}_i^\sigma \gamma^\mu q_j^\sigma) g_\mu^a + \bar{G}^a \partial^2 G^a + g_s f^{abc} \partial_\mu \bar{G}^a G^b g_\mu^c - \partial_\nu W_\mu^+ \partial_\nu W_\mu^- - \\
 & M^2 W_\mu^+ W_\mu^- - \frac{1}{2}\partial_\nu Z_\mu^0 \partial_\nu Z_\mu^0 - \frac{1}{2c_w^2} M^2 Z_\mu^0 Z_\mu^0 - \frac{1}{2}\partial_\mu A_\nu \partial_\mu A_\nu - \\
 & \frac{1}{2}\partial_\mu \mathbf{H} \partial_\mu \mathbf{H} - \frac{1}{2}m_h^2 \mathbf{H}^2 - \partial_\mu \phi^+ \partial_\mu \phi^- - M^2 \phi^+ \phi^- - \frac{1}{2}\partial_\mu \phi^0 \partial_\mu \phi^0 - \\
 & \frac{1}{2c_w^2} M \phi^0 \phi^0 - \beta_h \left[\frac{2M^2}{g^2} + \frac{2M}{g} \mathbf{H} + \frac{1}{2}(\mathbf{H}^2 + \phi^0 \phi^0 + 2\phi^+ \phi^-) \right] + \frac{2M^4}{g^2} \alpha_h - \\
 & ig_{c_w} [\partial_\nu Z_\mu^0 (W_\mu^+ W_\nu^- - W_\nu^+ W_\mu^-) - Z_\nu^0 (W_\mu^+ \partial_\nu W_\mu^- - W_\mu^- \partial_\nu W_\mu^+) + \\
 & Z_\mu^0 (W_\nu^+ \partial_\nu W_\mu^- - W_\nu^- \partial_\nu W_\mu^+)] - ig_{s_w} [\partial_\nu A_\mu (W_\mu^+ W_\nu^- - W_\nu^+ W_\mu^-) - \\
 & A_\nu (W_\mu^+ \partial_\nu W_\mu^- - W_\mu^- \partial_\nu W_\mu^+) + A_\nu (W_\nu^+ \partial_\nu W_\mu^- - W_\nu^- \partial_\nu W_\mu^+)] - \\
 & \frac{1}{2}g^2 W_\mu^+ W_\mu^- W_\nu^+ W_\nu^- + \frac{1}{2}g^2 W_\mu^+ W_\nu^+ W_\mu^- W_\nu^- + g^2 c_w^2 (Z_\mu^0 W_\nu^+ Z_\nu^0 W_\mu^- - \\
 & Z_\nu^0 Z_\mu^0 W_\nu^+ W_\nu^-) + g^2 s_w^2 (A_\mu W_\mu^+ A_\nu W_\nu^- - A_\mu A_\nu W_\mu^+ W_\nu^-) + \\
 & g^2 s_w c_w [A_\mu Z_\nu^0 (W_\mu^+ W_\nu^- - W_\nu^+ W_\mu^-) - 2A_\mu Z_\mu^0 W_\nu^+ W_\nu^-] - g\alpha [\mathbf{H}^3 + \\
 & \mathbf{H} \phi^0 \phi^0 + 2\mathbf{H} \phi^+ \phi^-] - \frac{1}{8}g^2 \alpha_h [\mathbf{H}^4 + (\phi^0)^4 + 4(\phi^+ \phi^-)^2 + \\
 & 4(\phi^0)^2 \phi^+ \phi^- + 4\mathbf{H}^2 \phi^+ \phi^- + 2(\phi^0)^2 \mathbf{H}^2] - gM W_\mu^+ W_\mu^- \mathbf{H} - \\
 & \frac{1}{2}g \frac{M}{c_w} Z_\mu^0 Z_\mu^0 \mathbf{H} - \frac{1}{2}ig [W_\mu^+ (\phi^0 \partial_\mu \phi^- - \phi^- \partial_\mu \phi^0) - W_\mu^- (\phi^0 \partial_\mu \phi^+ - \\
 & \phi^+ \partial_\mu \phi^0)] + \frac{1}{2}g [W_\mu^+ (\mathbf{H} \partial_\mu \phi^- - \phi^- \partial_\mu \mathbf{H}) - W_\mu^- (\mathbf{H} \partial_\mu \phi^+ - \phi^+ \partial_\mu \mathbf{H})] + \\
 & \frac{1}{2}g \frac{1}{c_w} (Z_\mu^0 (\mathbf{H} \partial_\mu \phi^0 - \phi^0 \partial_\mu \mathbf{H}) - ig \frac{s_w^2}{c_w} M Z_\mu^0 (W_\mu^+ \phi^- - W_\mu^- \phi^+) + \\
 & ig_{s_w} M A_\mu (W_\mu^+ \phi^- - W_\mu^- \phi^+) - ig \frac{1-2c_w^2}{2c_w} Z_\mu^0 (\phi^+ \partial_\mu \phi^- - \phi^- \partial_\mu \phi^+) + \\
 & ig_{s_w} A_\mu (\phi^+ \partial_\mu \phi^- - \phi^- \partial_\mu \phi^+) - \frac{1}{4}g^2 W_\mu^+ W_\mu^- [\mathbf{H}^2 + (\phi^0)^2 + 2\phi^+ \phi^-] - \\
 & \frac{1}{4}g^2 \frac{1}{c_w} Z_\mu^0 Z_\mu^0 [\mathbf{H}^2 + (\phi^0)^2 + 2(2s_w^2 - 1)^2 \phi^+ \phi^-] - \frac{1}{2}g^2 \frac{s_w^2}{c_w} Z_\mu^0 \phi^0 (W_\mu^+ \phi^- + \\
 & W_\mu^- \phi^+) - \frac{1}{2}ig^2 \frac{s_w^2}{c_w} Z_\mu^0 \mathbf{H} (W_\mu^+ \phi^- - W_\mu^- \phi^+) + \frac{1}{2}g^2 s_w A_\mu \phi^0 (W_\mu^+ \phi^- + \\
 & W_\mu^- \phi^+) + \frac{1}{2}ig^2 s_w A_\mu \mathbf{H} (W_\mu^+ \phi^- - W_\mu^- \phi^+) - g^2 \frac{s_w}{c_w} (2c_w^2 - 1) Z_\mu^0 A_\mu \phi^+ \phi^- - \\
 & g^1 s_w^2 A_\mu A_\mu \phi^+ \phi^- - \bar{e}^\lambda (\gamma \partial + m_e^\lambda) e^\lambda - \bar{\nu}^\lambda \gamma \partial \nu^\lambda - \bar{u}_j^\lambda (\gamma \partial + m_u^\lambda) u_j^\lambda - \\
 & \bar{d}_j^\lambda (\gamma \partial + m_d^\lambda) d_j^\lambda + ig_{s_w} A_\mu [-(\bar{e}^\lambda \gamma^\mu e^\lambda) + \frac{2}{3}(\bar{u}_j^\lambda \gamma^\mu u_j^\lambda) - \frac{1}{3}(\bar{d}_j^\lambda \gamma^\mu d_j^\lambda)] + \\
 & \frac{ig}{4c_w} Z_\mu^0 [(\bar{\nu}^\lambda \gamma^\mu (1 + \gamma^5) \nu^\lambda) + (\bar{e}^\lambda \gamma^\mu (4s_w^2 - 1 - \gamma^5) e^\lambda) + (\bar{u}_j^\lambda \gamma^\mu (\frac{2}{3}s_w^2 - \\
 & 1 - \gamma^5) u_j^\lambda) + (\bar{d}_j^\lambda \gamma^\mu (1 - \frac{8}{3}s_w^2 - \gamma^5) d_j^\lambda)] + \frac{ig}{2\sqrt{2}} W_\mu^- [(\bar{\nu}^\lambda \gamma^\mu (1 + \gamma^5) e^\lambda) + \\
 & (\bar{u}_j^\lambda \gamma^\mu (1 + \gamma^5) C_{\lambda\kappa} d_\kappa^j)] + \frac{ig}{2\sqrt{2}} W_\mu^- [(\bar{e}^\lambda \gamma^\mu (1 + \gamma^5) \nu^\lambda) + (\bar{d}_j^\lambda C_{\lambda\kappa}^\dagger \gamma^\mu (1 + \\
 & \gamma^5) u_j^\lambda)] + \frac{ig}{2\sqrt{2}} \frac{m_e^\lambda}{M} [-\phi^+ (\bar{\nu}^\lambda (1 - \gamma^5) e^\lambda) + \phi^- (\bar{e}^\lambda (1 + \gamma^5) \nu^\lambda)] - \\
 & \frac{g}{2} \frac{m_d^\lambda}{M} [\mathbf{H} (\bar{e}^\lambda e^\lambda) + i\phi^0 (\bar{e}^\lambda \gamma^5 e^\lambda)] + \frac{ig}{2M\sqrt{2}} \phi^+ [-m_d^\lambda (\bar{u}_j^\lambda C_{\lambda\kappa} (1 - \gamma^5) d_\kappa^j) + \\
 & m_u^\lambda (\bar{u}_j^\lambda C_{\lambda\kappa} (1 + \gamma^5) d_\kappa^j) + \frac{ig}{2M\sqrt{2}} \phi^- [m_d^\lambda (\bar{d}_j^\lambda C_{\lambda\kappa}^\dagger (1 + \gamma^5) u_\kappa^j) - m_u^\lambda (\bar{d}_j^\lambda C_{\lambda\kappa}^\dagger (1 - \\
 & \gamma^5) u_\kappa^j) - \frac{g}{2} \frac{m_\lambda^\lambda}{M} \mathbf{H} (\bar{u}_j^\lambda u_j^\lambda) - \frac{g}{2} \frac{m_\lambda^\lambda}{M} \mathbf{H} (\bar{d}_j^\lambda d_j^\lambda) + \frac{ig}{2} \frac{m_\lambda^\lambda}{M} \phi^0 (\bar{u}_j^\lambda \gamma^5 u_j^\lambda) - \\
 & \frac{ig}{2} \frac{m_\lambda^\lambda}{M} \phi^0 (\bar{d}_j^\lambda \gamma^5 d_j^\lambda) + \bar{X}^+ (\partial^2 - M^2) X^+ + \bar{X}^- (\partial^2 - M^2) X^- + \bar{X}^0 (\partial^2 - \\
 & \frac{M^2}{c_w^2}) X^0 + \bar{Y} \partial^2 Y + ig_{c_w} W_\mu^+ (\partial_\mu \bar{X}^0 X^- - \partial_\mu \bar{X}^+ X^0) + ig_{s_w} W_\mu^+ (\partial_\mu \bar{Y} X^- - \\
 & \partial_\mu \bar{X}^+ Y) + ig_{c_w} W_\mu^- (\partial_\mu \bar{X}^- X^0 - \partial_\mu \bar{X}^0 X^+) + ig_{s_w} W_\mu^- (\partial_\mu \bar{X}^- Y - \\
 & \partial_\mu \bar{Y} X^+) + ig_{c_w} Z_\mu^0 (\partial_\mu \bar{X}^+ X^+ - \partial_\mu \bar{X}^- X^-) + ig_{s_w} A_\mu (\partial_\mu \bar{X}^+ X^+ - \\
 & \partial_\mu \bar{X}^- X^-) - \frac{1}{2}gM [\bar{X}^+ X^+ \mathbf{H} + \bar{X}^- X^- \mathbf{H} + \frac{1}{c_w} \bar{X}^0 X^0 \mathbf{H}] + \\
 & \frac{1-2c_w^2}{2c_w} igM [\bar{X}^+ X^0 \phi^- - \bar{X}^- X^0 \phi^+] + \frac{1}{2c_w} igM [\bar{X}^0 X^- \phi^+ - \bar{X}^0 X^+ \phi^-] + \\
 & igM s_w [\bar{X}^0 X^- \phi^+ - \bar{X}^0 X^+ \phi^-] + \frac{1}{2}igM [\bar{X}^+ X^+ \phi^0 - \bar{X}^- X^- \phi^0]
 \end{aligned}$$

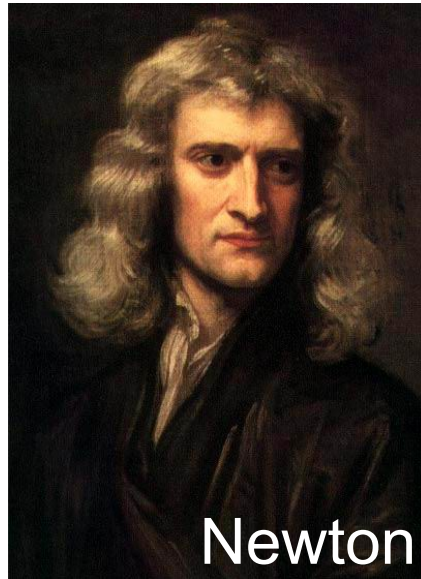
La masse



Galilée

- Masse gravitationnelle

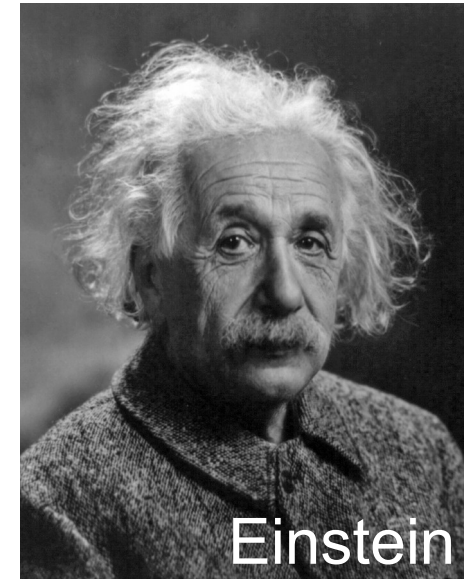
$$P = mg$$



Newton

- Masse inertielle

$$\Sigma F = ma$$



Einstein

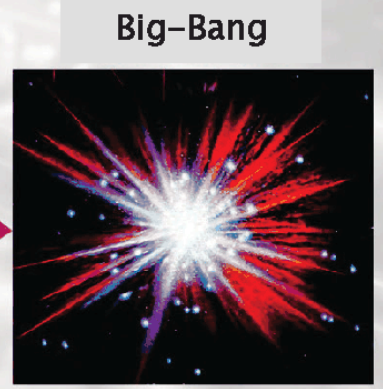
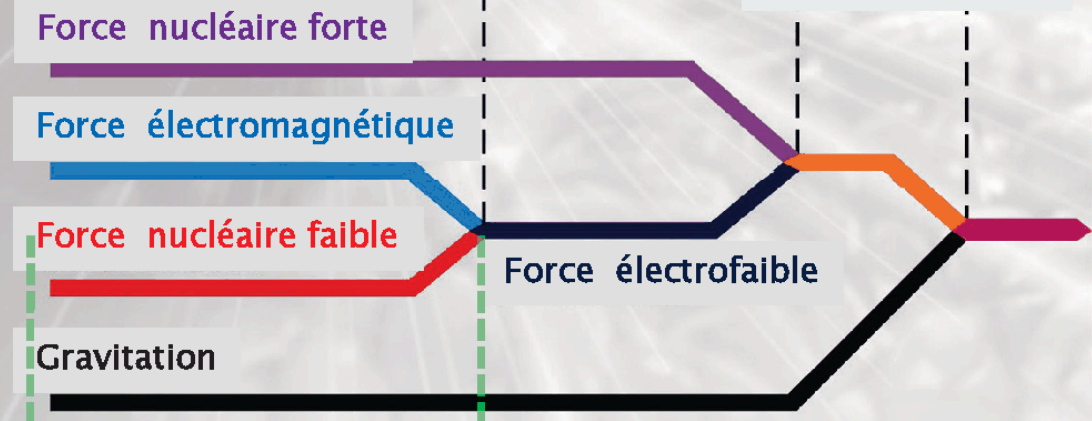
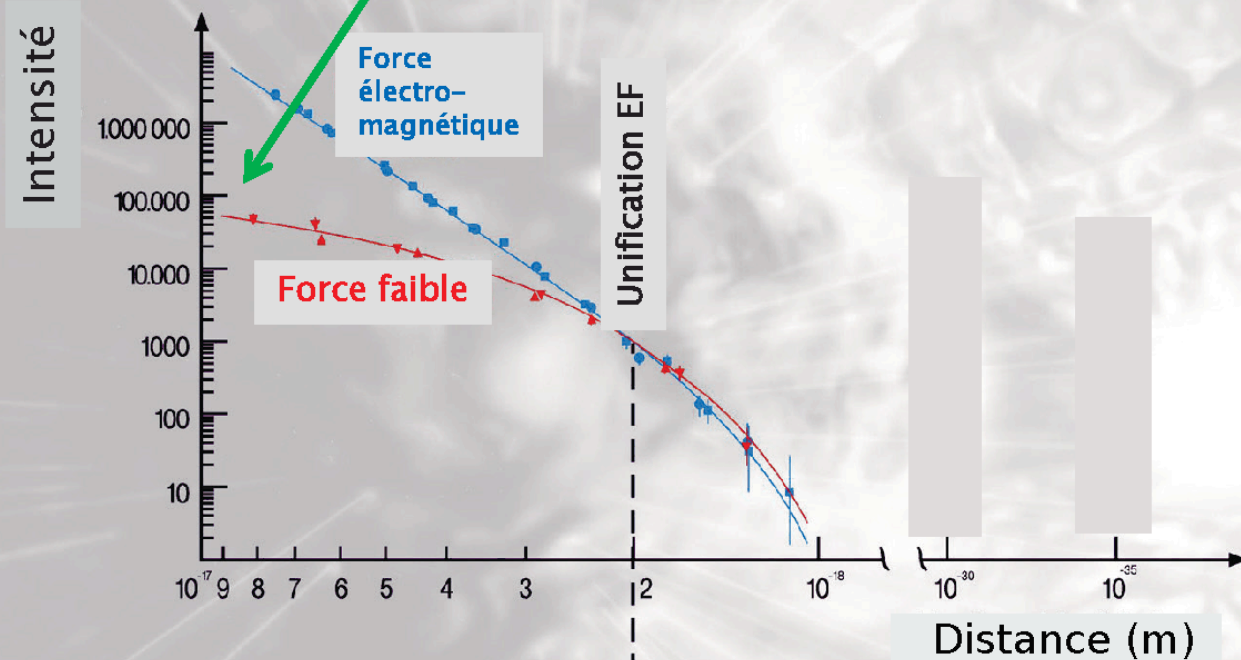
- Équivalence masse/énergie

$$E = mc^2$$

- Diverses interprétations de la notion de masse, toutes équivalentes
- D'après la théorie les particules élémentaires ont une masse nulle
 - L'Univers tel que nous le connaissons n'existe pas...
 - Contraire à l'expérience, introduction d'un mécanisme pour générer la masse : **brisure spontanée de la symétrie électrofaible**

Unification électrofaible

basse énergie: différences entre γ et W/Z
pas de différence dans le formalisme mathématique !

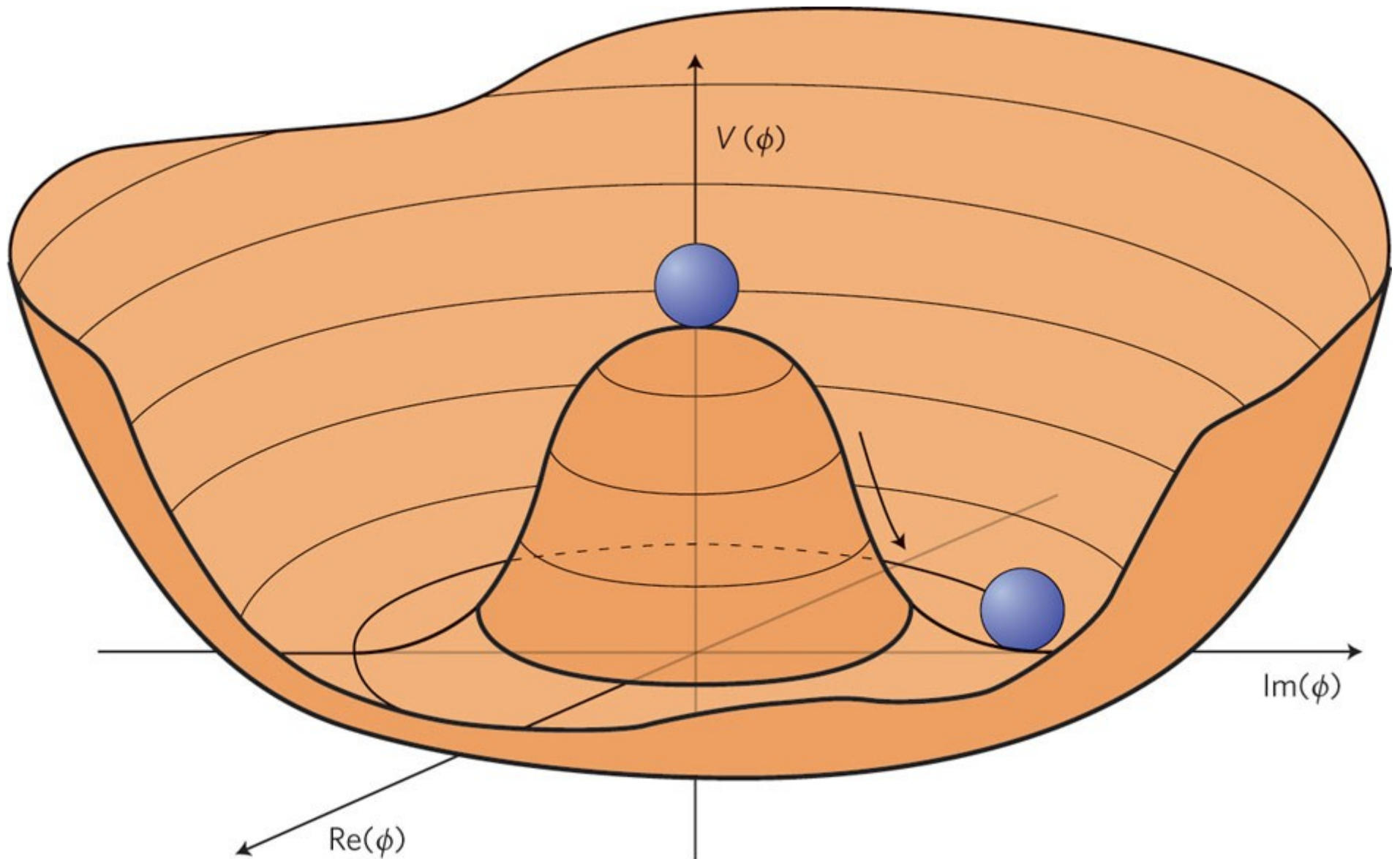


13,7 milliards d'années (2,7 K)

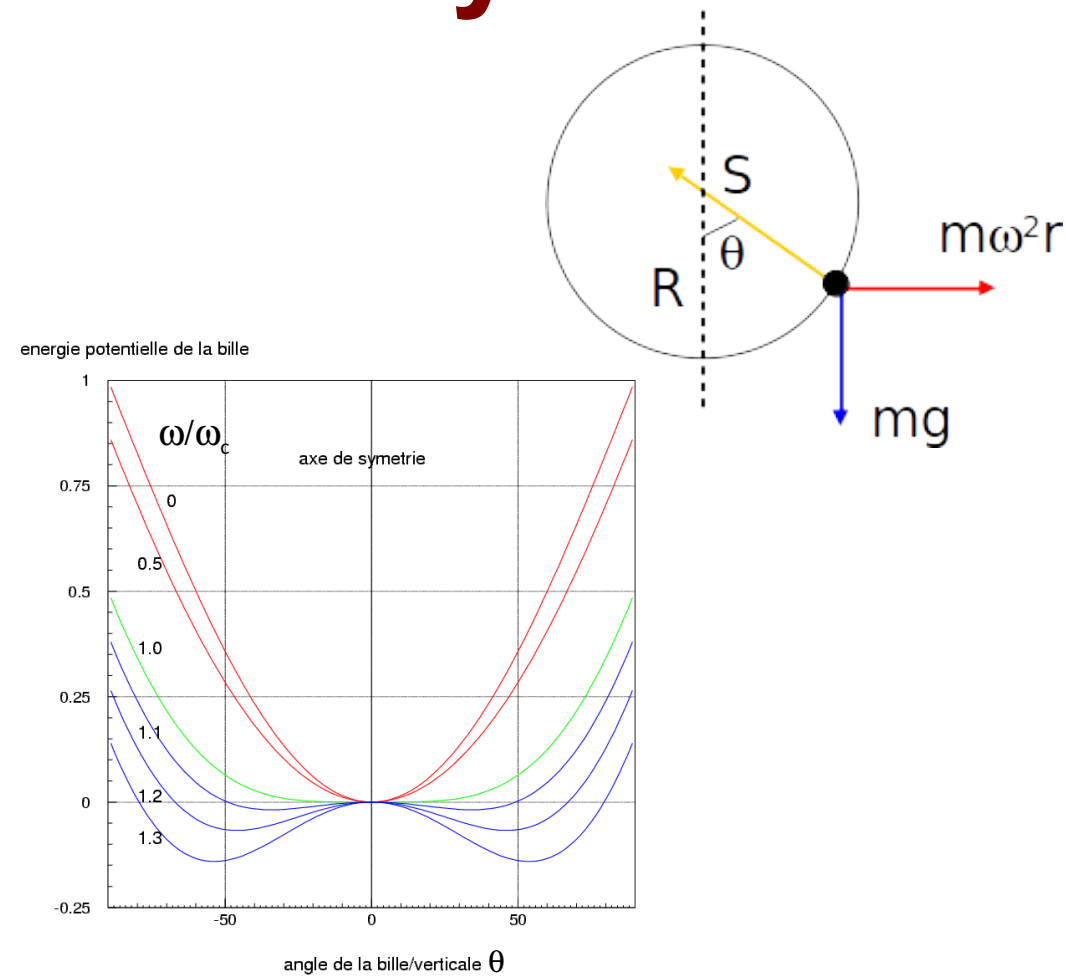
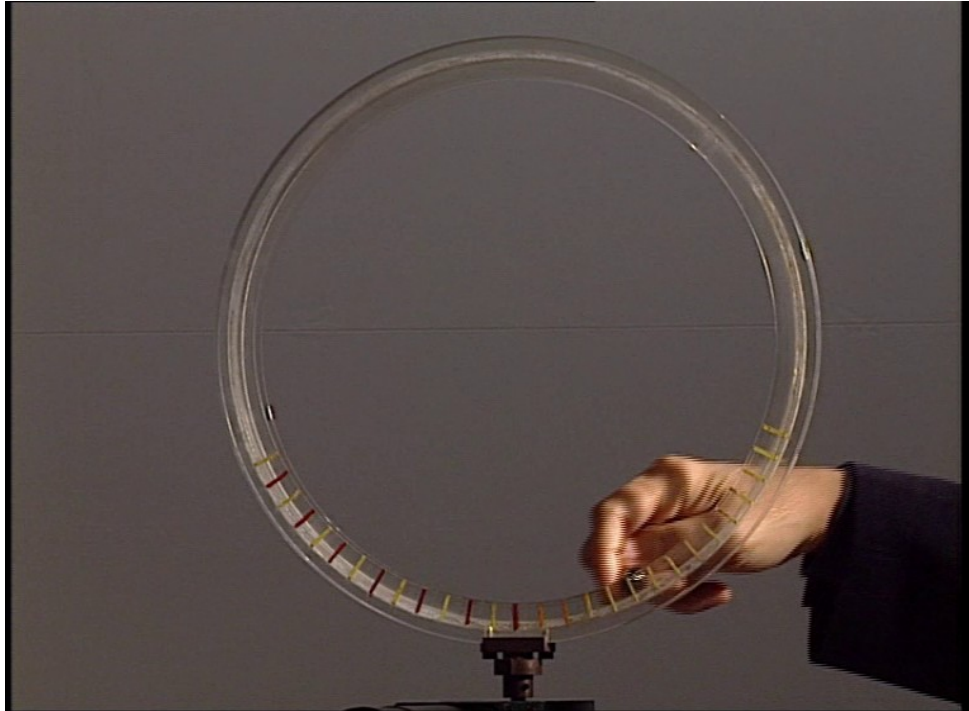
10^{-12} s (10^{15} K)

Brisure spontanée de la symétrie électrofaible

Le potentiel de Higgs : le « chapeau mexicain »



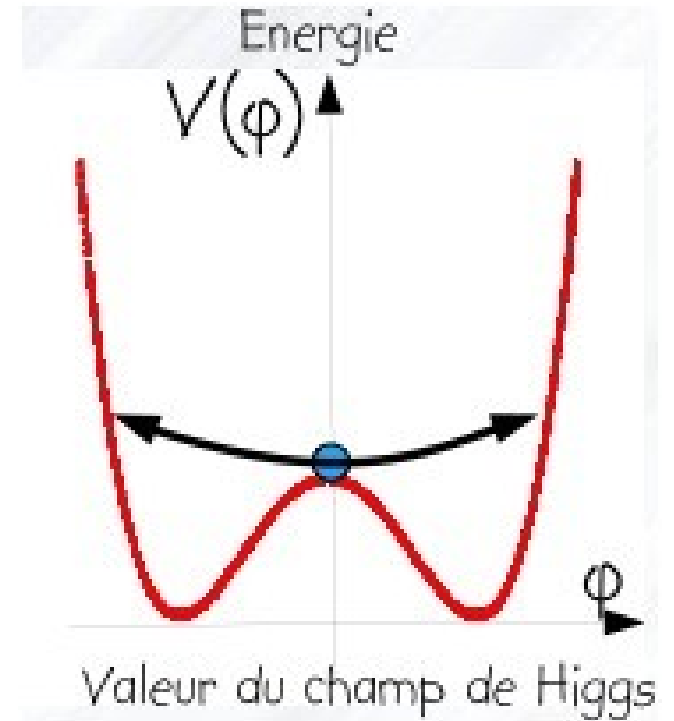
Brisure spontanée de symétrie



- vitesse angulaire de rotation $\omega \Rightarrow$ vitesse critique ω_c
 - ▶ si $\omega < \omega_c$: bille sur l'axe de symétrie
 - ▶ si $\omega > \omega_c$: 2 positions stables. La bille doit « choisir » l'une des deux \Rightarrow brisure spontanée de symétrie

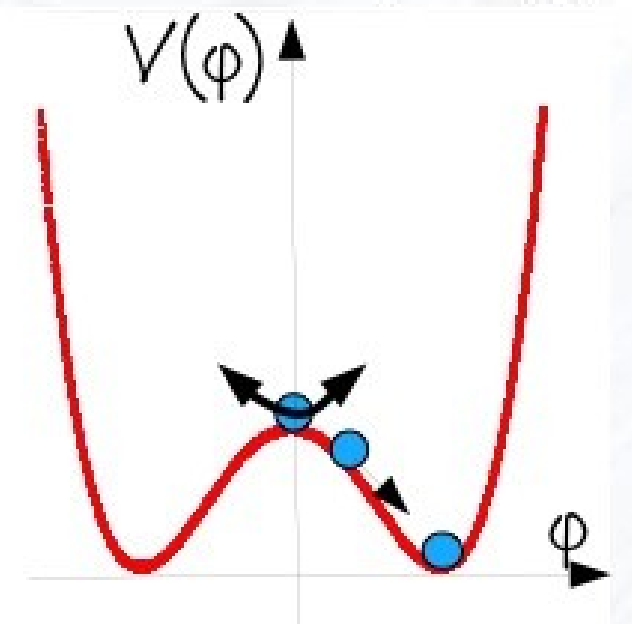
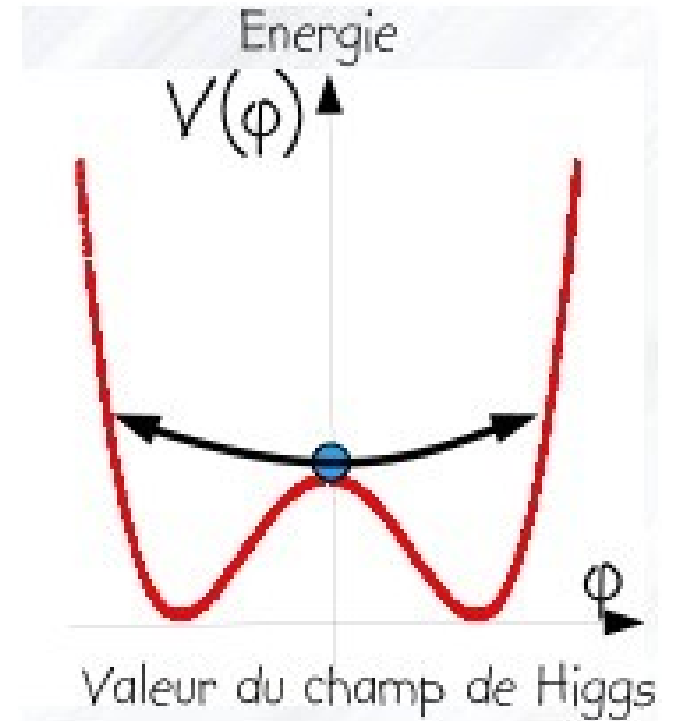
Brisure de la symétrie électrofaible

- A haute température, juste après le Big Bang :
 - ▶ champ de Higgs nul dans l'état fondamental
 - ▶ les particules restent sans masse

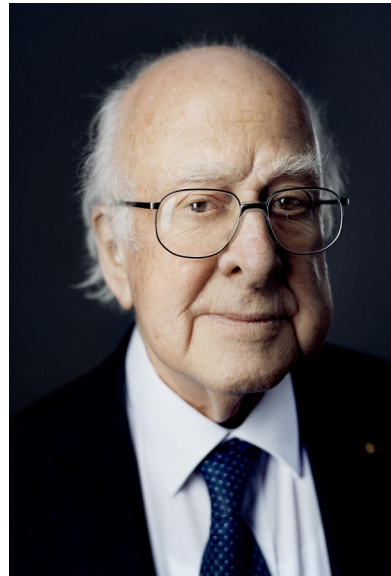
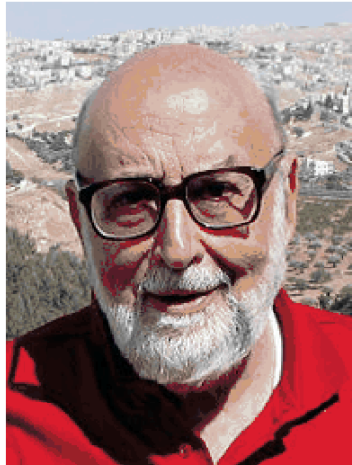


Brisure de la symétrie électrofaible

- A haute température, juste après le Big Bang :
 - ▶ champ de Higgs nul dans l'état fondamental
 - ▶ les particules restent sans masse
- Réduction de la température (10^{-12} s après le Big Bang) :
 - ▶ brisure de symétrie
 - ▶ champ non nul
 - ▶ les particules élémentaires acquièrent une masse non nulle en interagissant avec le champ de Higgs



1964 : Le mécanisme de Higgs



BROKEN SYMMETRY AND THE MASS OF GAUGE VECTOR MESONS*

F. Englert and R. Brout

Faculté des Sciences, Université Libre de Bruxelles, Bruxelles, Belgium

(Received 26 June 1964)

It is of interest to inquire whether gauge vector mesons acquire mass through interaction¹; by a gauge vector meson we mean a Yang-Mills field² associated with the extension of a Lie group from global to local symmetry. The importance of this problem resides in the possibility that strong-interaction physics originates from massive gauge fields related to a system of conserved currents.³ In this note, we shall show that in certain cases vector mesons do indeed acquire mass when the vacuum is degenerate with respect to a compact Lie group.

Theories with degenerate vacuum (broken symmetry) have been the subject of intensive study since their inception by Nambu.⁴⁻⁶ A

those vector mesons which are coupled to currents that "rotate" the original vacuum are the ones which acquire mass [see Eq. (6)].

We shall then examine a particular model based on chirality invariance which may have a more fundamental significance. Here we begin with a chirality-invariant Lagrangian and introduce both vector and pseudovector gauge fields, thereby guaranteeing invariance under both local phase and local γ_5 -phase transformations. In this model the gauge fields themselves may break the γ_5 invariance leading to a mass for the original Fermi field. We shall show in this case that the pseudovector field acquires mass.

In the last paragraph we sketch a simple argument which renders these results reason-

VOLUME 13, NUMBER 16

PHYSICAL REVIEW LETTERS

19 OCTOBER 1964

BROKEN SYMMETRIES AND THE MASSES OF GAUGE BOSONS

Peter W. Higgs

Tait Institute of Mathematical Physics, University of Edinburgh, Edinburgh, Scotland

(Received 31 August 1964)

In a recent note¹ it was shown that the Goldstone theorem,² that Lorentz-covariant field theories in which spontaneous breakdown of symmetry under an internal Lie group occurs contain zero-mass particles, fails if and only if the conserved currents associated with the internal group are coupled to gauge fields. The purpose of the present note is to report that, as a consequence of this coupling, the spin-one quanta of some of the gauge fields acquire mass; the longitudinal degrees of freedom of these particles (which would be absent if their mass were zero) go over into the Goldstone bosons when the coupling tends to zero. This phenomenon is just the relativistic analog of the plasmon phenom-

about the "vacuum" solution $\varphi_1(x) = 0$, $\varphi_2(x) = \varphi_0$:

$$\partial^\mu \{ \partial_\mu (\Delta\varphi_1) - e\varphi_0 A_\mu \} = 0, \quad (2a)$$

$$\{ \partial^2 - 4\varphi_0^2 V''(\varphi_0^2) \} (\Delta\varphi_2) = 0, \quad (2b)$$

$$\partial_\nu F^{\mu\nu} = e\varphi_0 \{ \partial^\mu (\Delta\varphi_1) - e\varphi_0 A_\mu \}. \quad (2c)$$

Equation (2b) describes waves whose quanta have (bare) mass $2\varphi_0 \{ V''(\varphi_0^2) \}^{1/2}$; Eqs. (2a) and (2c) may be transformed, by the introduction of new variables

$$B_\mu = A_\mu - (e\varphi_0)^{-1} \partial_\mu (\Delta\varphi_1),$$

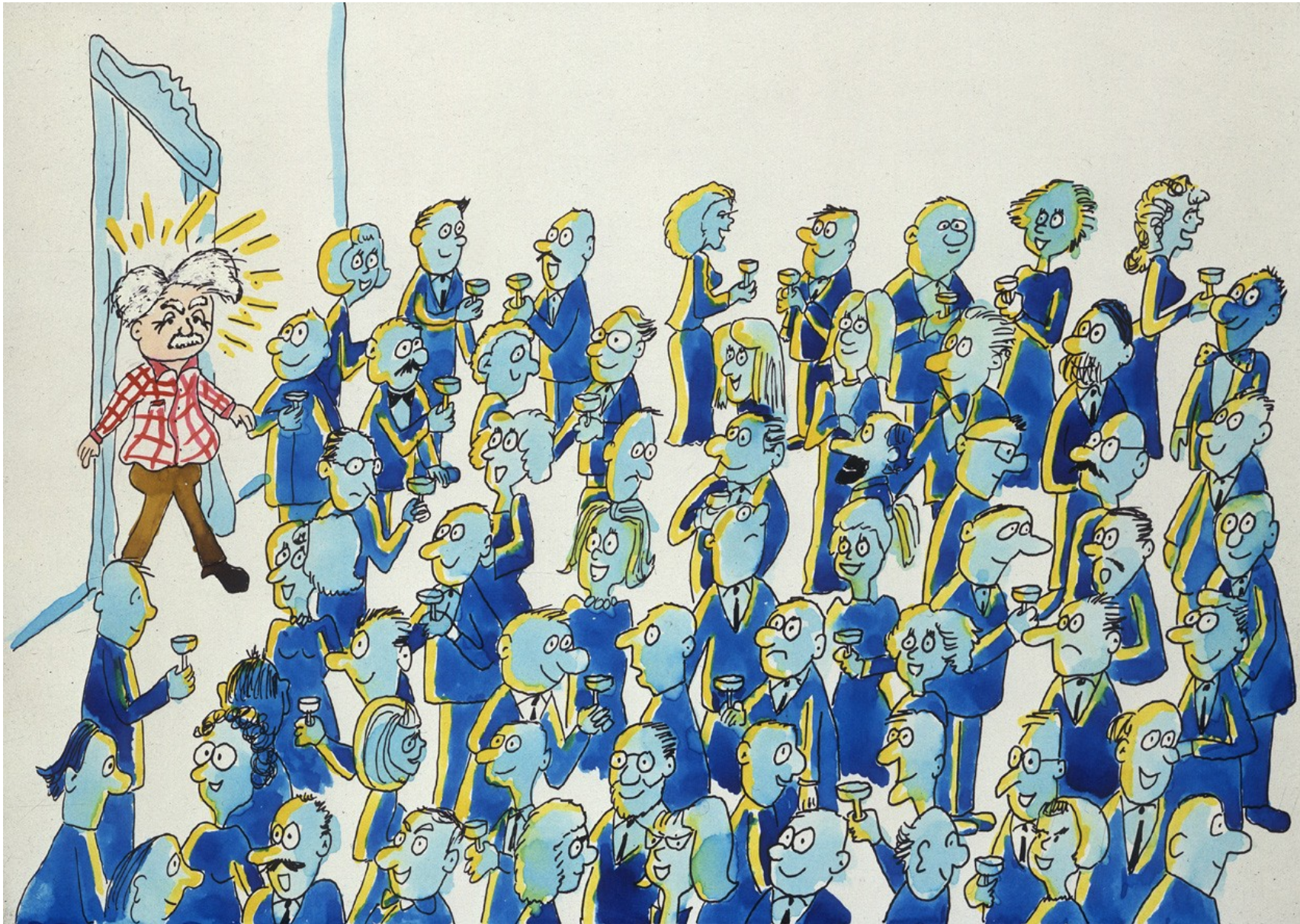
- Englert, Brout, Higgs, Guralnik, Hagen, Kibble publient à quelques mois d'intervalle
- Prédiction : existence du **champ de Higgs**, manifestation sous forme d'une nouvelle particule, le **boson de Higgs**

Mécanisme de Higgs en images



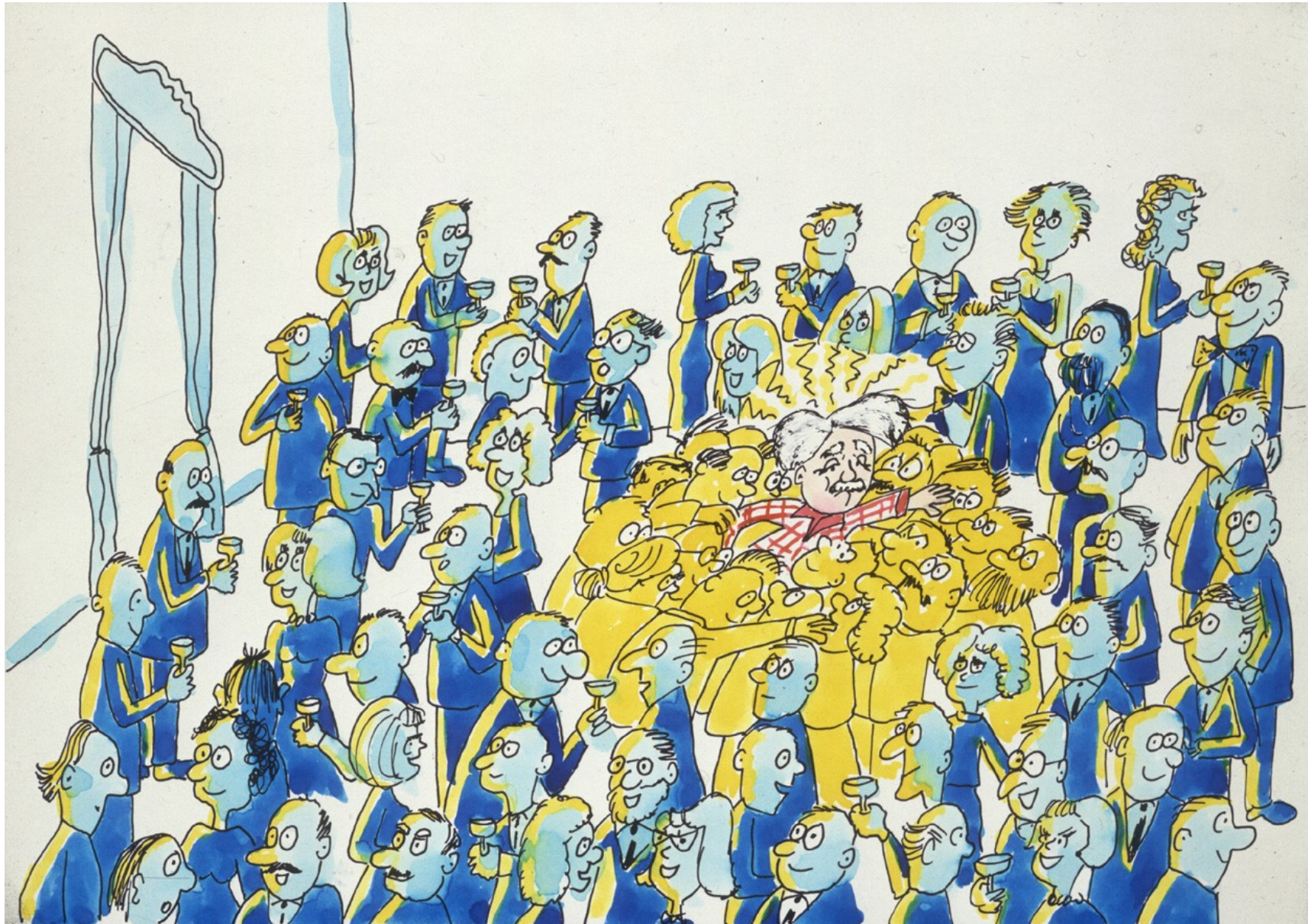
Imaginons qu'une salle pleine de physiciens conversant calmement est comme l'espace occupé seulement par le champ de Higgs...

Mécanisme de Higgs en images



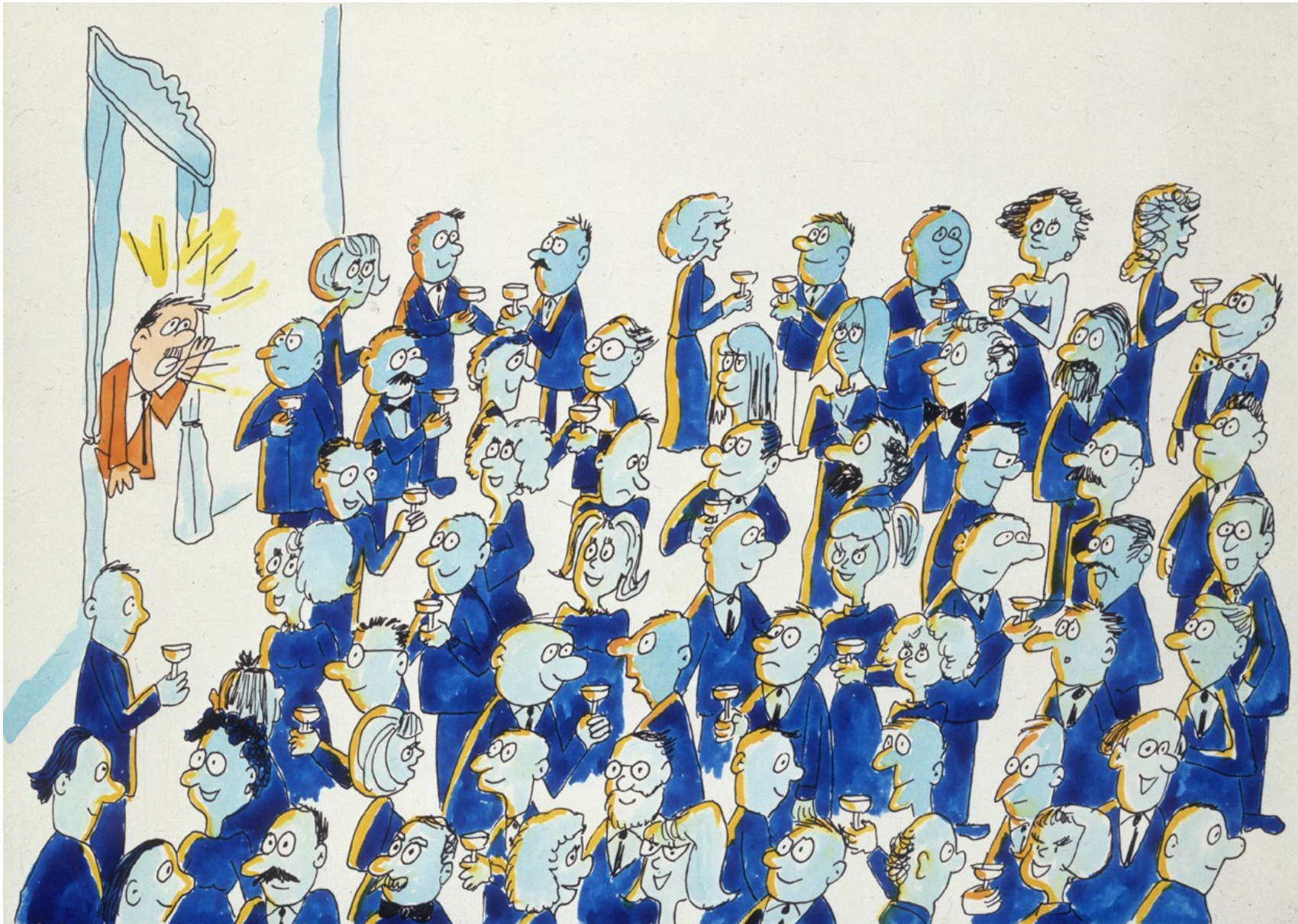
... Albert Einstein entre, créant une perturbation sur son passage et attirant un essaim d'admirateurs à chaque pas ...

Mécanisme de Higgs en images



ce qui accroît la résistance à son déplacement : il acquiert une masse, comme une particule se déplaçant dans un champ de Higgs

Mécanisme de Higgs en images



... si une rumeur traverse la salle ...

Mécanisme de Higgs en images



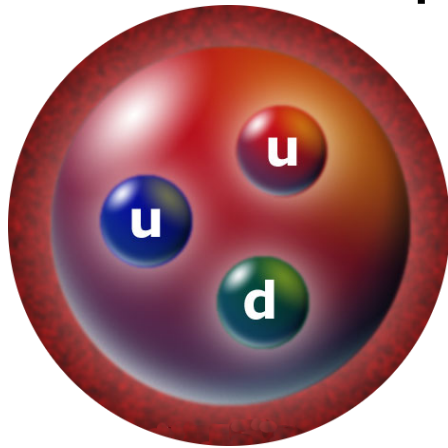
... elle donne naissance à un essaim de même type, composé cette fois des seuls physiciens. Cet essaim représente la particule de Higgs.

Interactions avec le boson de Higgs



La masse

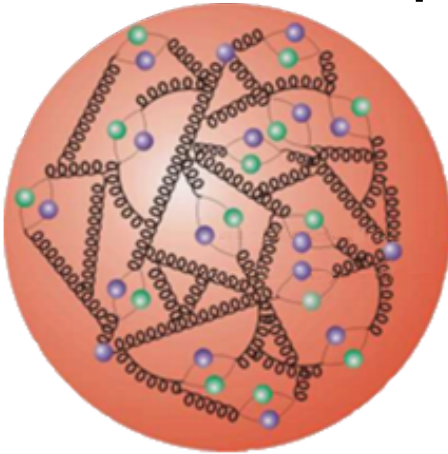
- Notre masse : celle de nos atomes
- Masse des atomes : presque uniquement celle des noyaux, faits de protons et neutrons de masse ~ 1 GeV



- Proton, neutron : 3 quarks, masse ~ 10 MeV

La masse

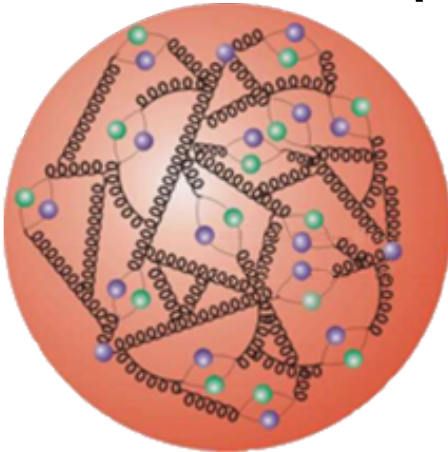
- Notre masse : celle de nos atomes
- Masse des atomes : presque uniquement celle des noyaux, faits de protons et neutrons de masse ~ 1 GeV



- En réalité, plein de gluons, dont l'énergie donne 99% de leur masse au proton et au neutron ($E=mc^2$)

La masse

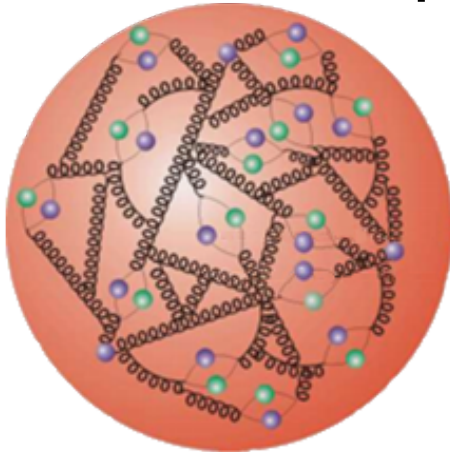
- Notre masse : celle de nos atomes
- Masse des atomes : presque uniquement celle des noyaux, faits de protons et neutrons de masse ~ 1 GeV



- En réalité, plein de gluons, dont l'énergie donne 99% de leur masse au proton et au neutron ($E=mc^2$)
- Boson de Higgs : explique « seulement » la masse des particules élémentaires (quarks, électron [leptons], bosons Z et W^\pm) et la sienne

La masse

- Notre masse : celle de nos atomes
- Masse des atomes : presque uniquement celle des noyaux, faits de protons et neutrons de masse ~ 1 GeV



- En réalité, plein de gluons, dont l'énergie donne 99% de leur masse au proton et au neutron ($E=mc^2$)
- Boson de Higgs : explique « seulement » la masse des particules élémentaires (quarks, électron [leptons], bosons Z et W^\pm) et la sienne
- Pas grand chose ? Sans lui, pas d'atomes, pas de chimie, pas de vie ou d'Univers tels que nous les connaissons...

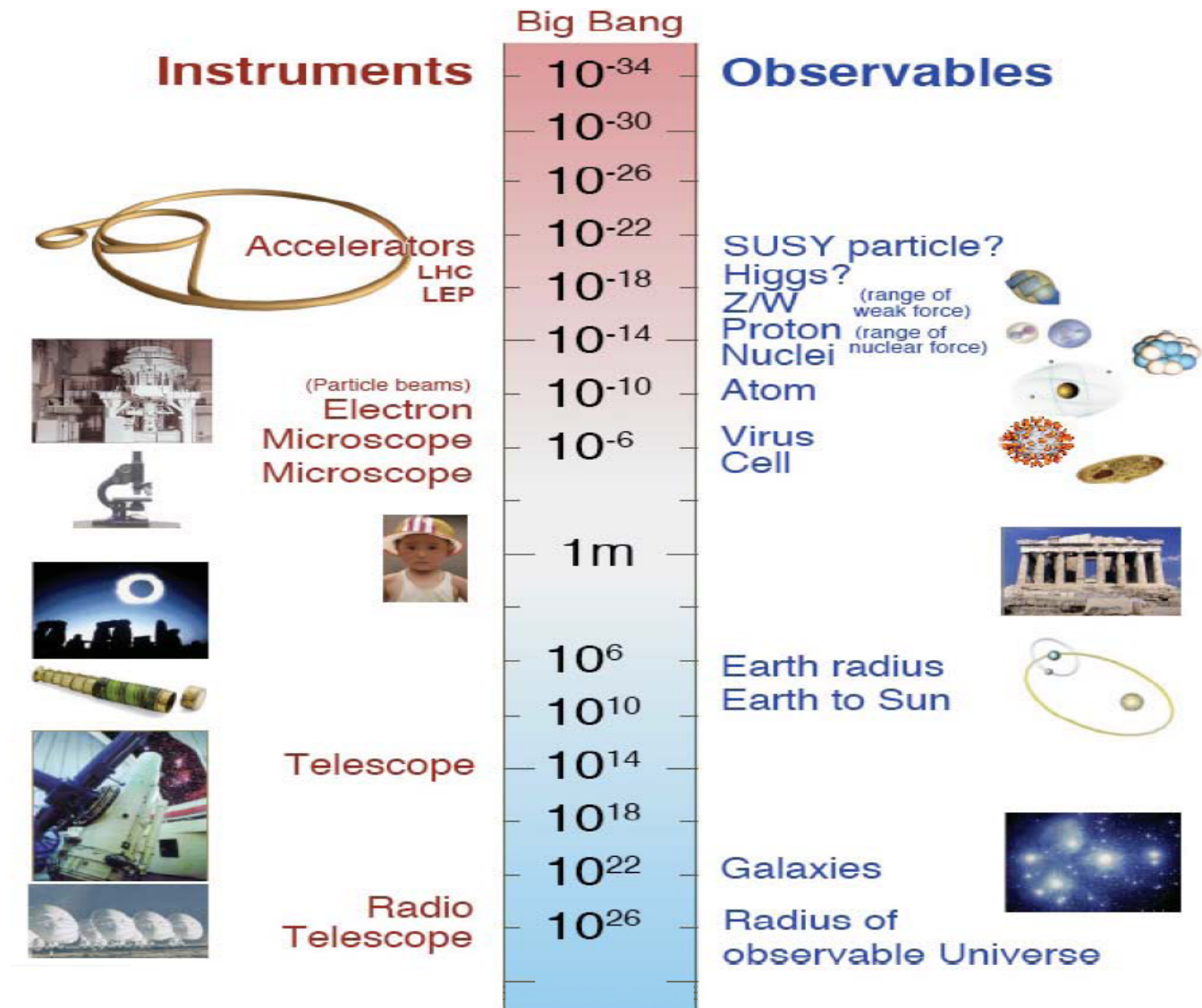
Pourquoi des accélérateurs de particules ?

- Pour voir des objets plus petits, il faut une énergie plus élevée :

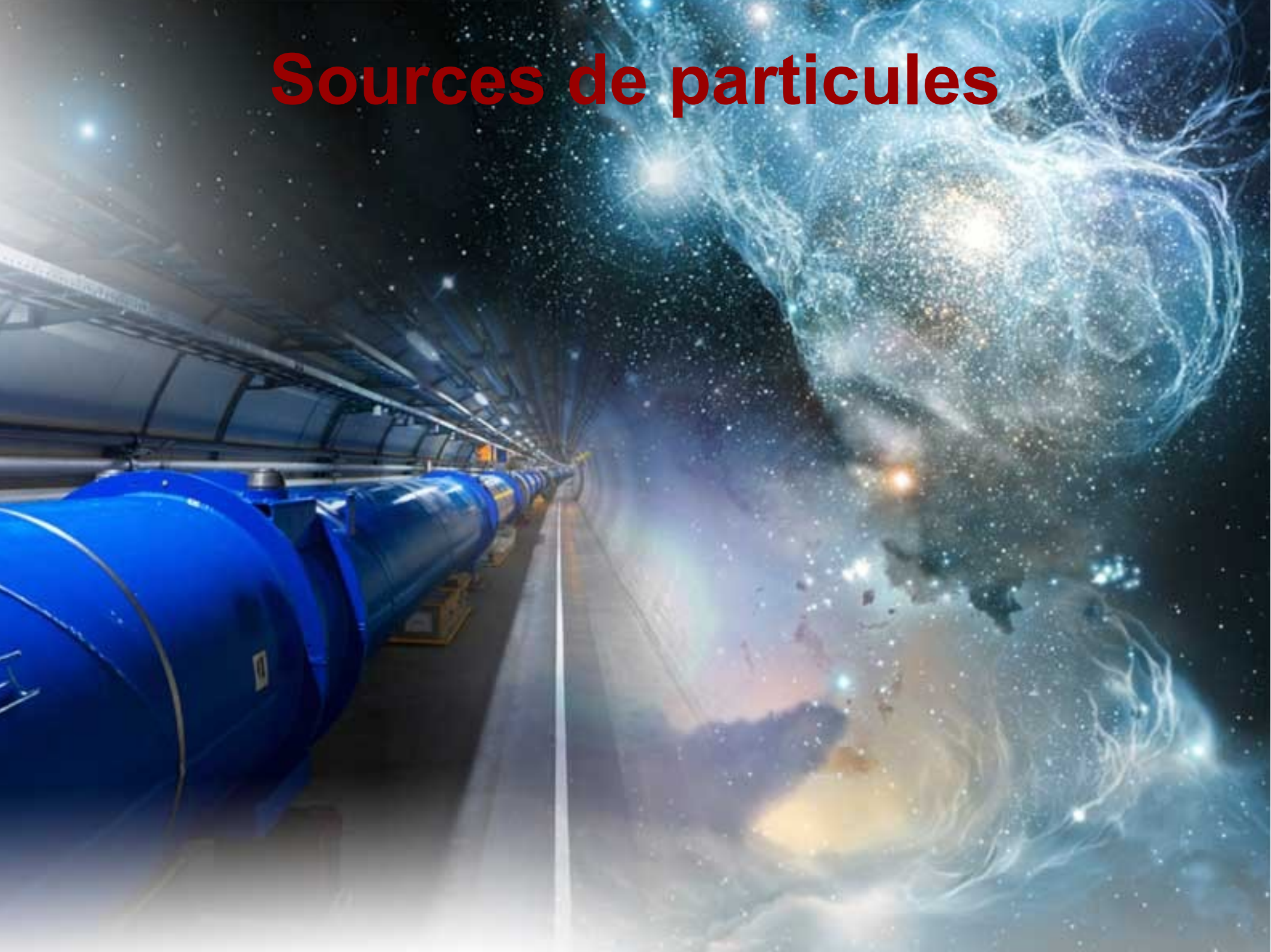
- ▶ longueur d'onde associée $\lambda = h/p$

- Pour créer des particules plus lourdes

- ▶ $E = mc^2$



Sources de particules



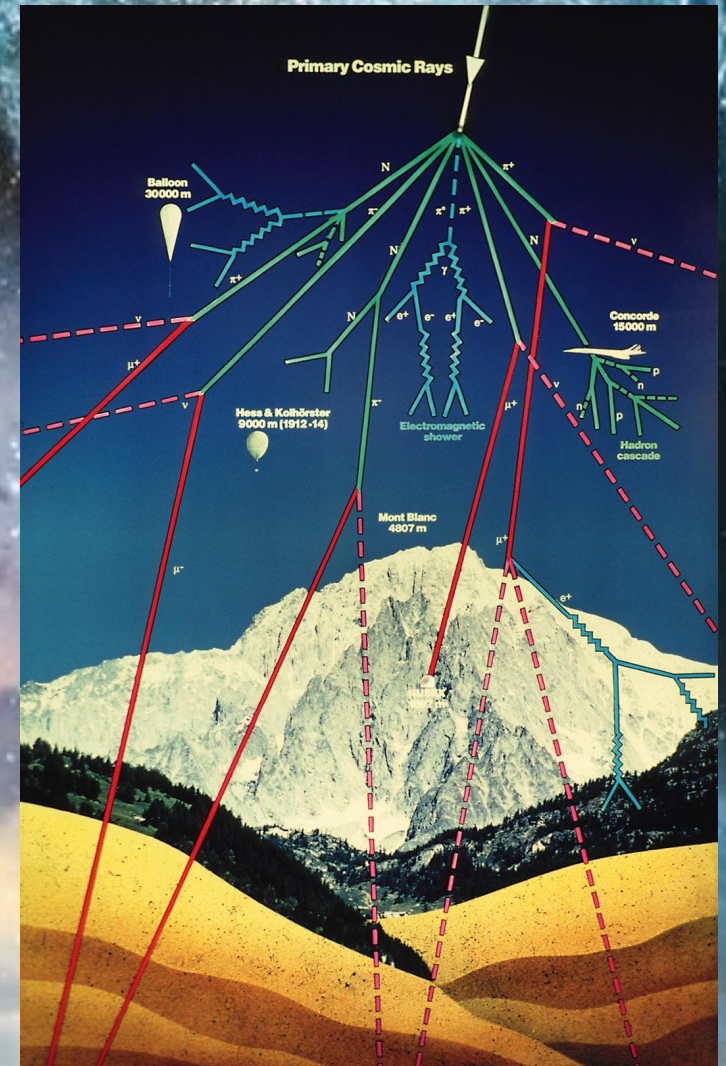
Sources de particules

**L'Univers et les
rayons cosmiques**
(protons, photons,
neutrinos, muons)



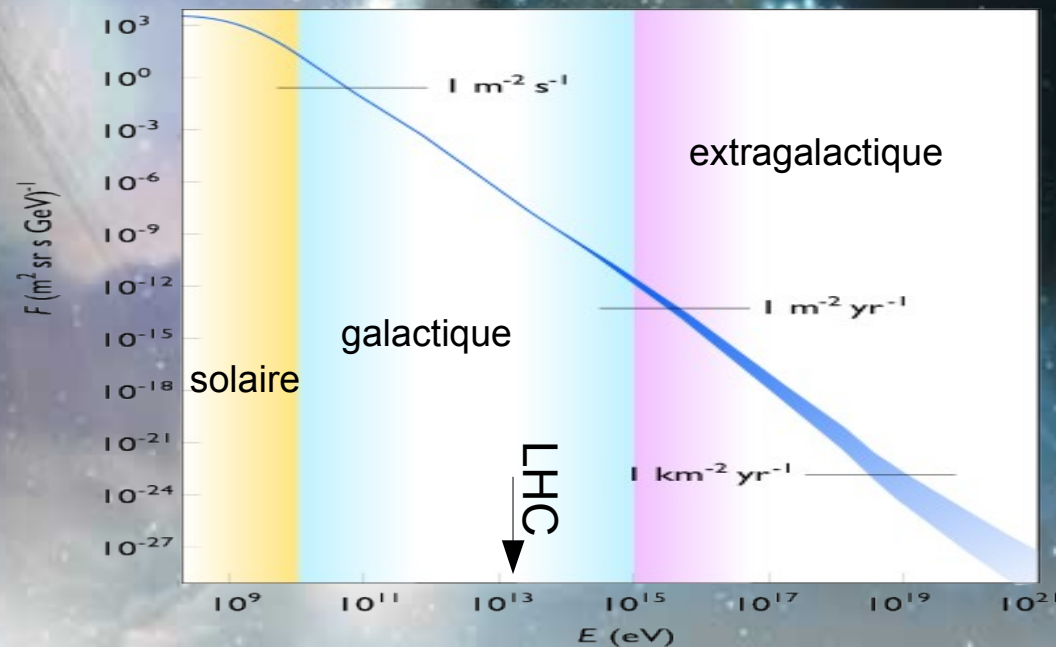
Sources de particules

L'Univers et les rayons cosmiques



Sources de particules

L'Univers et les
rayons cosmiques
(protons, photons,
neutrinos, muons)



Sources de particules

**L'Univers et les
rayons cosmiques**
(protons, photons,
neutrinos, muons)

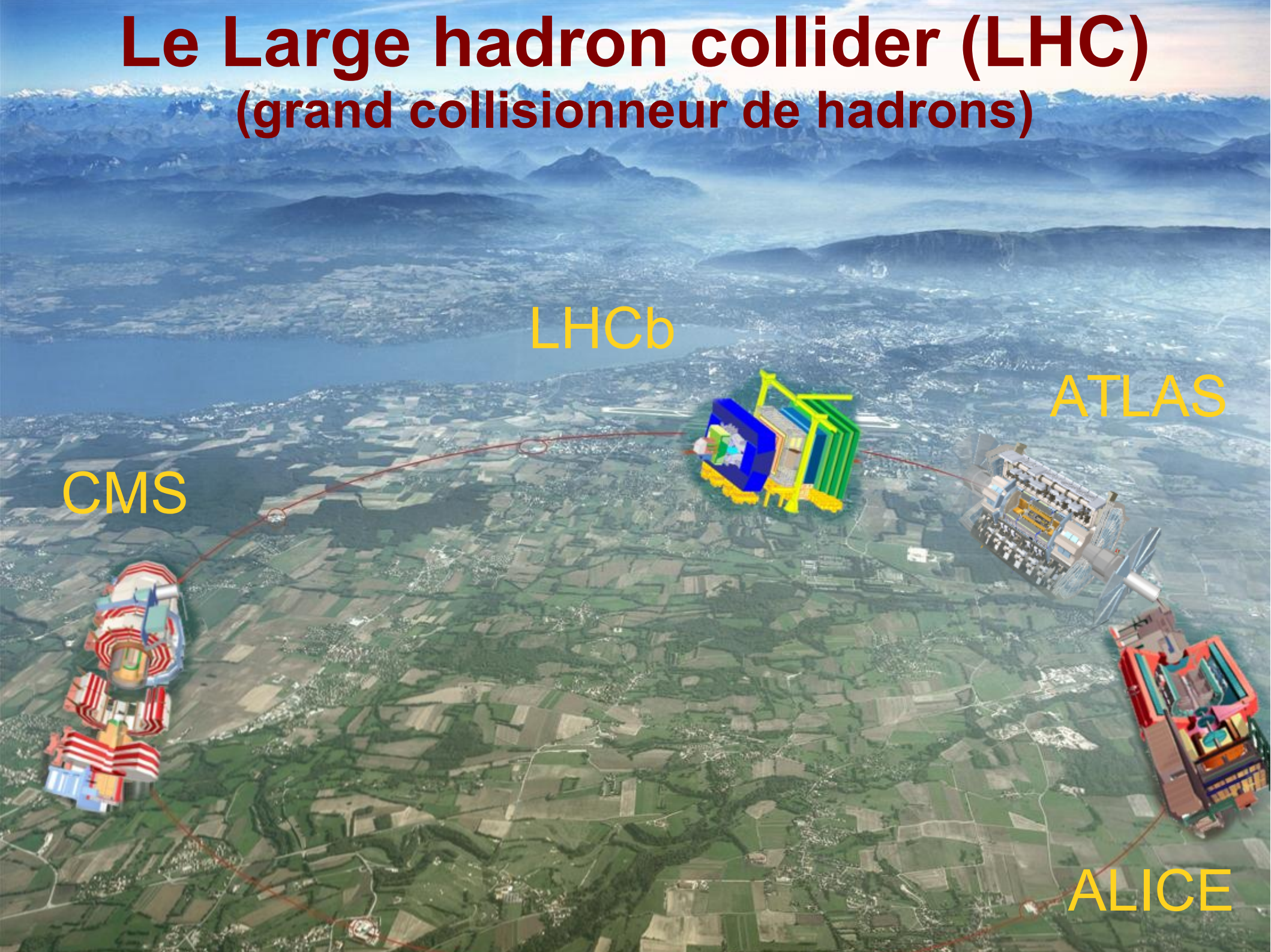
**Les accélérateurs
de particules**
(protons, photons,
électrons, muons,
pions, kaons, etc)

Le Large hadron collider (LHC)

(grand collisionneur de hadrons)



Le Large hadron collider (LHC) (grand collisionneur de hadrons)



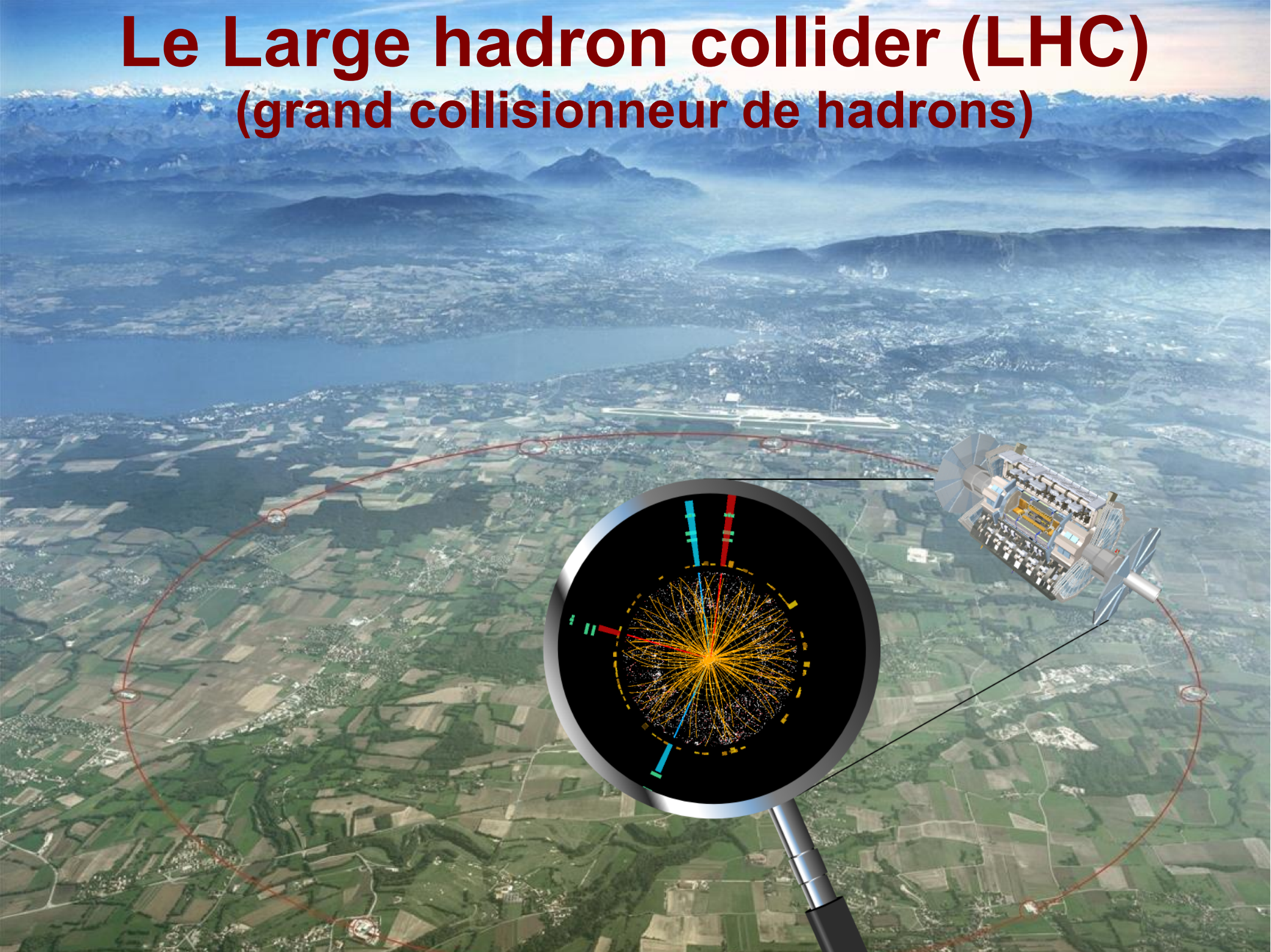
LHCb

ATLAS

CMS

ALICE

Le Large hadron collider (LHC) (grand collisionneur de hadrons)



Le Large hadron collider (LHC) (grand collisionneur de hadrons)

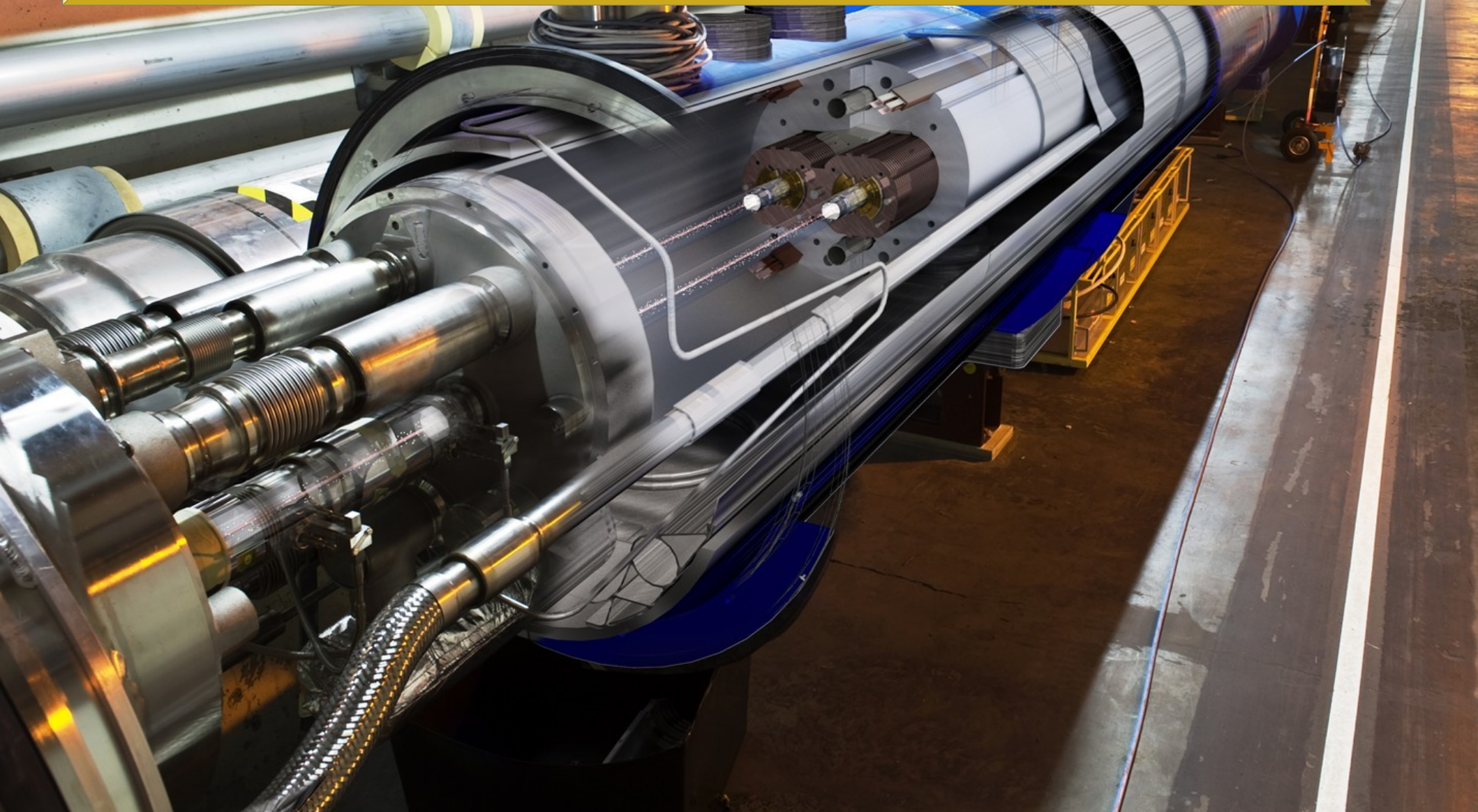


Le LHC : la machine à superlatifs



Le LHC : la machine à superlatifs

La plus grande et la plus complexe machine scientifique jamais construite



Le LHC : la machine à superlatifs



27 km de circonférence
100 m sous terre

Le LHC : la machine à superlatifs



Protons voyageant à
99,9999991%
de la vitesse de la lumière,
soit 11000 tours
par seconde

Le LHC : la machine à superlatifs



Le plus grand congélateur : 1,9 K (-271 °C), plus froid que l'espace intersidéral (2,7 K), avec de l'hélium superfluide pour rendre les câbles supraconducteurs et générer un champ magnétique de 8,3 T (200000 fois le champ magnétique terrestre)

Le LHC : la machine à superlatifs

1232 dipôles.
Un dipôle :
15 m de long
35 tonnes



Le LHC : la machine à superlatifs

Longueur des câbles supraconducteurs :
assez pour 5 aller-retours Terre-soleil



Le LHC : la machine à superlatifs

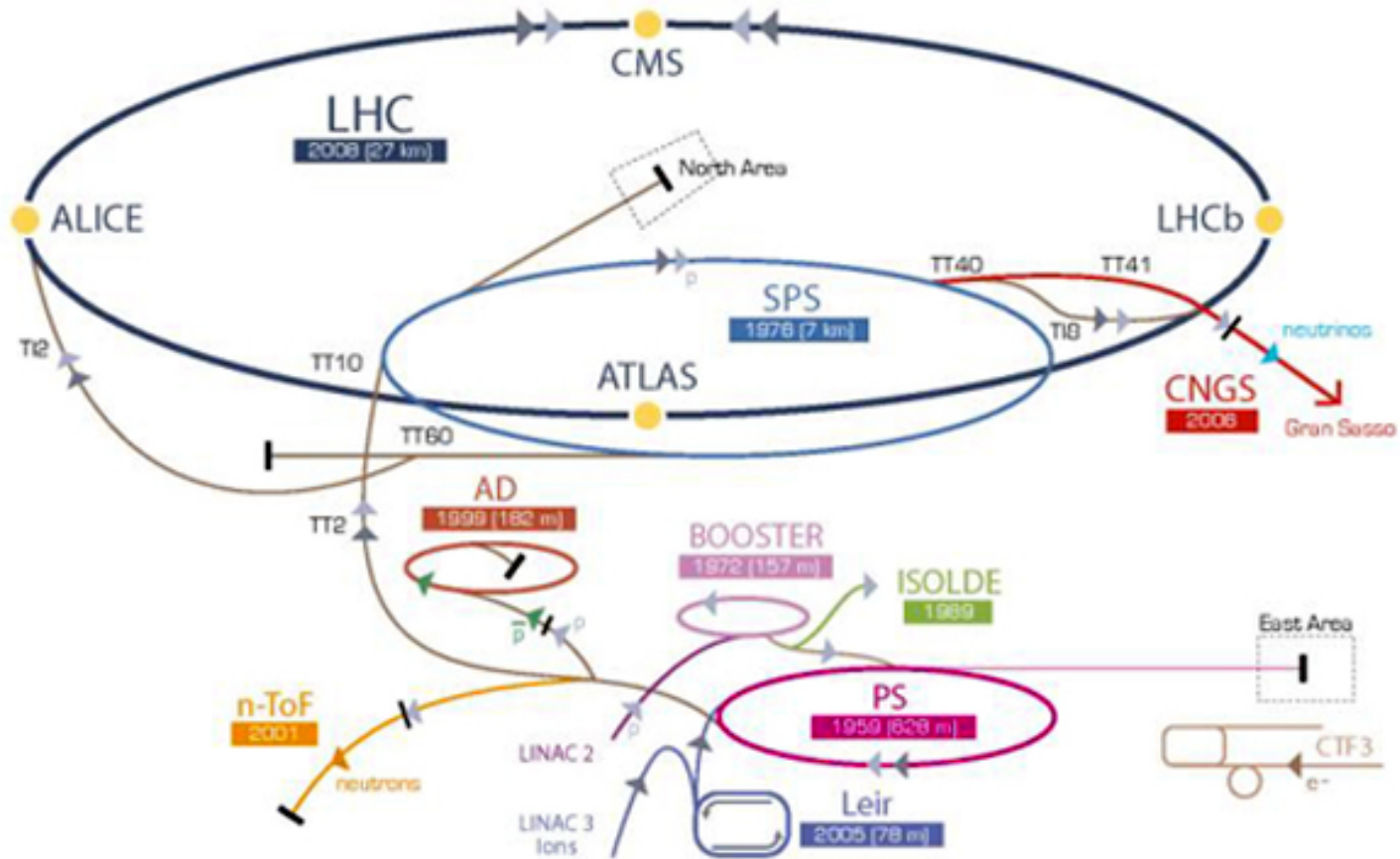
Vide presque parfait (10^{-13} atm) :
pression 10 fois plus faible
que sur la Lune

Le LHC : la machine à superlatifs



Chaque proton a l'énergie d'un moustique en vol, mais il y en a 2800 paquets de 100 milliards !
▶ Énergie du faisceau : TGV à 150 km/h.

Le CERN : les accélérateurs

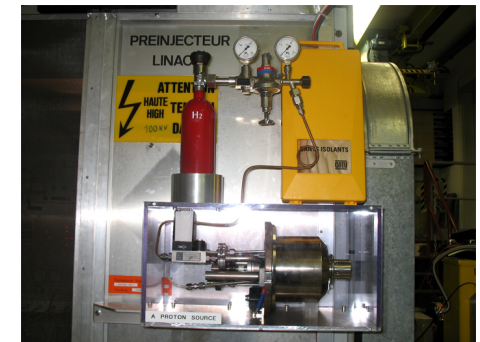


▶ p [protons] ▶ ions ▶ neutrons ▶ \bar{p} (antiproton) ↔ conversion proton/antiproton ▶ neutrinos ▶ électrons

LHC Large Hadron Collider SPS Super Proton Synchrotron PS Proton Synchrotron

AD Antiproton Decelerator CTF3 Clic Test Facility CNGS Cern Neutrinos to Gran Sasso ISOLDE Isotope Separator OnLine DEvice

LEIR Low Energy Ion Ring LINAC LINear ACcelerator n-ToF Neutrons Time Of Flight



Large Hadron Collider : un projet de longue haleine

25 ans de préparation

1984	Études préliminaires
1992	Création de la collaboration ATLAS
1994	Approbation par le conseil du CERN
1996-1998	Approbation des quatre grandes expériences
1998-2008	Construction du LHC et des détecteurs
Septembre 2008	Mise en service, panne cryogénique
Octobre 2009	Redémarrage
Mars 2010	Premières collisions à 7 TeV
Fin 2012	Fin des collisions à 8 TeV
Printemps 2015	Redémarrage à 13 TeV
2023	Fin des collisions à luminosité nominale
2025-2035	Phase à haute luminosité (10 fois plus de données)

25 ans d'exploitation

Large Hadron Collider : un projet de longue haleine



25 ans de préparation

1984	Études préliminaires
1992	Création de la collaboration ATLAS
1994	Approbation par le conseil du CERN
1996-1998	Approbation des quatre grands accélérateurs
1998-2008	Construction du LHC et des détecteurs
Septembre 2008	Mise en service, panne cryogénique

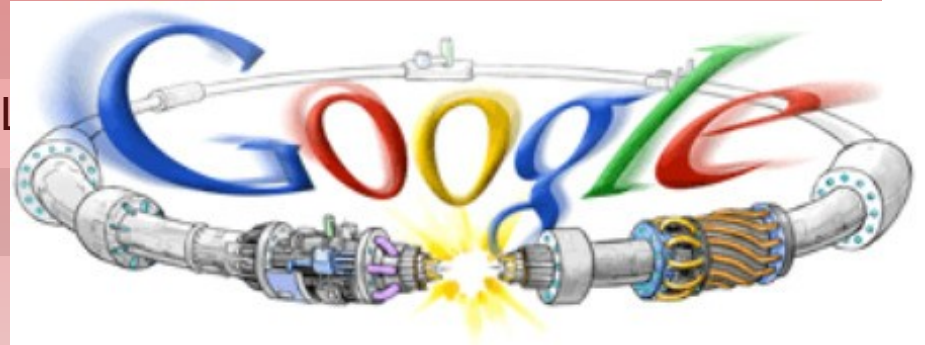
25 ans d'exploitation

Octobre 2009	Redémarrage
Mars 2010	Premières collisions à 7 TeV
Fin 2012	Fin des collisions à 8 TeV
Printemps 2015	Redémarrage à 13 TeV
2023	Fin des collisions à luminosité nominale
2025-2035	Phase à haute luminosité (10 fois plus de données)

Large Hadron Collider : un projet de longue haleine

25 ans de préparation

1984	Études préliminaires
1992	Création de la collaboration ATLAS
1994	Approbation par le conseil du CERN
1996-1998	Approbation des
1998-2008	Construction du L
Septembre 2008	Mise en service,



25 ans d'exploitation

Octobre 2009	Redémarrage
Mars 2010	Premières collisions à 7 TeV
Fin 2012	Fin des collisions à 8 TeV
Printemps 2015	Redémarrage à 13 TeV
2023	Fin des collisions à luminosité nominale
2025-2035	Phase à haute luminosité (10 fois plus de données)

Large Hadron Collider : un projet de longue haleine

25 ans de préparation

1984	Études préliminaires
1992	Création de la collaboration ATLAS
1994	Approbation par le conseil du CERN
1996-1998	Approbation des quatre grandes expériences
1998-2008	Construction du LHC et des détecteurs
Septembre 2008	Mise en service, panne cryogénique

25 ans d'exploitation

Octobre 2009	Redémarrage
Mars 2010	Premières collisions à 7 TeV
Fin 2012	Fin des collisions à 8 TeV
Printemps 2015	Redémarrage à 13 TeV
2023	Fin des collisions à luminosité nominale
2025-2035	Phase à haute luminosité (10 fois plus de données)



Large Hadron Collider : un projet de longue haleine

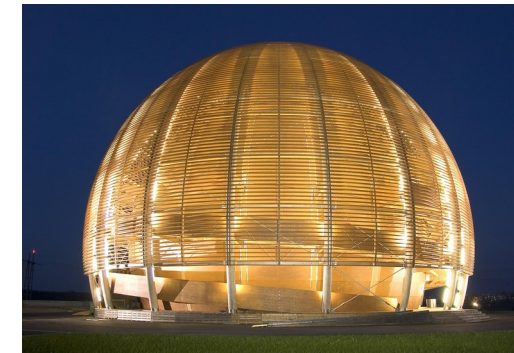
25 ans de préparation

1984	Études préliminaires
1992	Création de la collaboration ATLAS
1994	Approbation par le conseil du CERN
1996-1998	Approbation des quatre grandes expériences
1998-2008	Construction du LHC et des détecteurs
Septembre 2008	Mise en service, panne cryogénique
Octobre 2009	Redémarrage
Mars 2010	Premières collisions à 7 TeV
Fin 2012	Fin des collisions à 8 TeV
Printemps 2015	Redémarrage à 13 TeV
2023	Fin des collisions à luminosité nominale
2025-2035	Phase à haute luminosité (10 fois plus de données)

25 ans d'exploitation



Le CERN



Organisation européenne pour la recherche nucléaire

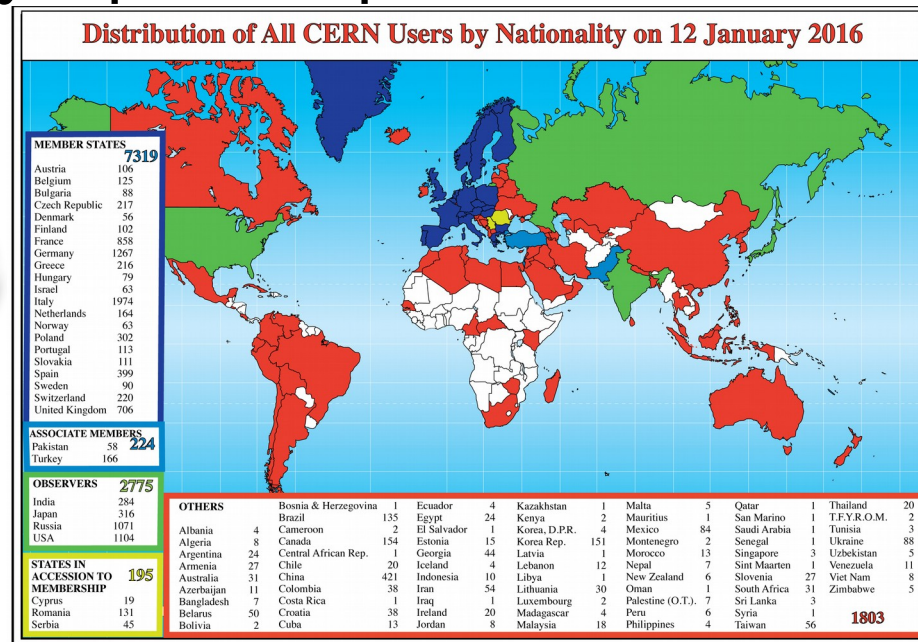
Le laboratoire européen pour la physique des particules

- organisation internationale
- créé en 1954 (festivités pour ses 60 ans en 2014)
- 22 état membres
- Emploie ~2500
- ~10000 utilisateurs

- 500 instituts, 80 pays

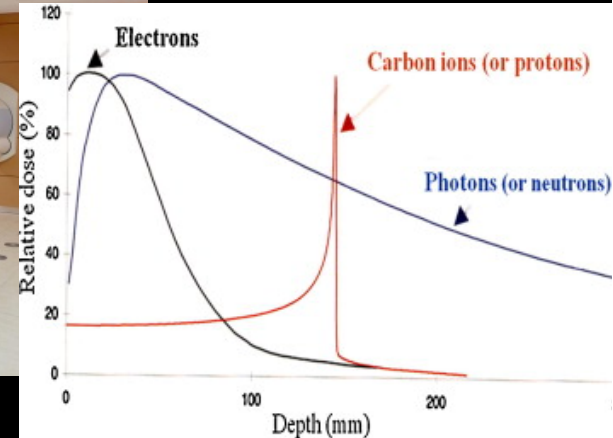
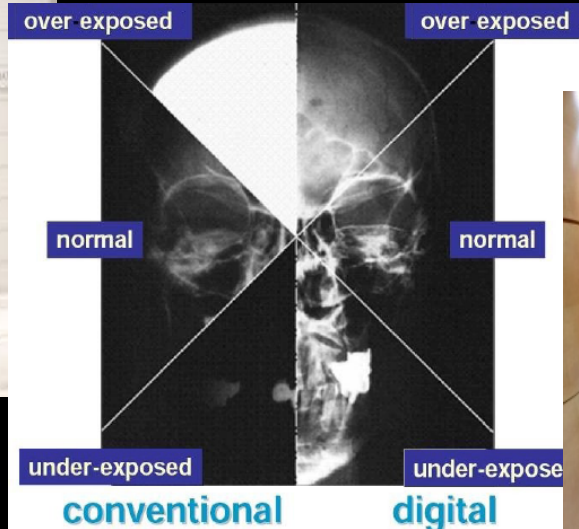


YEARS/ANS CERN

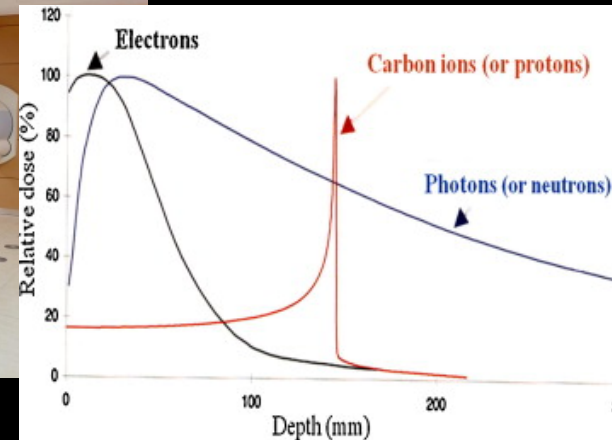
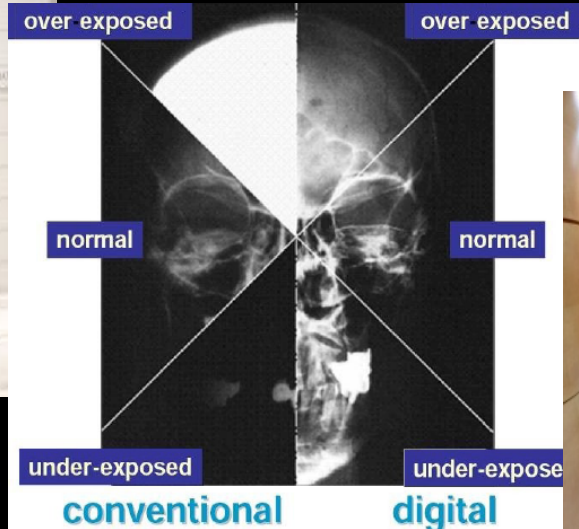


- Nombreuses découvertes scientifiques et techniques / Plusieurs prix Nobel
- Formidable lieu de collaboration internationale
- Programme d'étudiant d'été

A quoi sert la recherche fondamentale en physique des particules ?



A quoi sert la recherche fondamentale en physique des particules ?

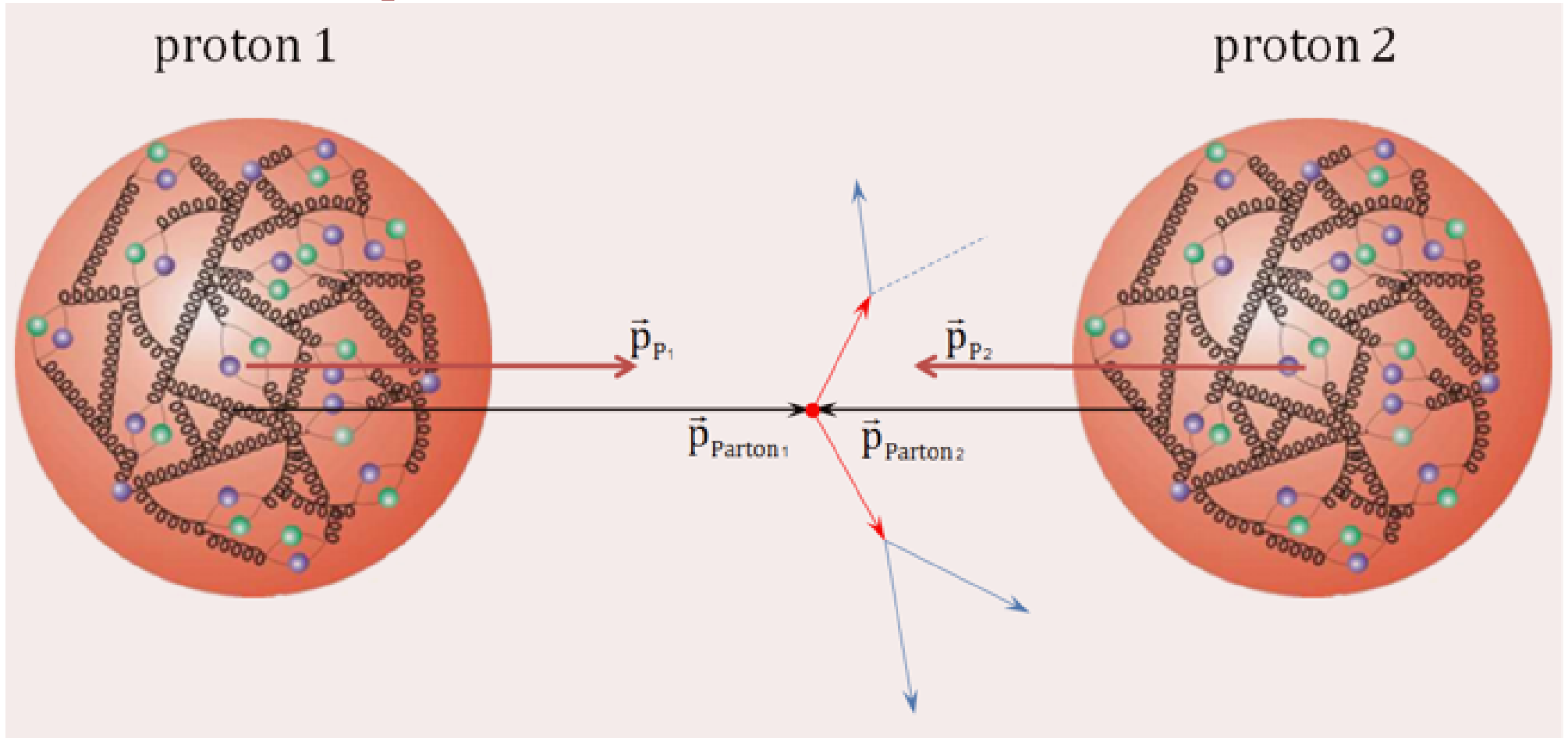


Running jobs: 246791
Transfer rate: 13.98 GiB/sec



► Le Web a été inventé au CERN !

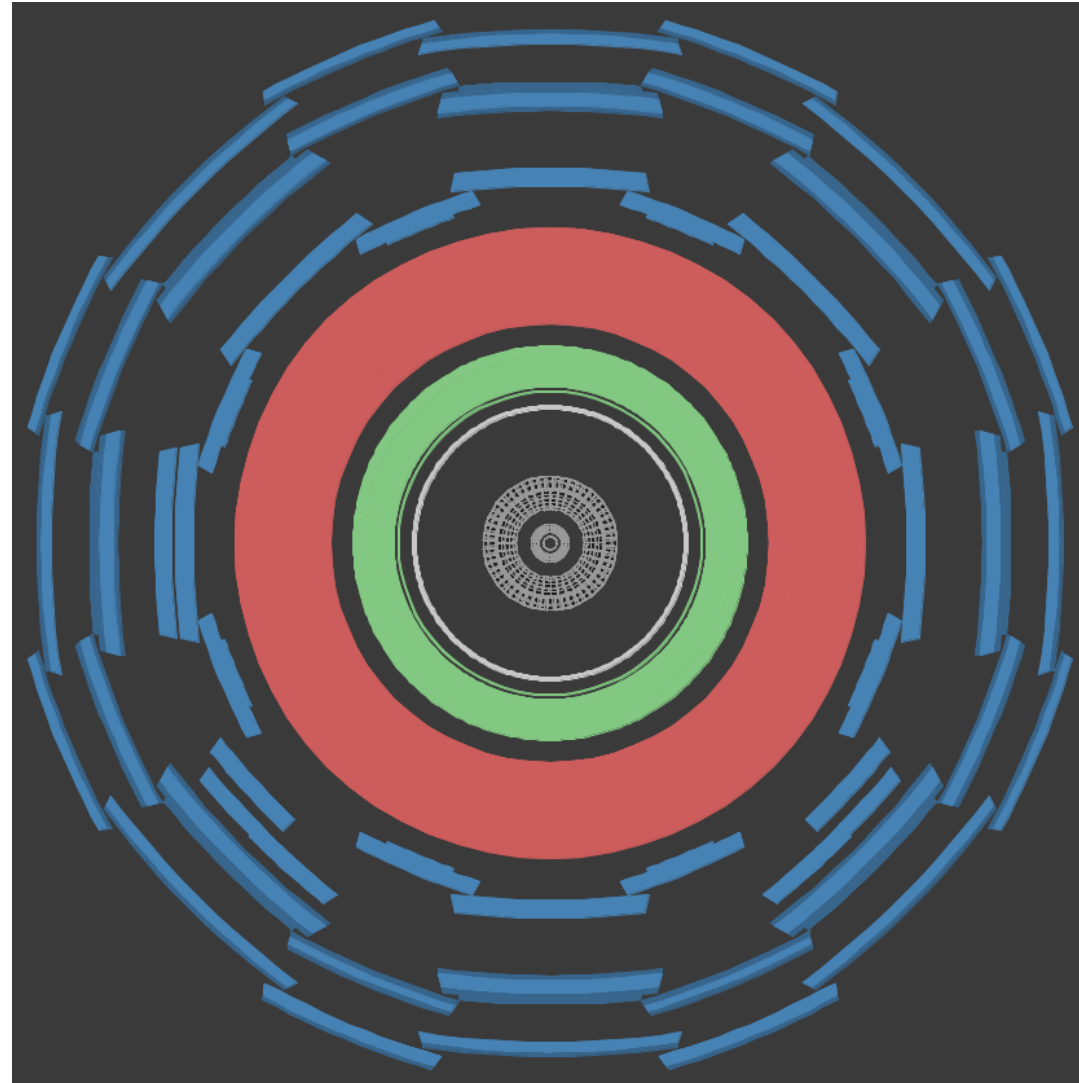
Deux protons se rencontrent...



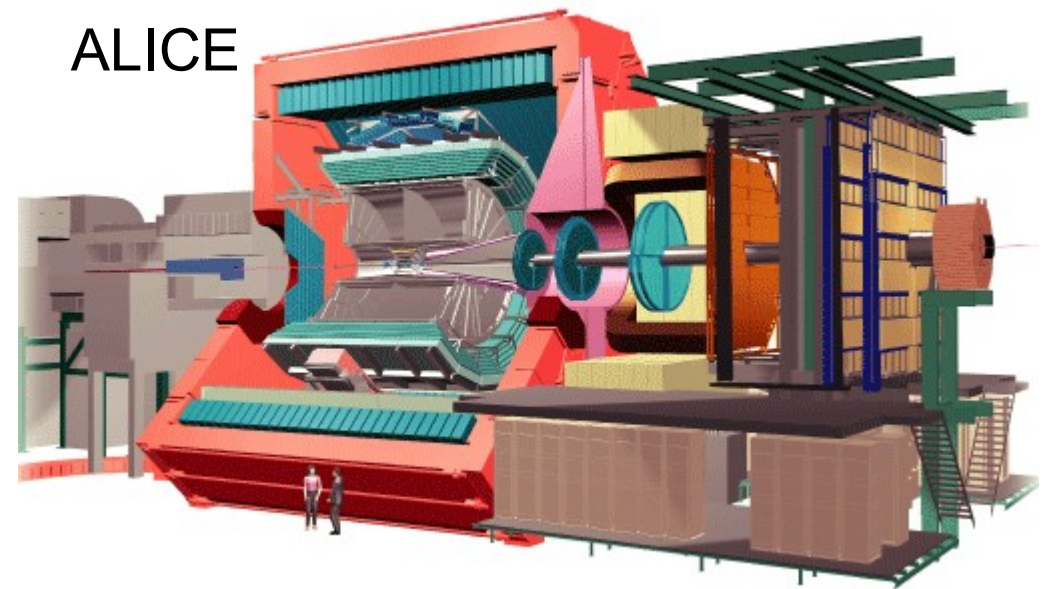
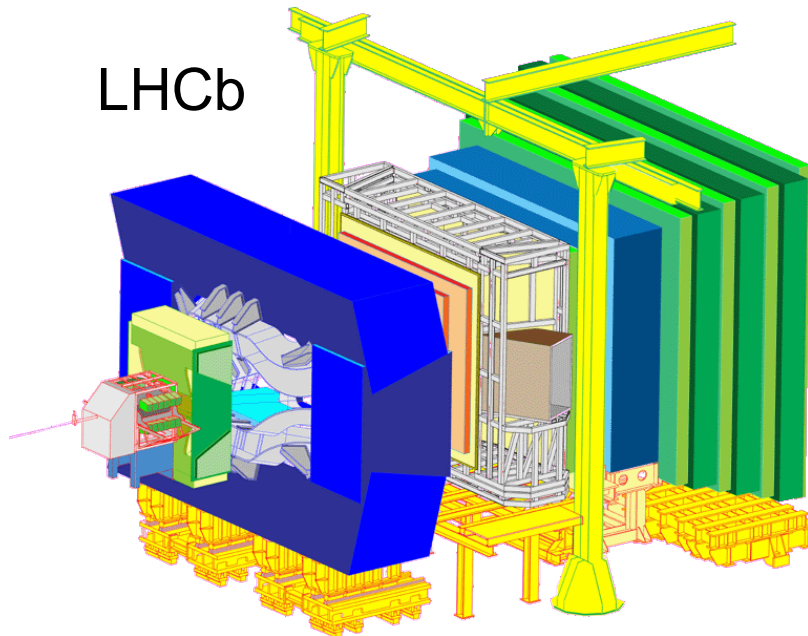
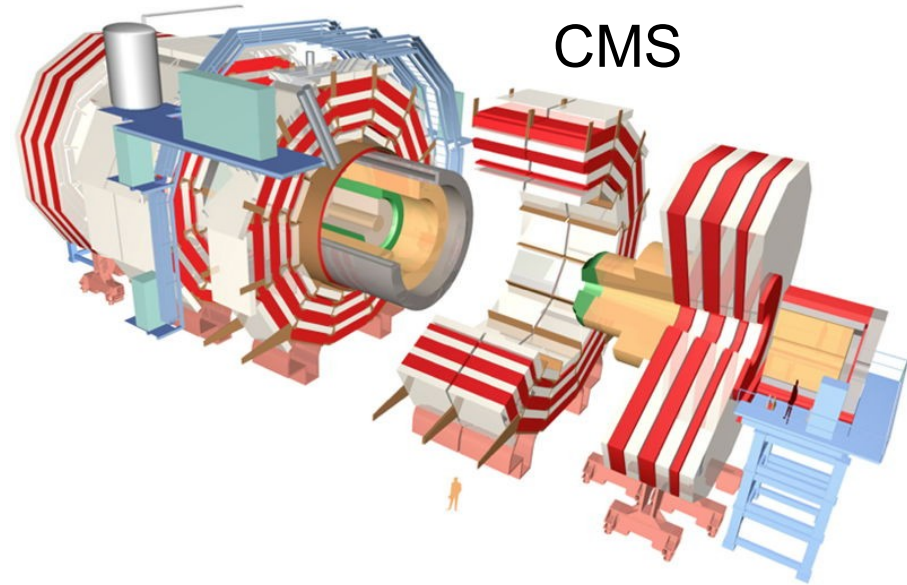
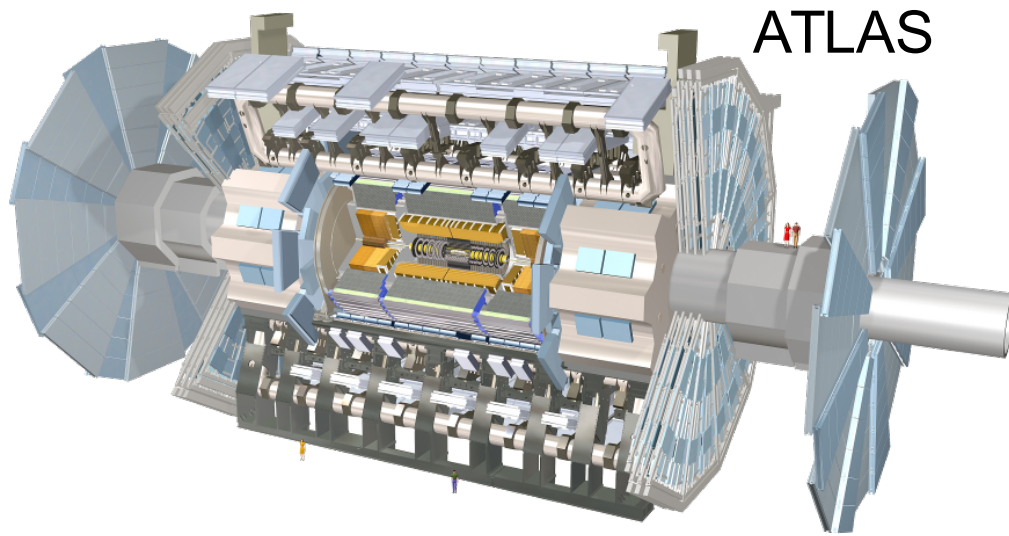
- Collision proton-proton = collision entre constituants (quarks et/ou gluons)
- Jamais deux fois la même collision → mesures statistiques
- Traces de la collision mesurées dans des détecteurs autour du point d'interaction

Un détecteur, qu'est-ce que c'est ?

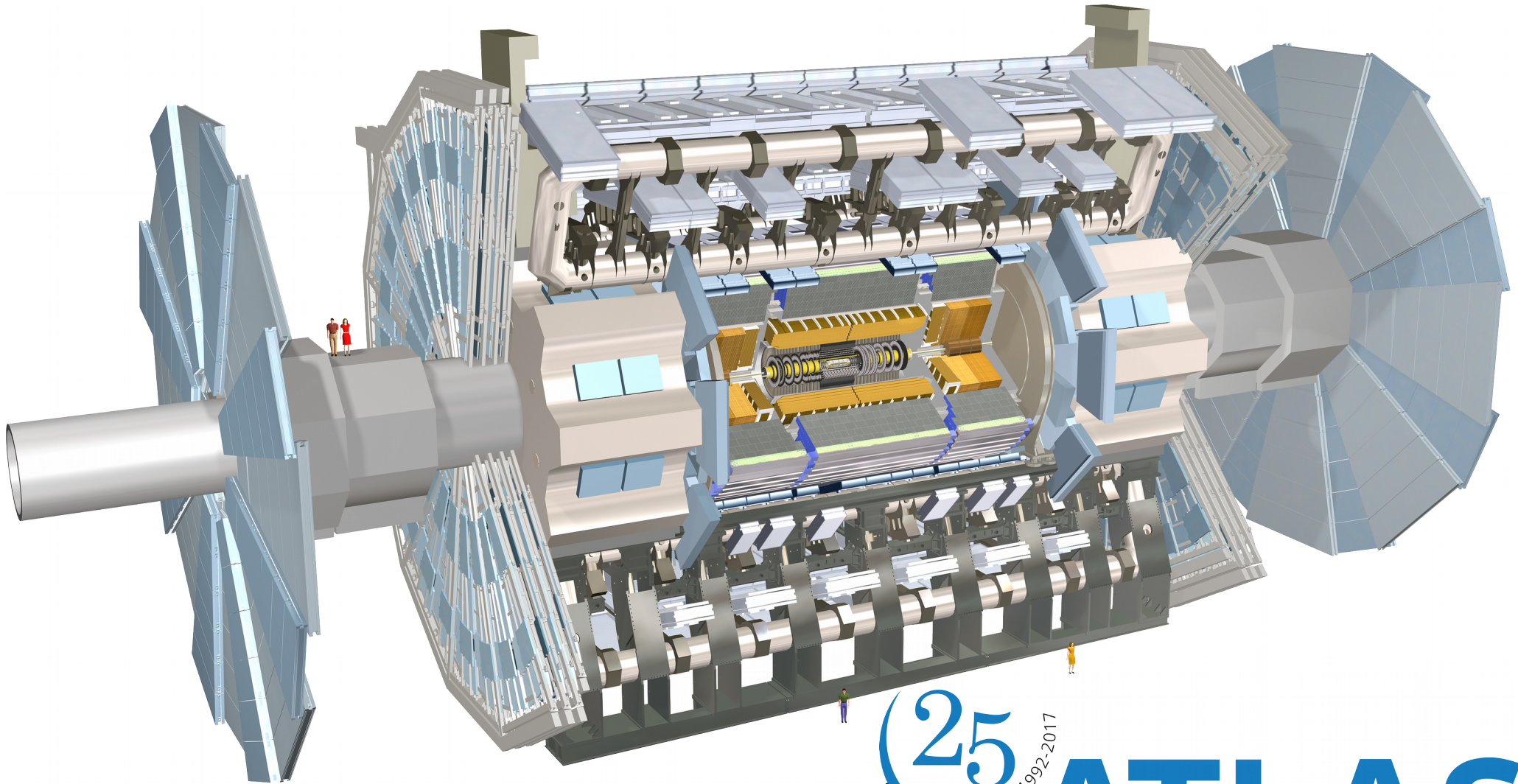
- Détecteur interne (trajectographe)
 - ▶ Mesure charge et impulsion des particules chargées, dans un champ magnétique
- Calorimètre électromagnétique
 - ▶ Mesure l'énergie des électrons, positrons et photons
- Calorimètre hadronique
 - ▶ Mesure l'énergie des hadrons (particules contenant des quarks), comme les protons, neutrons, pions, etc.
- Détecteur à muons
 - ▶ Mesure la charge et l'impulsion des muons



Les détecteurs géants du LHC



Le détecteur ATLAS



ATLAS
EXPERIMENT

La collaboration ATLAS



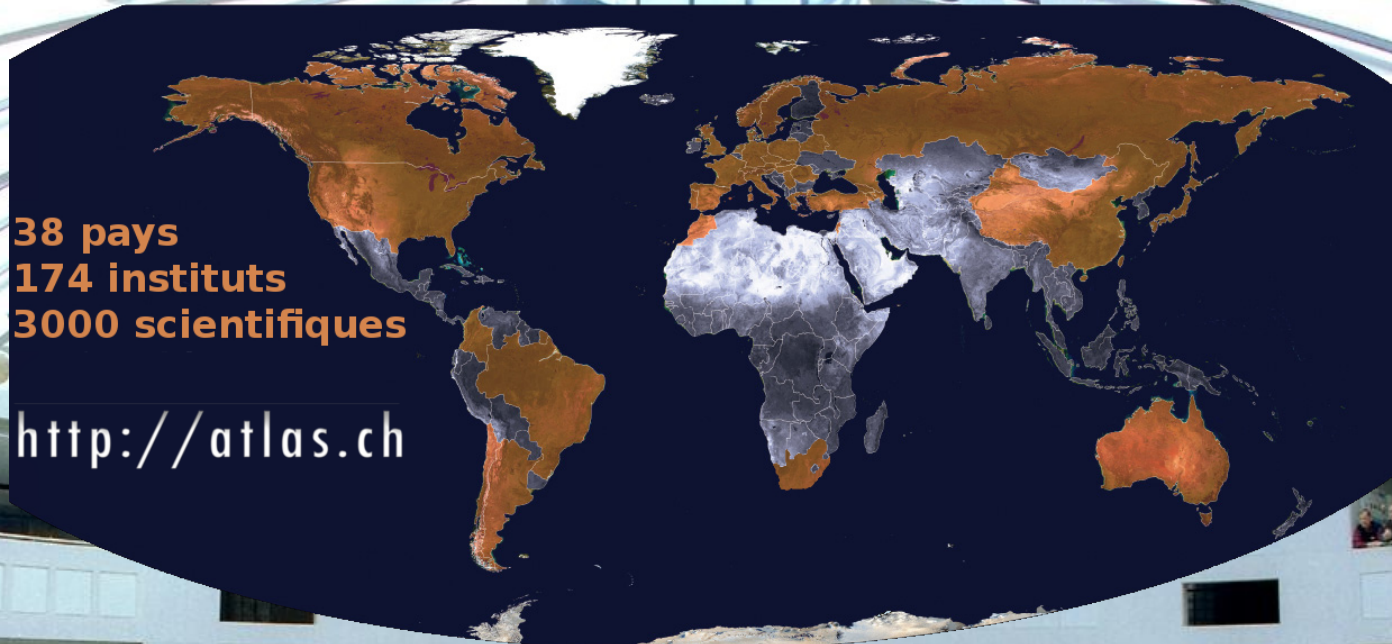
C

D

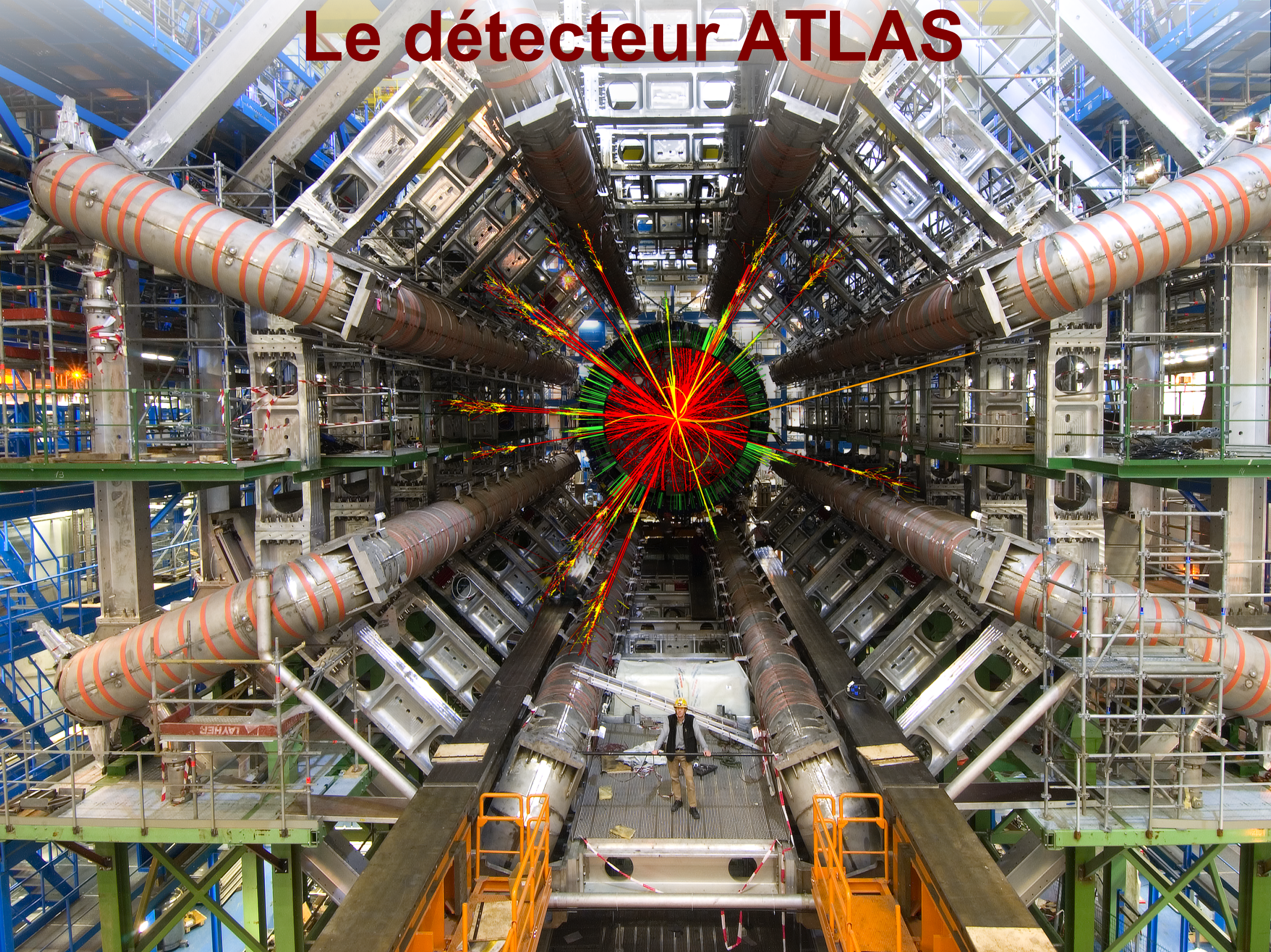
La collaboration ATLAS

38 pays
174 instituts
3000 scientifiques

<http://atlas.ch>

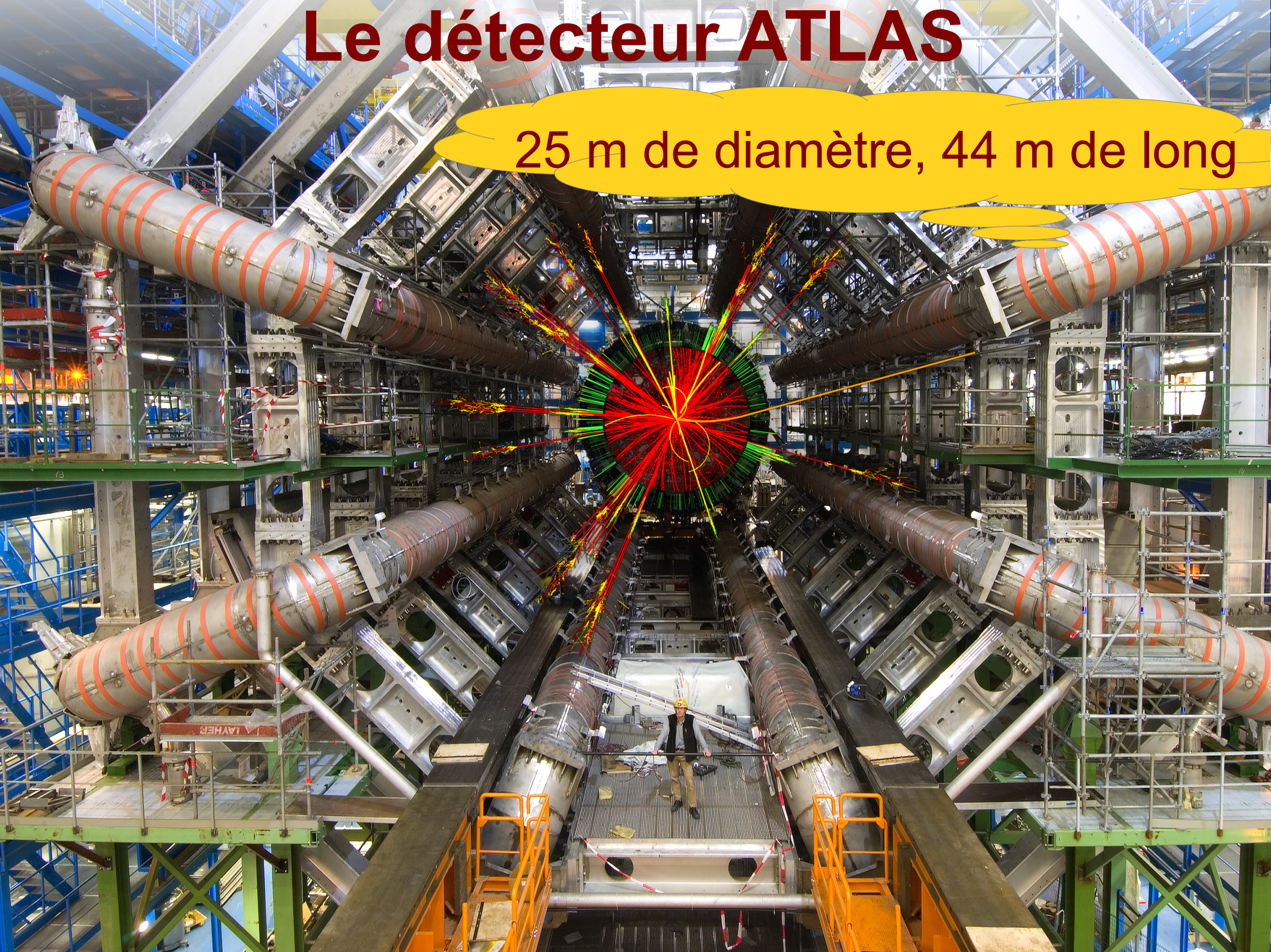


Le détecteur ATLAS



Le détecteur ATLAS

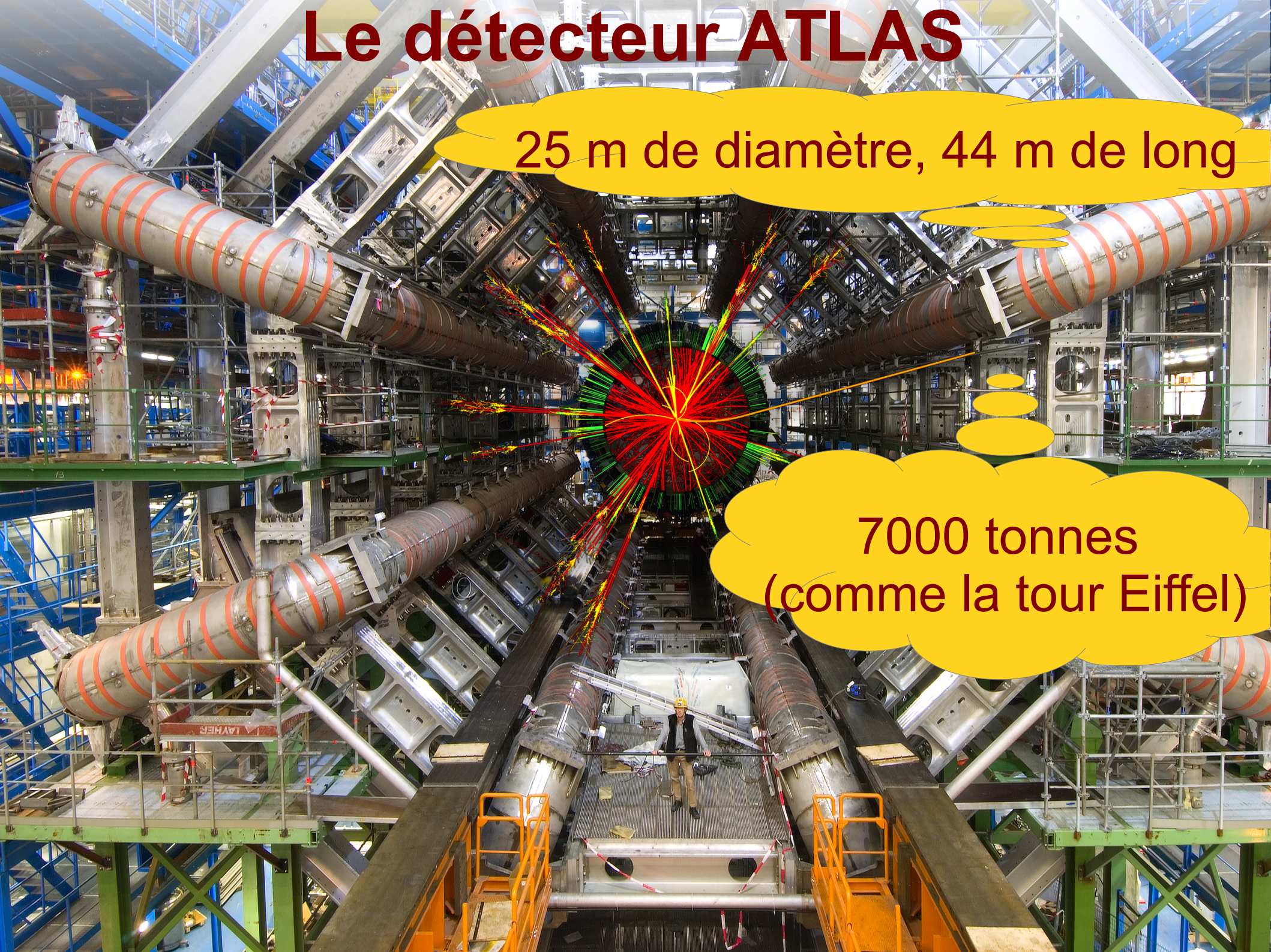
25 m de diamètre, 44 m de long



Le détecteur ATLAS

25 m de diamètre, 44 m de long

7000 tonnes
(comme la tour Eiffel)

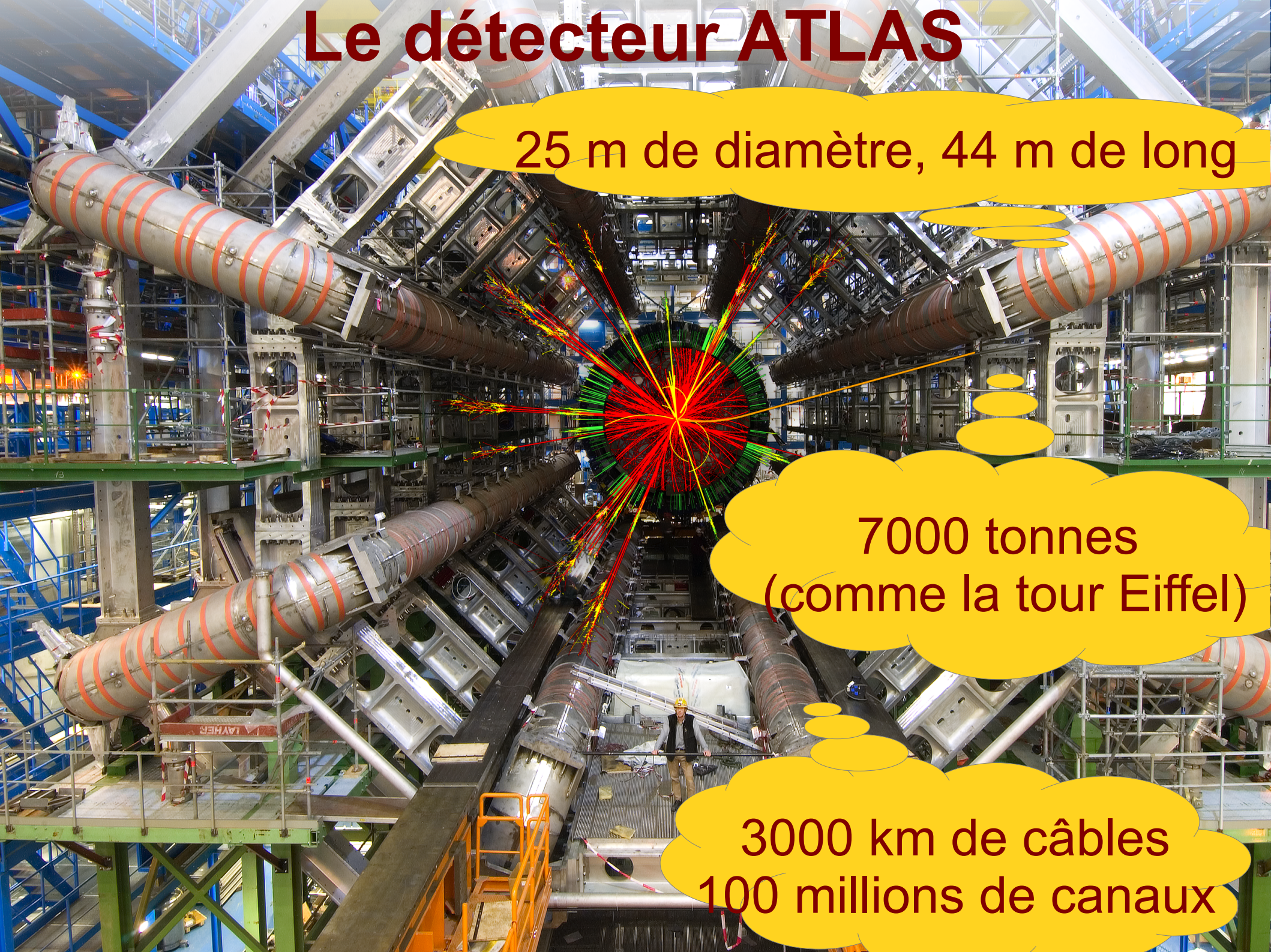


Le détecteur ATLAS

25 m de diamètre, 44 m de long

7000 tonnes
(comme la tour Eiffel)

3000 km de câbles
100 millions de canaux



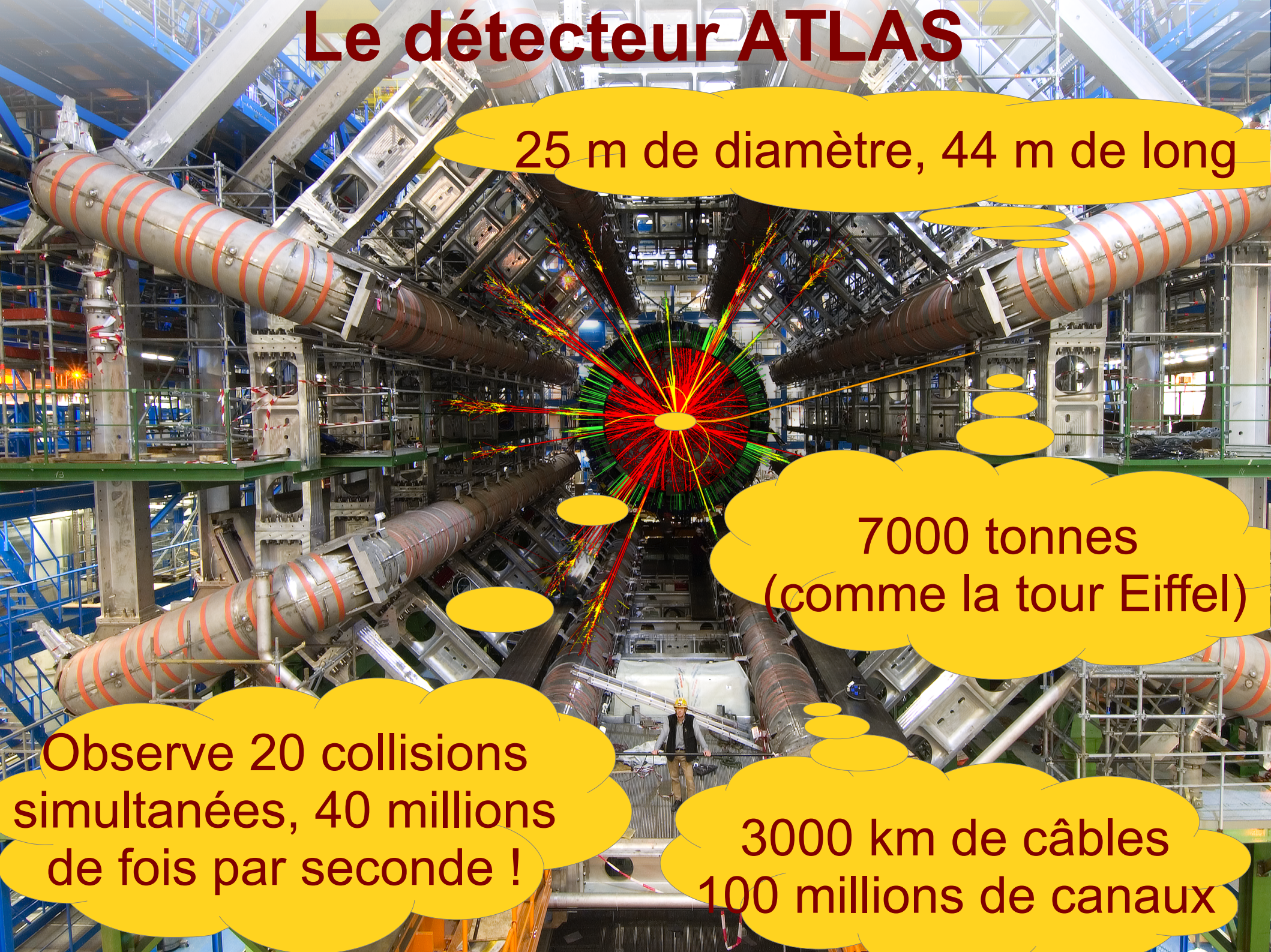
Le détecteur ATLAS

25 m de diamètre, 44 m de long

7000 tonnes
(comme la tour Eiffel)

Observe 20 collisions
simultanées, 40 millions
de fois par seconde !

3000 km de câbles
100 millions de canaux



Le détecteur ATLAS

The image shows the interior of the ATLAS detector tunnel. A central calorimeter is visible, surrounded by a dense network of cables and pipes. A worker in a hard hat and safety vest is standing on a platform in the center of the tunnel, providing a sense of scale. The tunnel is lined with blue metal structures and various equipment.

25 m de diamètre, 44 m de long

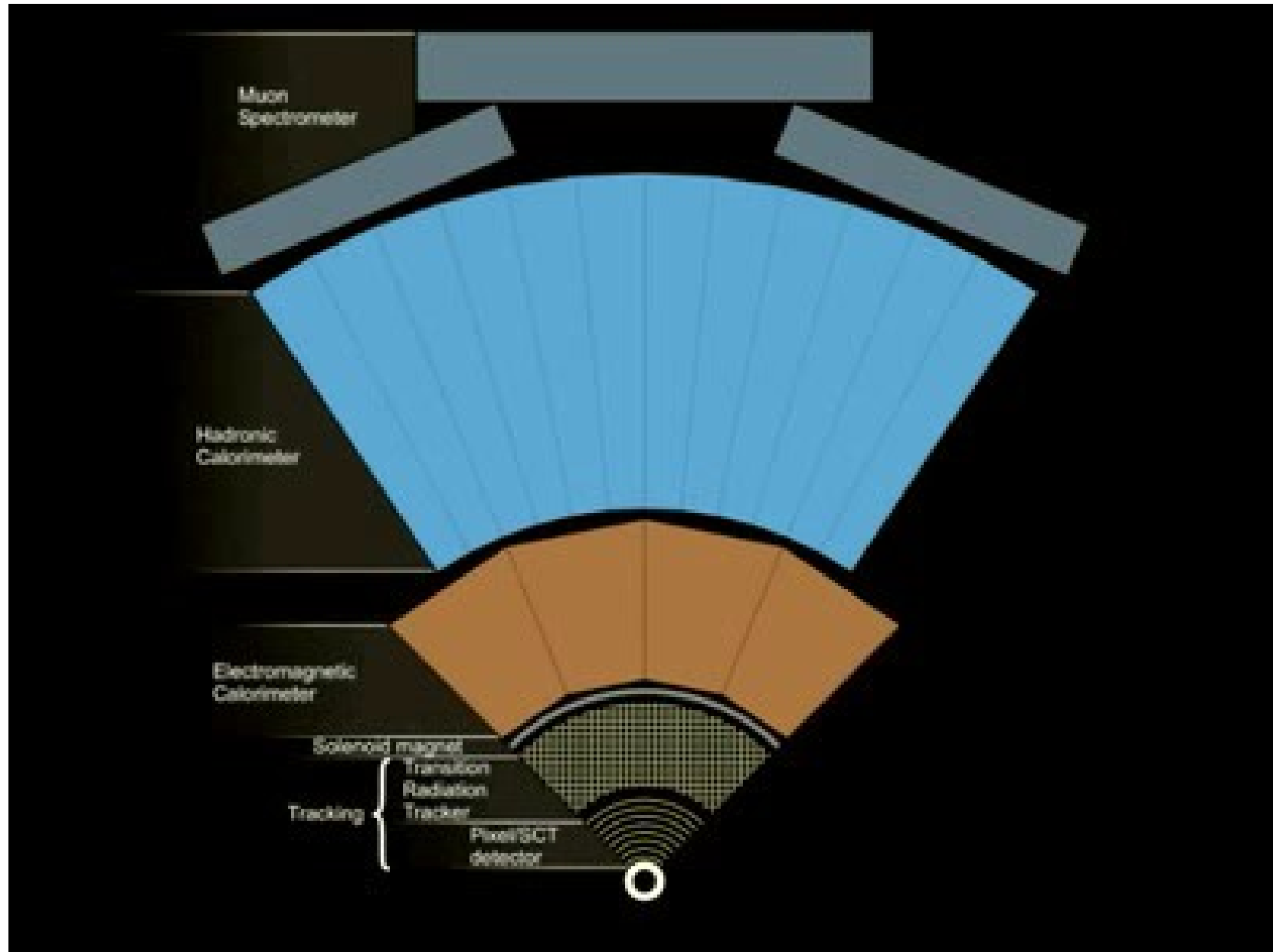
En France :
6 laboratoires CNRS,
1 CEA, 400 personnes
(physiciens, ingénieurs,
étudiants)

7000 tonnes
(comme la tour Eiffel)

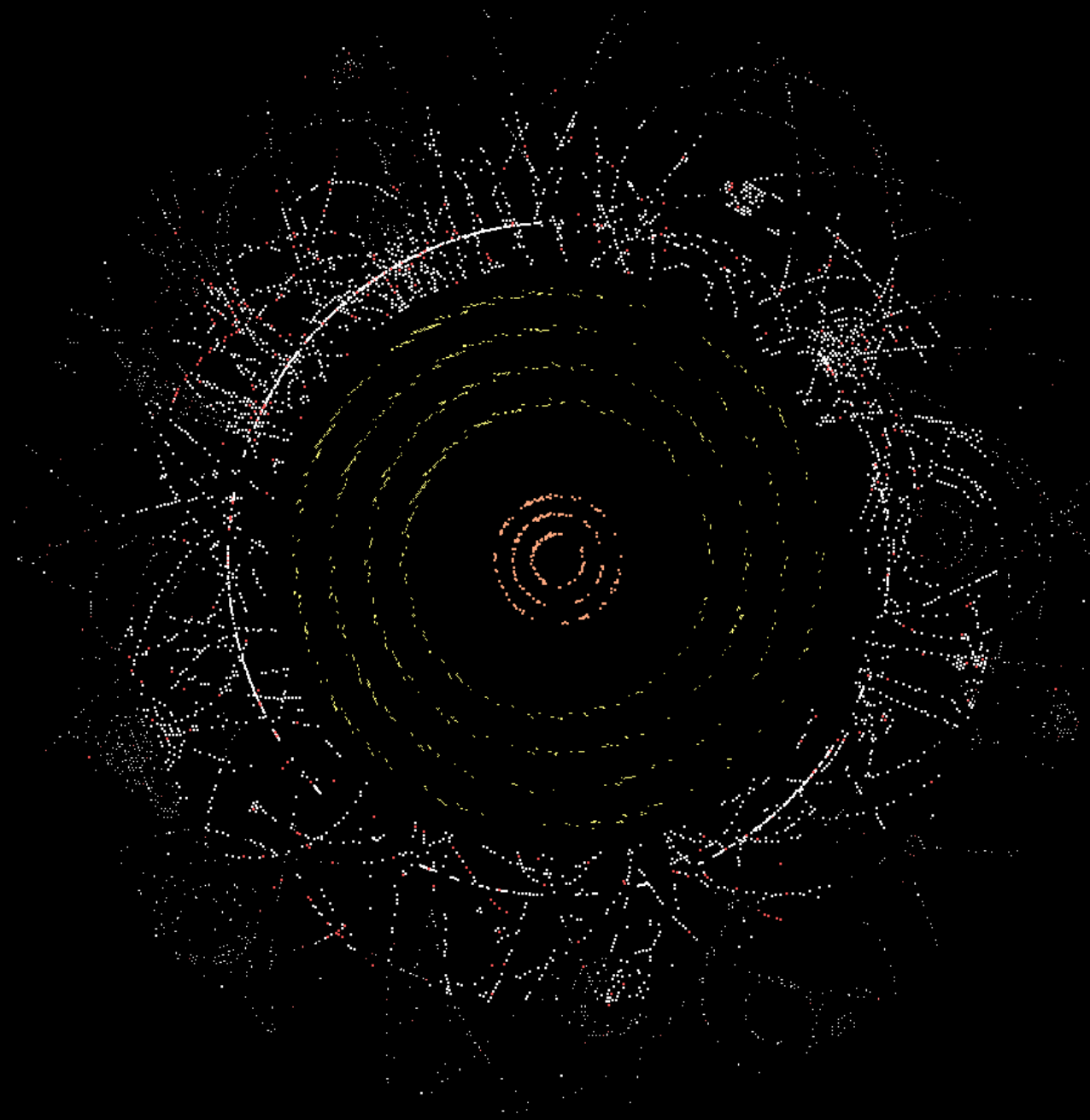
Observe 20 collisions
simultanées, 40 millions
de fois par seconde !

3000 km de câbles
100 millions de canaux

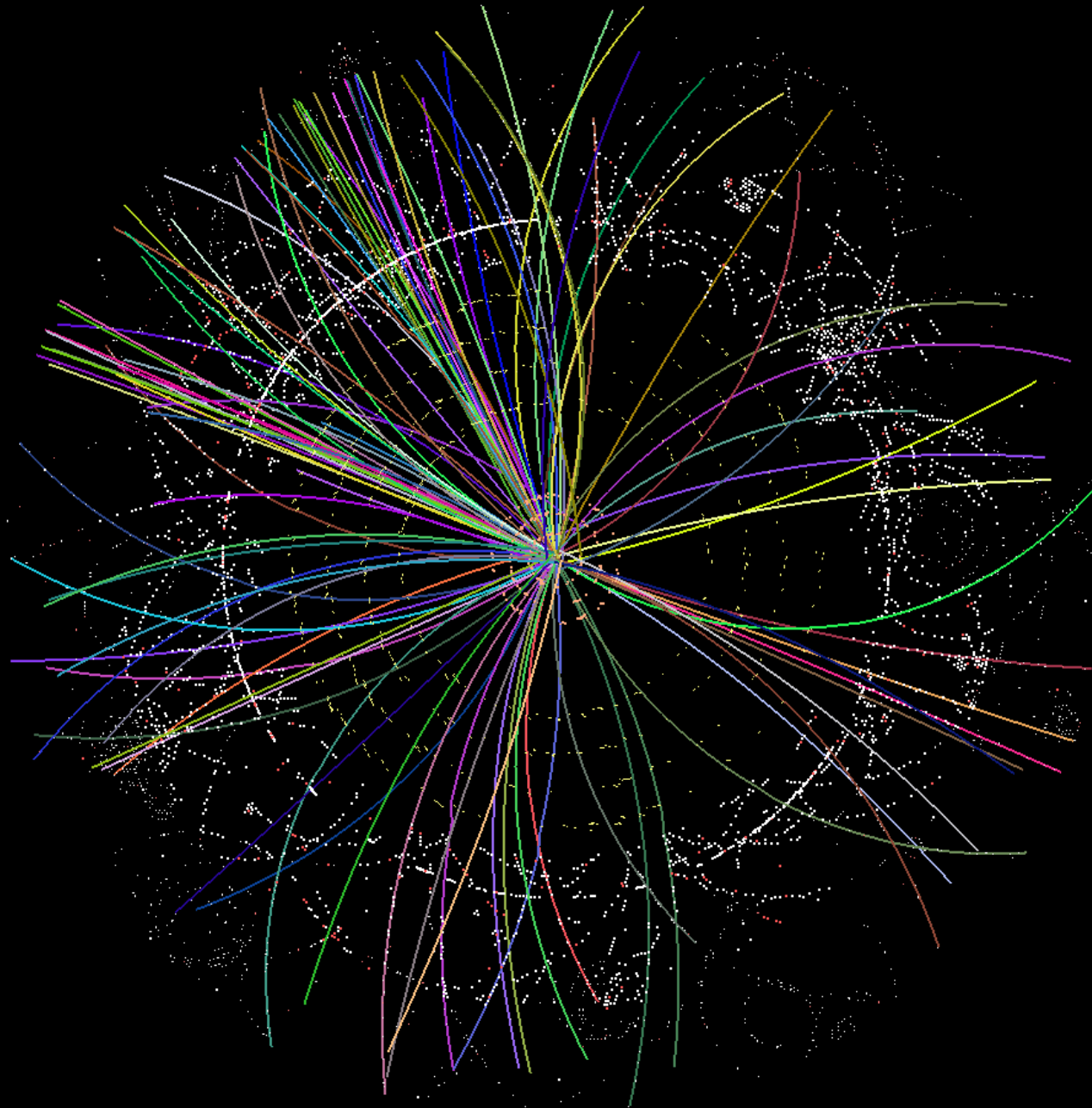
Interaction des particules avec le détecteur



Passage des particules



Reconstruction des trajectoires



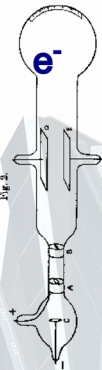
Le LHC en action



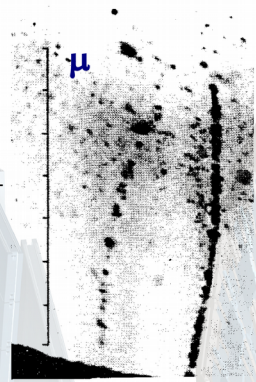
Le modèle standard redécouvert

LHC 2010 : un siècle en un an

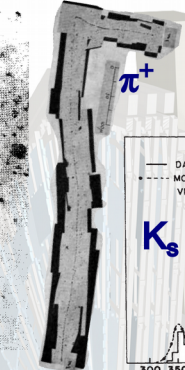
Découverte historique



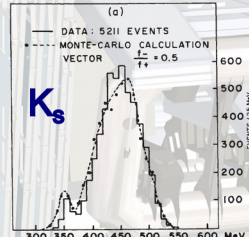
1897



1937



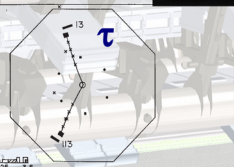
1947



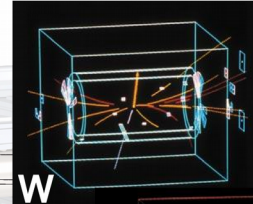
1964



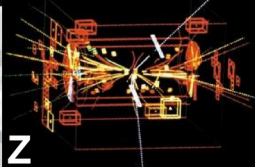
1974



1976

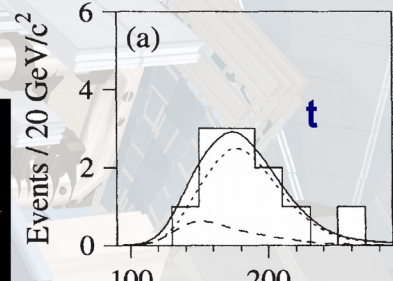


W



Z

1983

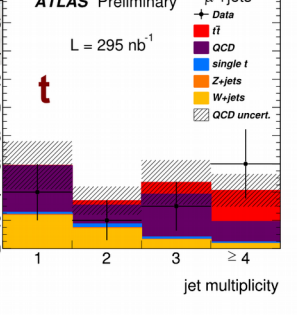
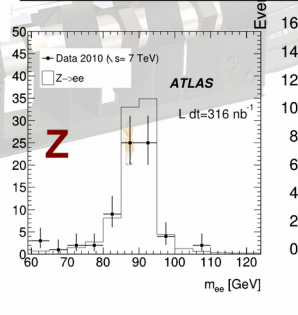
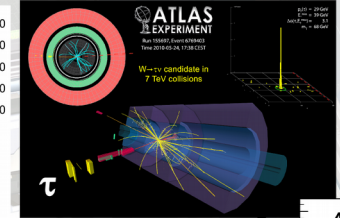
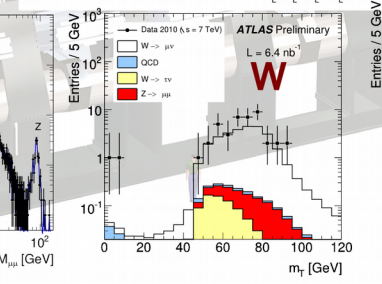
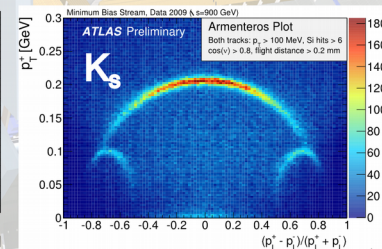
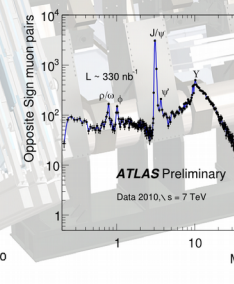
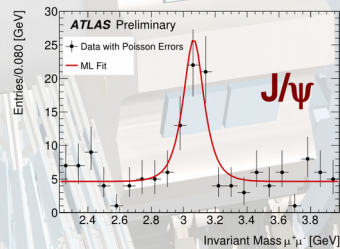
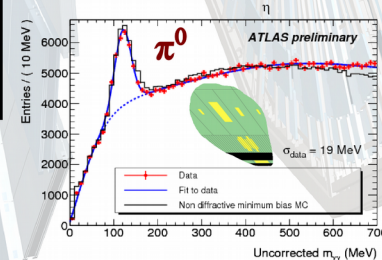
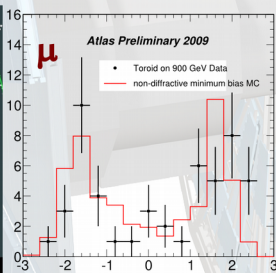
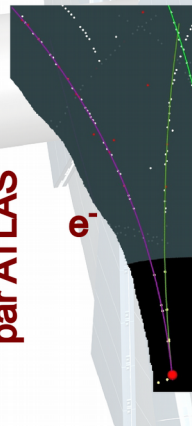


1995

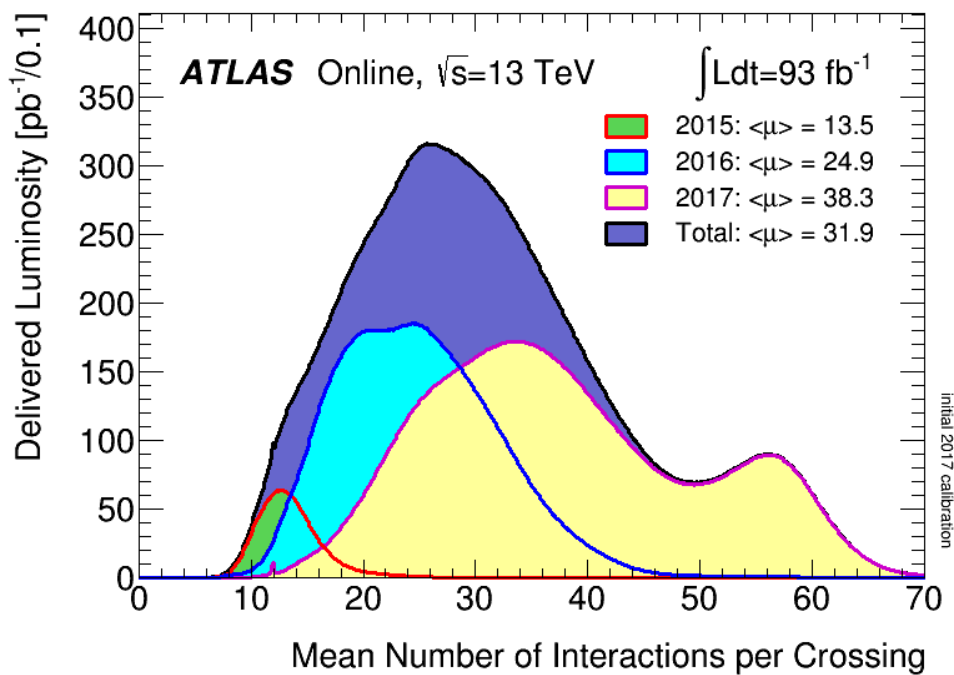
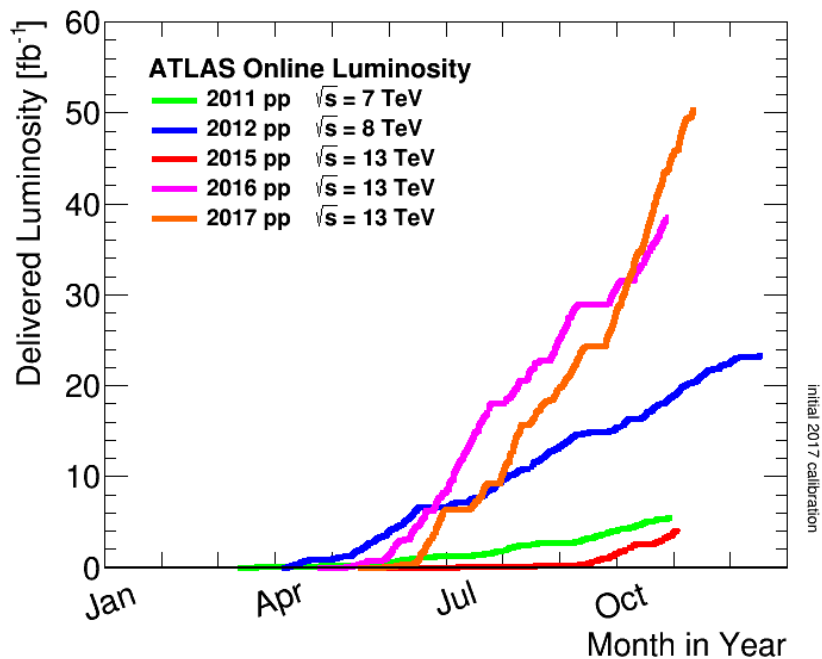
déc 2009

août 2010

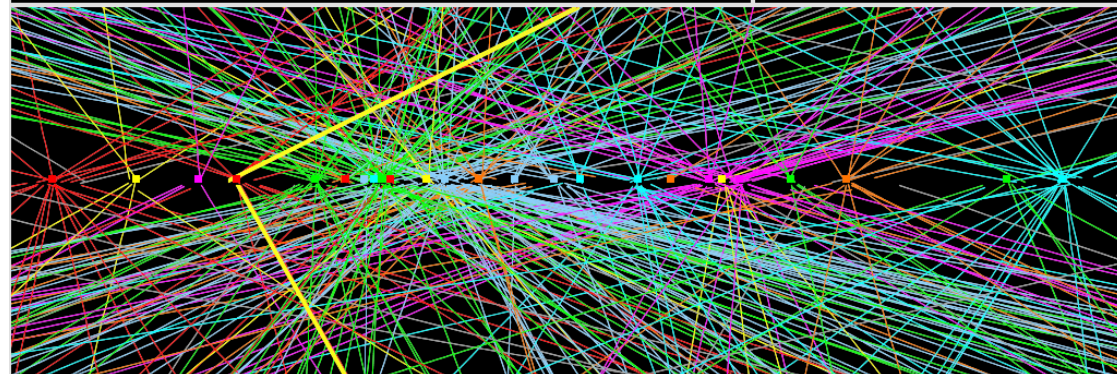
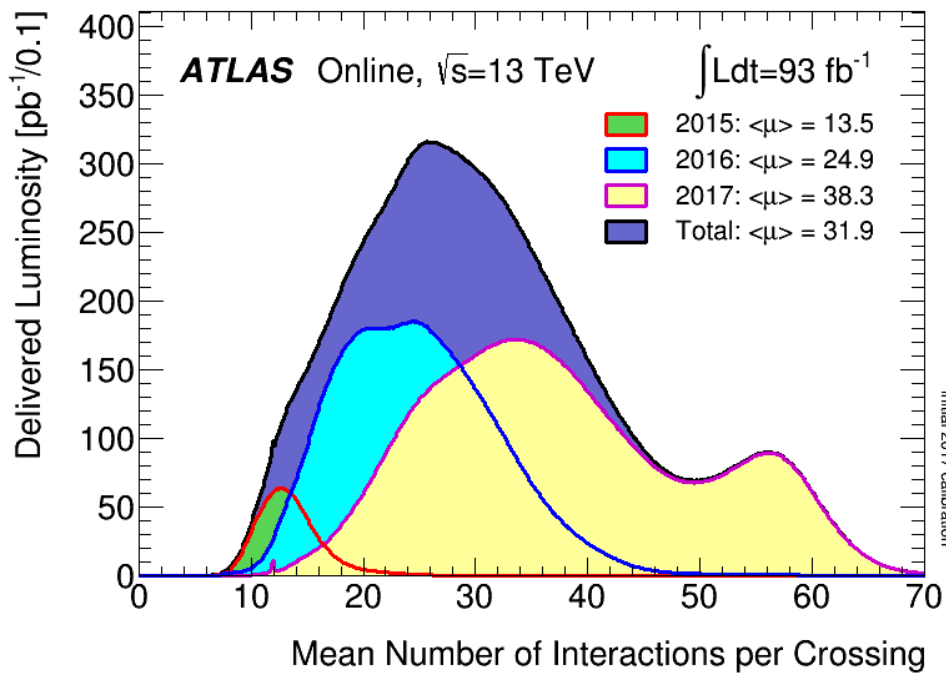
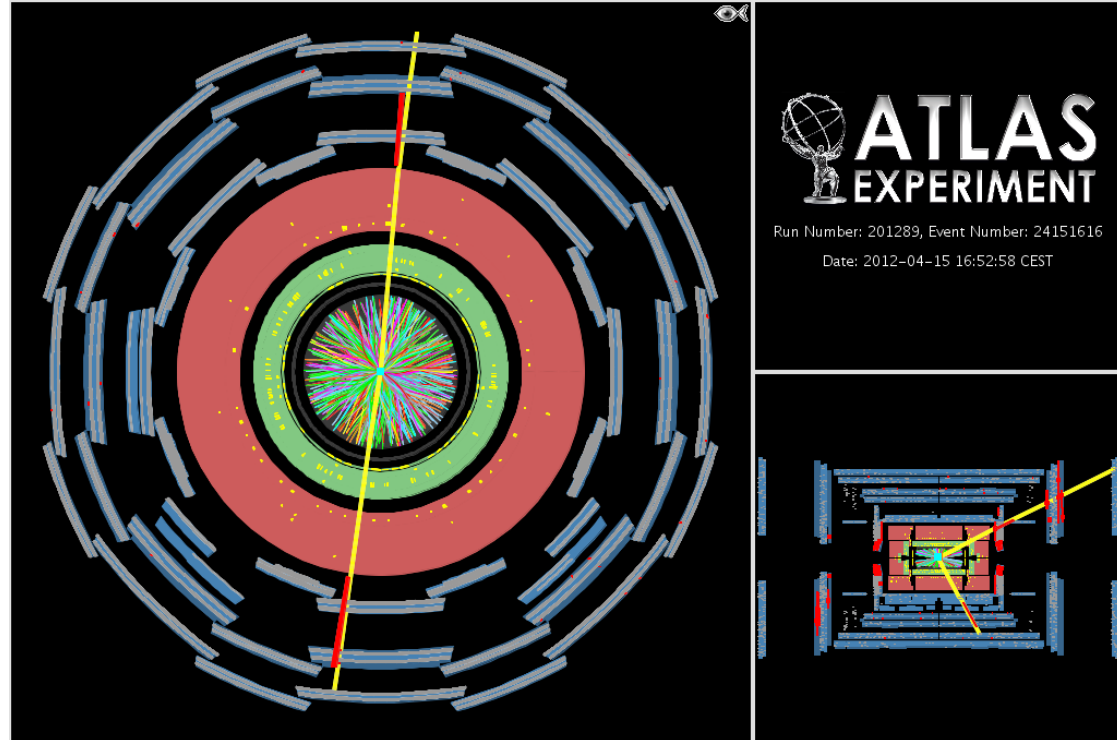
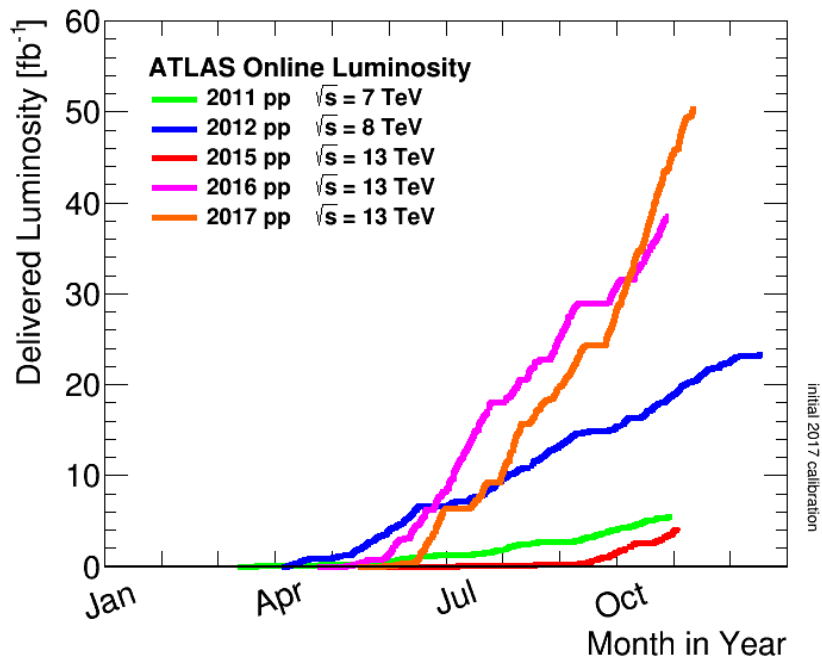
Redécouverte par ATLAS



Accumulation des données



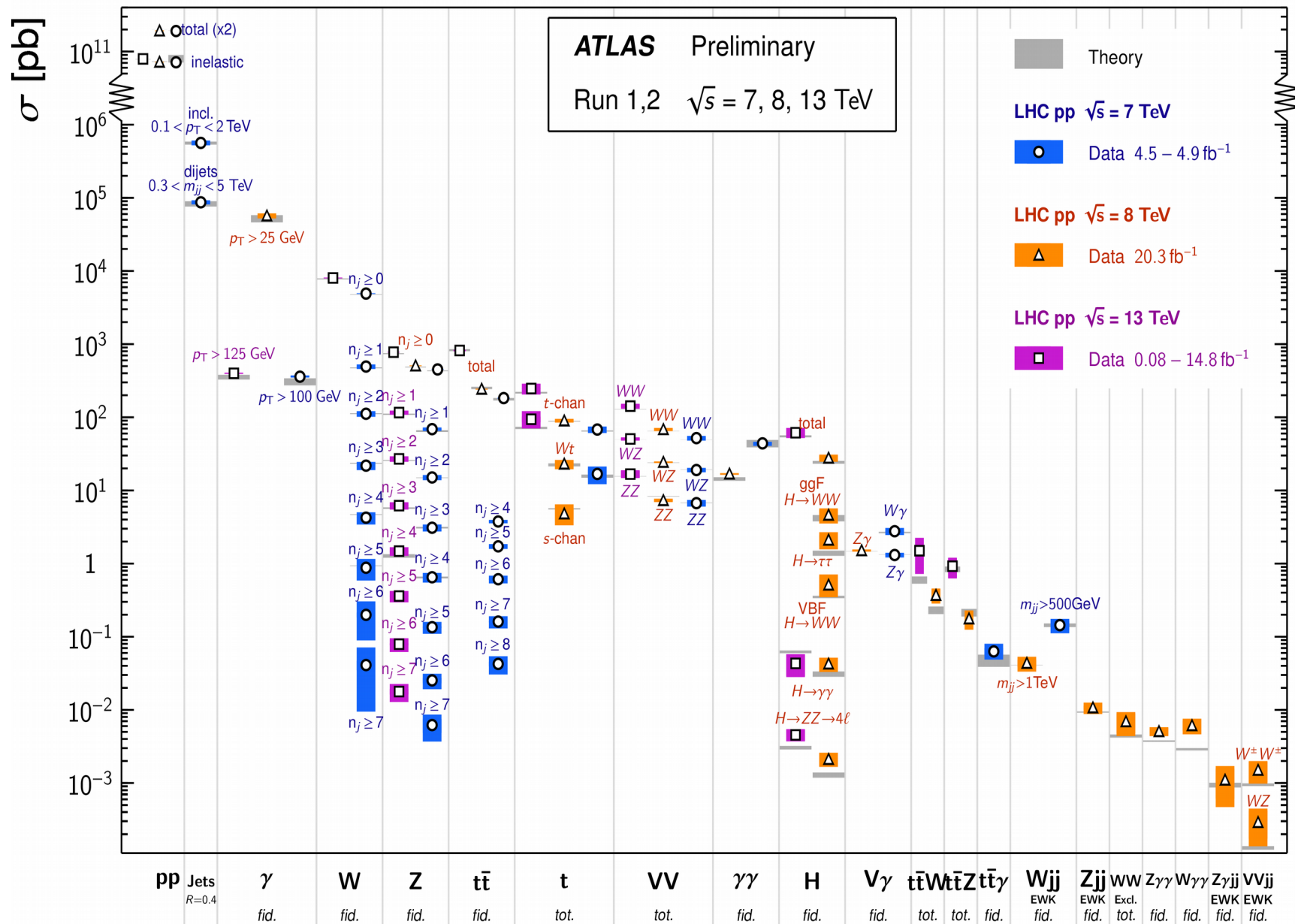
Accumulation des données



Modèle standard : état des lieux

Standard Model Production Cross Section Measurements

Status: March 2017

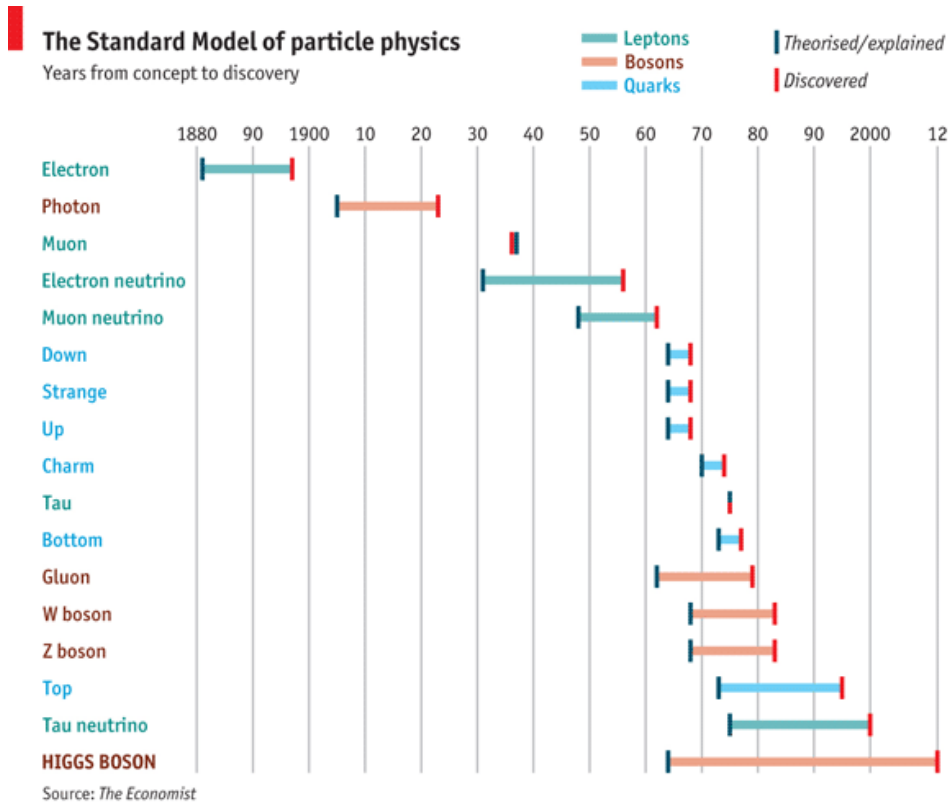


• Très bon accord avec les prédictions théoriques !

Découverte du boson de Higgs annoncée le 4 juillet 2012



Une longue quête



© The Economist

- Modèle standard : énorme succès, sauf que les particules n'ont pas de masse...
- Boson de Higgs : pièce essentielle pour accorder théorie et expérience
- 48 ans entre la prédiction théorique et la découverte expérimentale !
- Pourquoi ? La théorie prédit tout sur le boson de Higgs, sauf sa masse ! Il faut donc chercher partout...

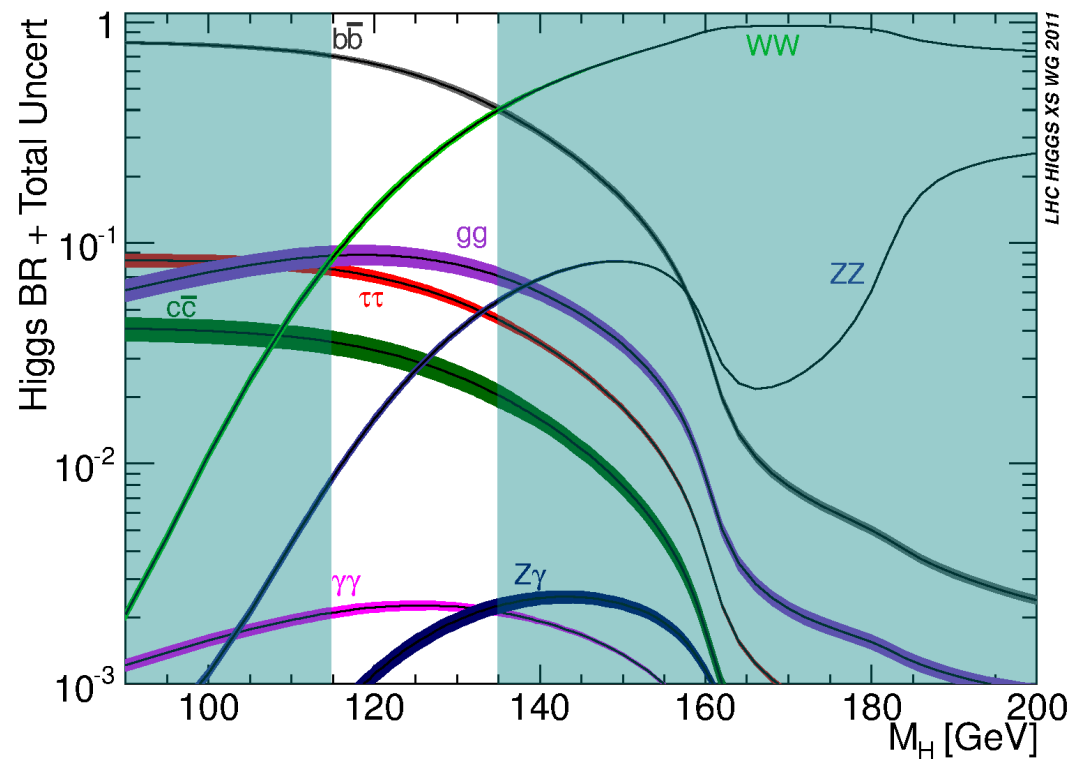
Comment s'y prend-on ?

- Collision de protons $\rightarrow (E = mc^2) \rightarrow$ création d'un boson de Higgs, une fois sur 10 milliards

- Ensuite il se désintègre, différemment suivant sa masse. Exemple à 125 GeV :

- ▶ 58 fois sur 100 en $b\bar{b}$
- ▶ 21 fois sur 100 en WW
- ▶ 3 fois sur 100 en ZZ
- ▶ 2 fois sur 1000 en $\gamma\gamma$

- Note : le plus fréquent n'est pas forcément le plus facile à observer

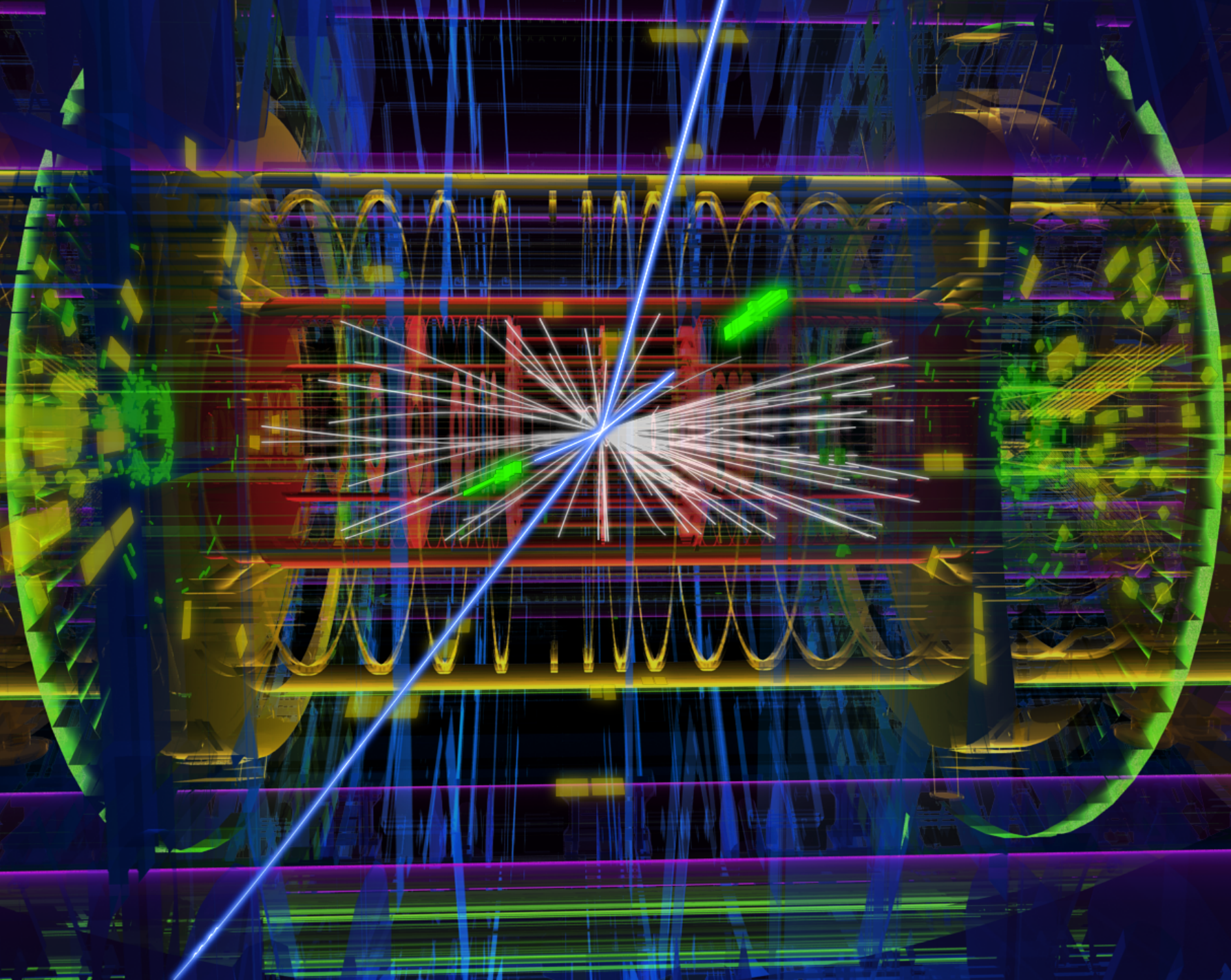


Encore plus dur qu'une aiguille dans une botte de foin

- Le boson de Higgs n'est pas produit très souvent, il faut donc analyser énormément de collisions
- La trace de sa désintégration dans le détecteur peut être imitée par d'autres processus, très difficiles à différencier de ce que l'on cherche
- Une aiguille dans une botte d'aiguilles

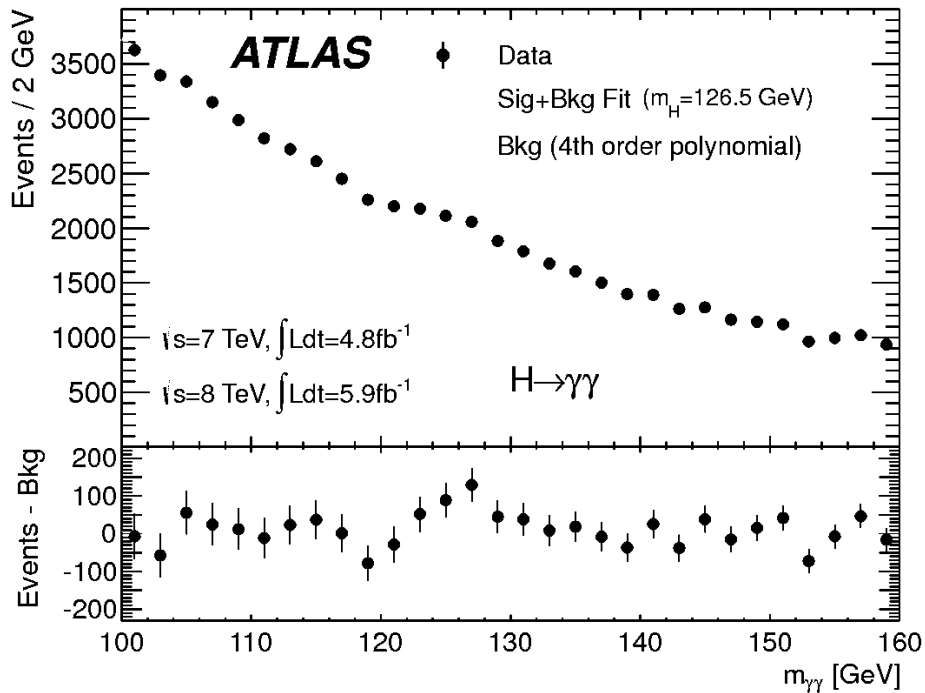


Boson de Higgs dans ATLAS



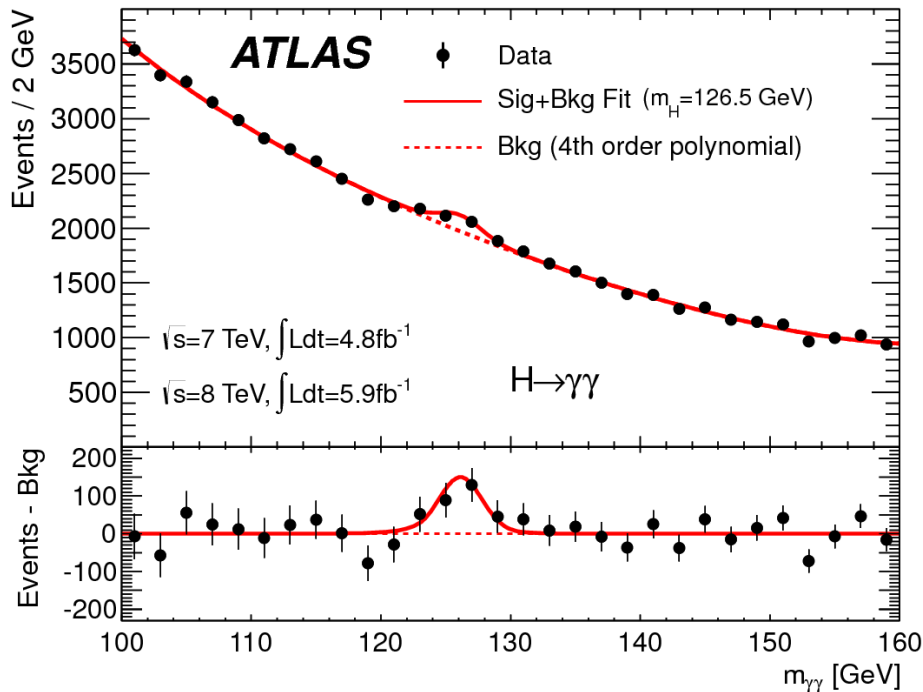
Mesure

- Higgs en 2 photons
 - ▶ Bruit de fond important
 - ▶ Petit pic avec « beaucoup » de signal



Mesure

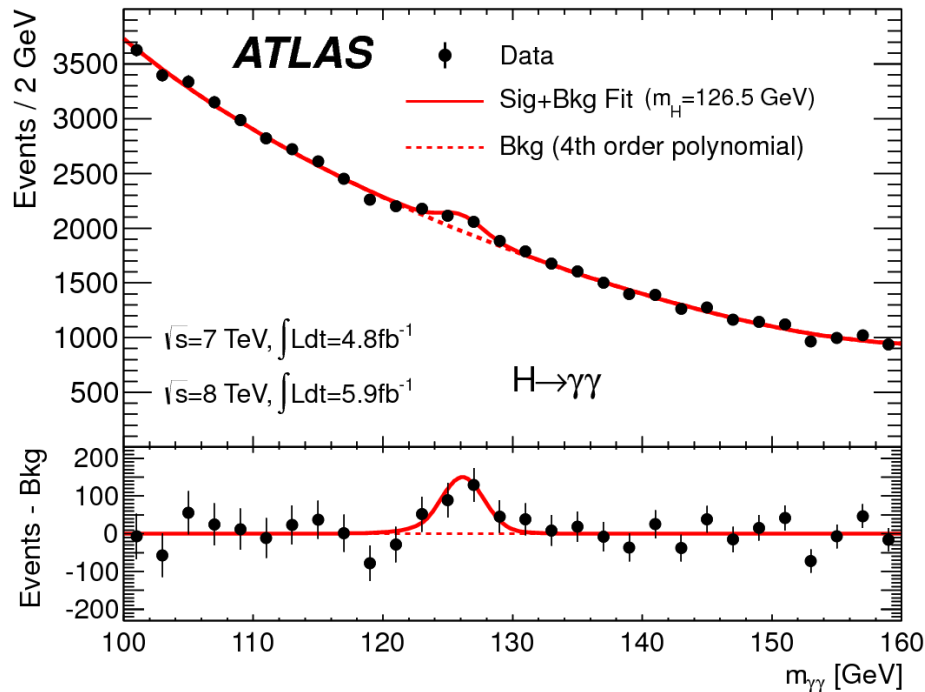
- Higgs en 2 photons
 - ▶ Bruit de fond important
 - ▶ Petit pic avec « beaucoup » de signal



Mesure

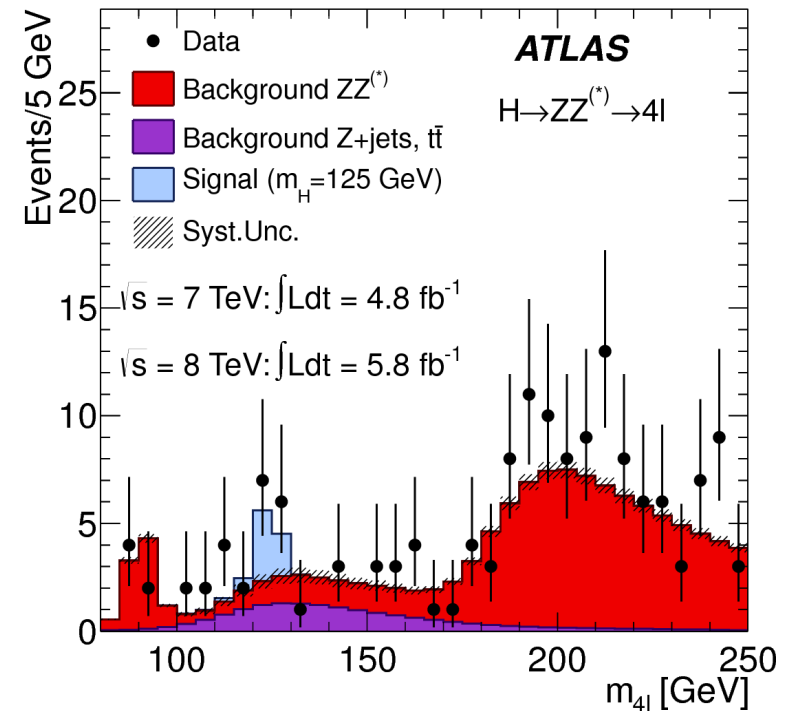
- Higgs en 2 photons

- ▶ Bruit de fond important
- ▶ Petit pic avec « beaucoup » de signal



- Higgs en ZZ

- ▶ Très peu de bruit de fond
- ▶ Très peu d'événements



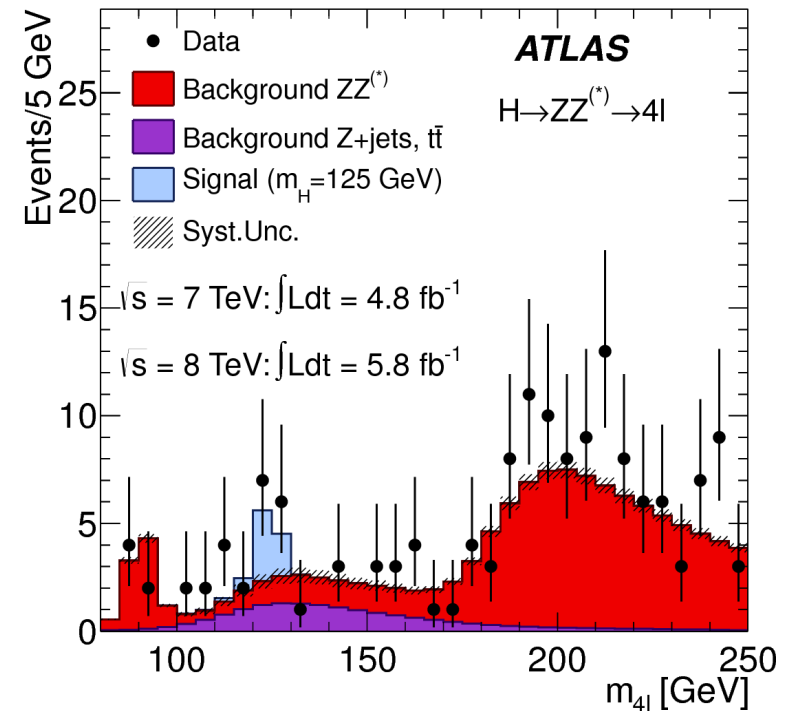
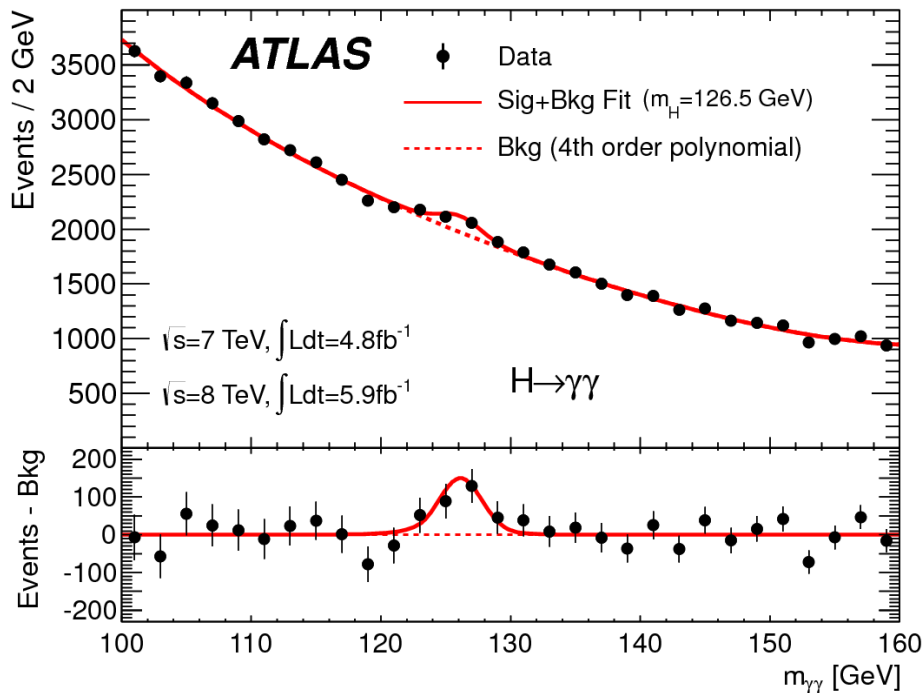
Mesure

- Higgs en 2 photons

- ▶ Bruit de fond important
- ▶ Petit pic avec « beaucoup » de signal

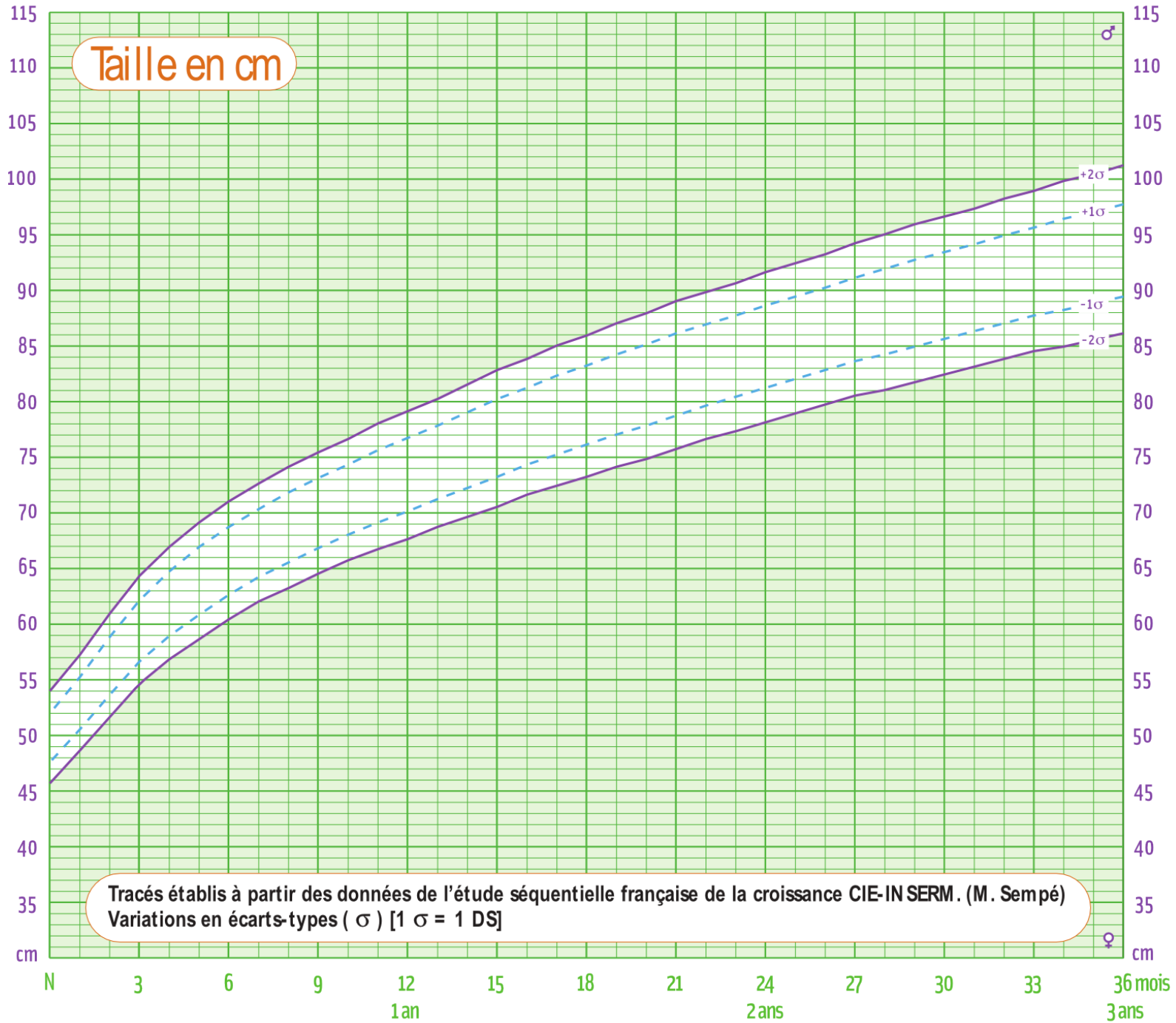
- Higgs en ZZ

- ▶ Très peu de bruit de fond
- ▶ Très peu d'événements

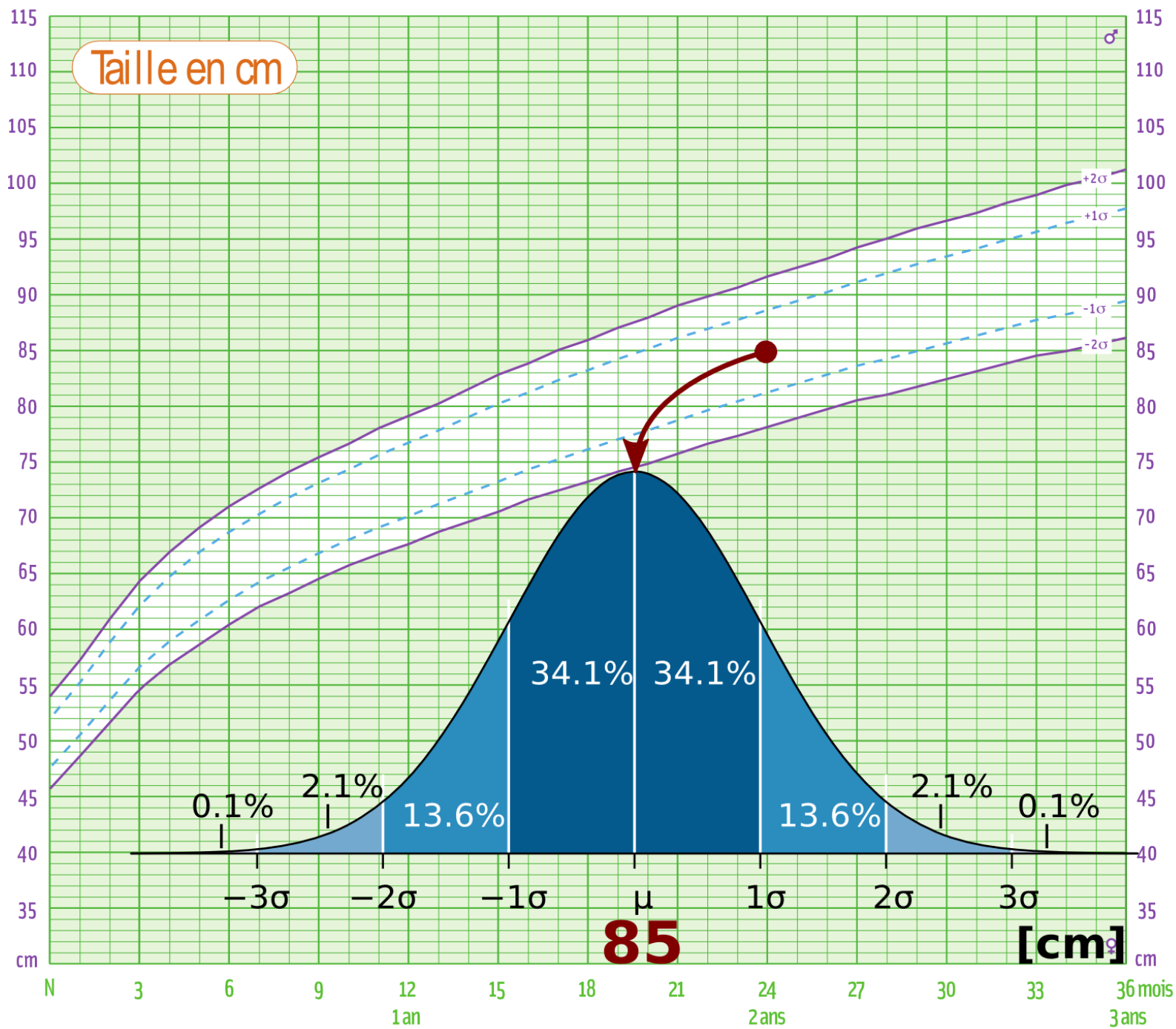


Est-ce que cela est significatif ?
Outils statistiques pour répondre

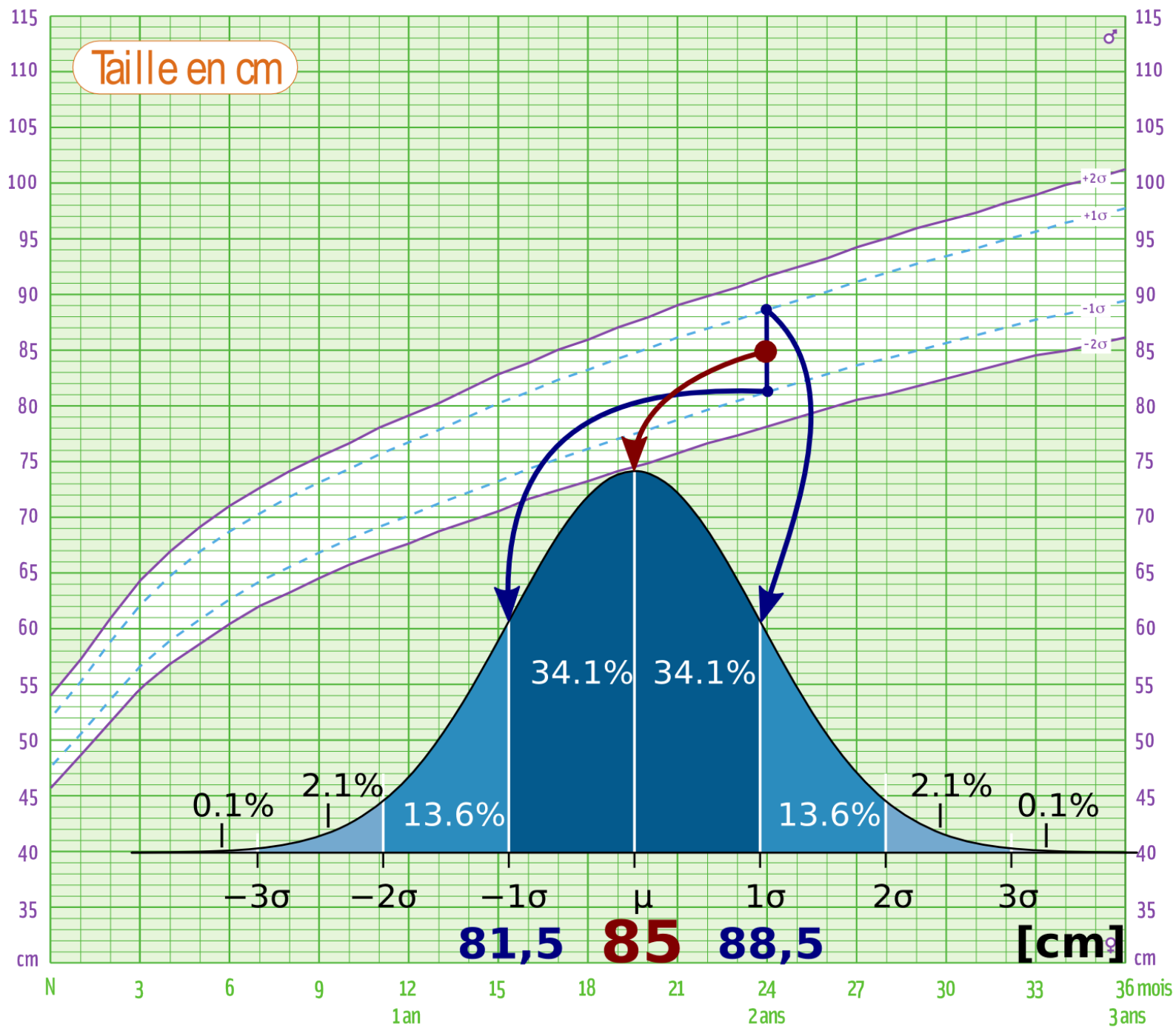
La Gaussienne



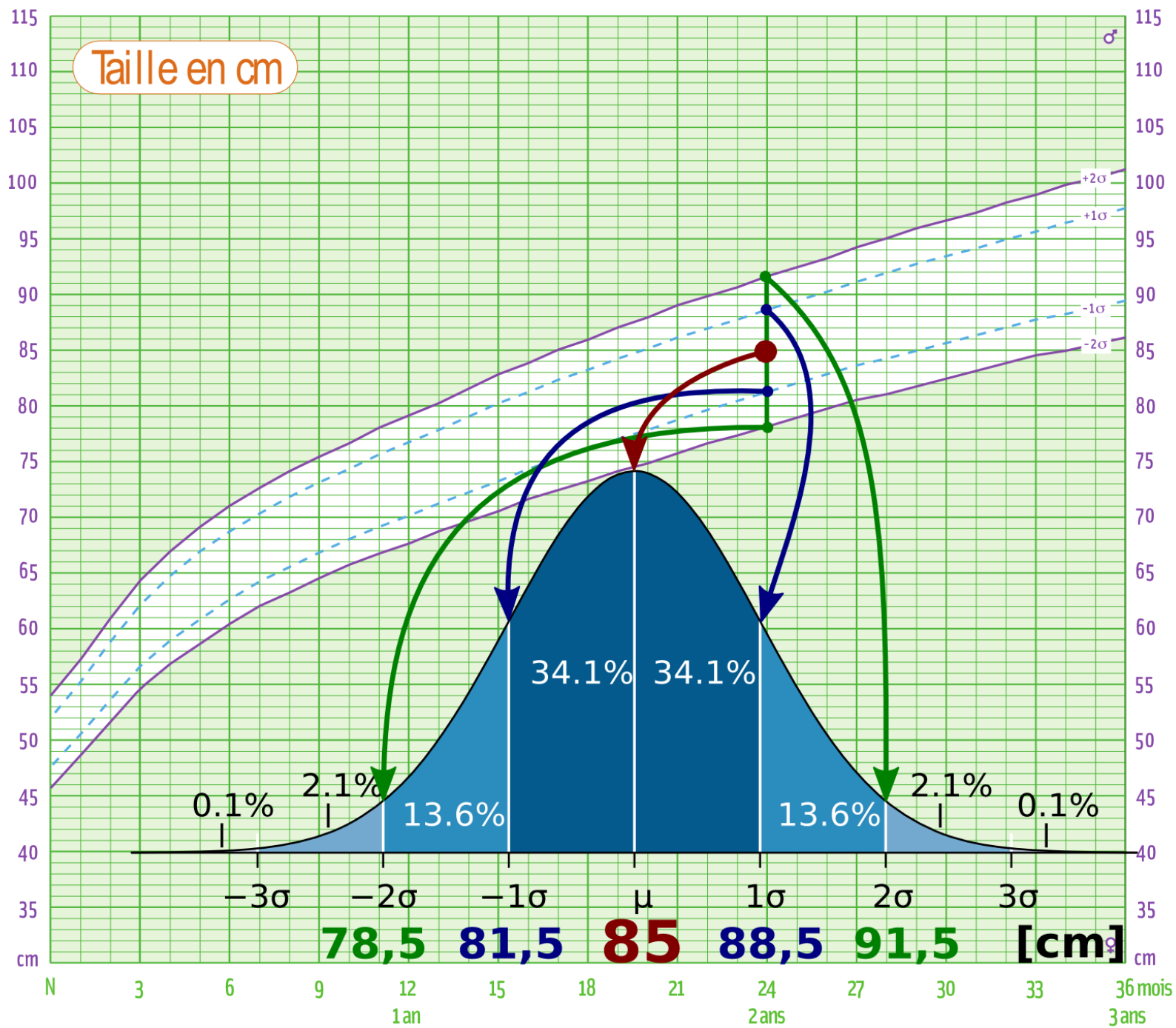
La Gaussienne



La Gaussienne



La Gaussienne



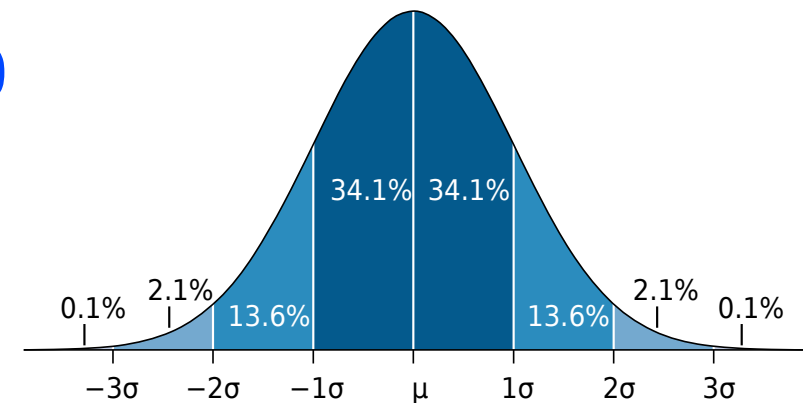
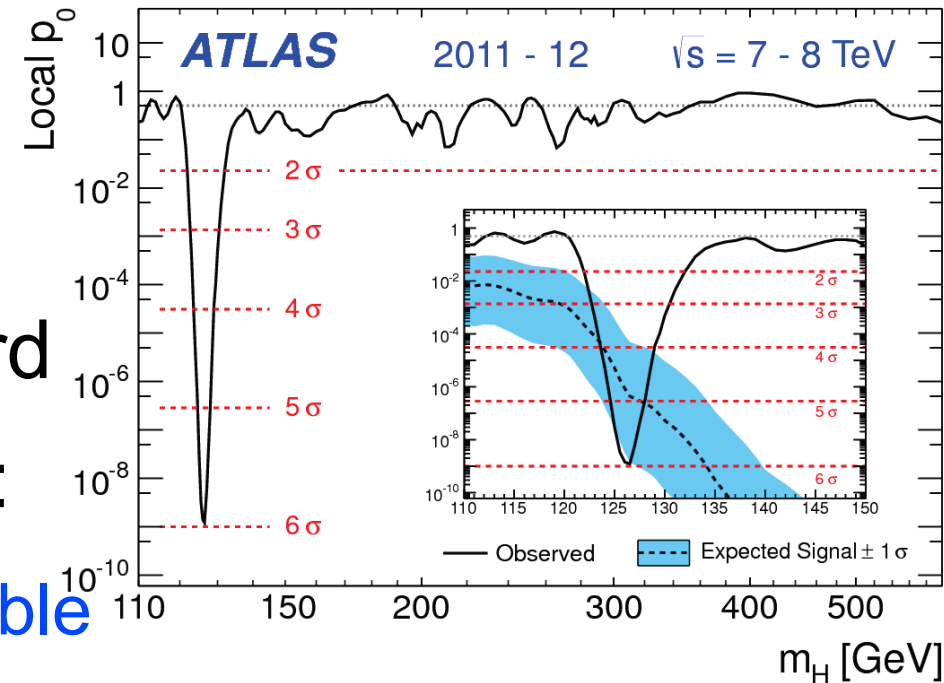
Résultat sur le Higgs : est-ce significatif statistiquement ?

- p-value p_0 : mesure la probabilité que des événements du bruit de fond produisent quelque chose qui ressemble autant au signal recherché par hasard

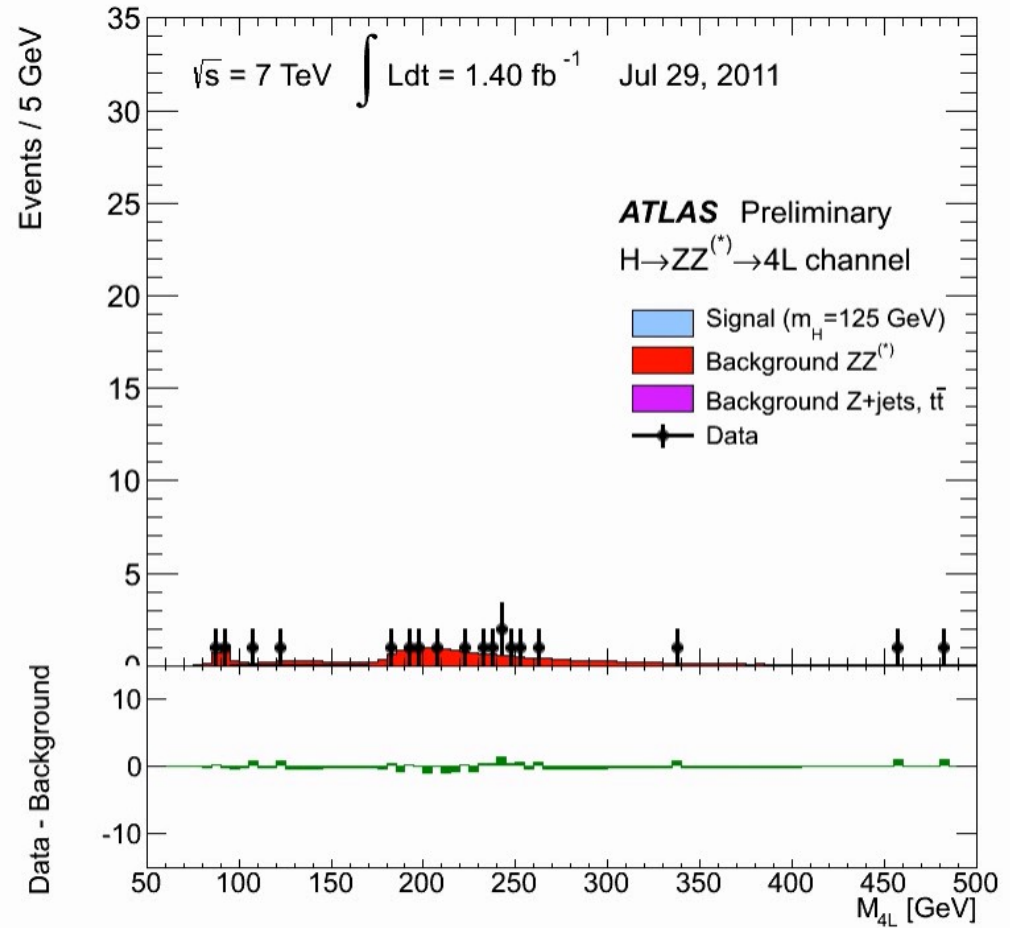
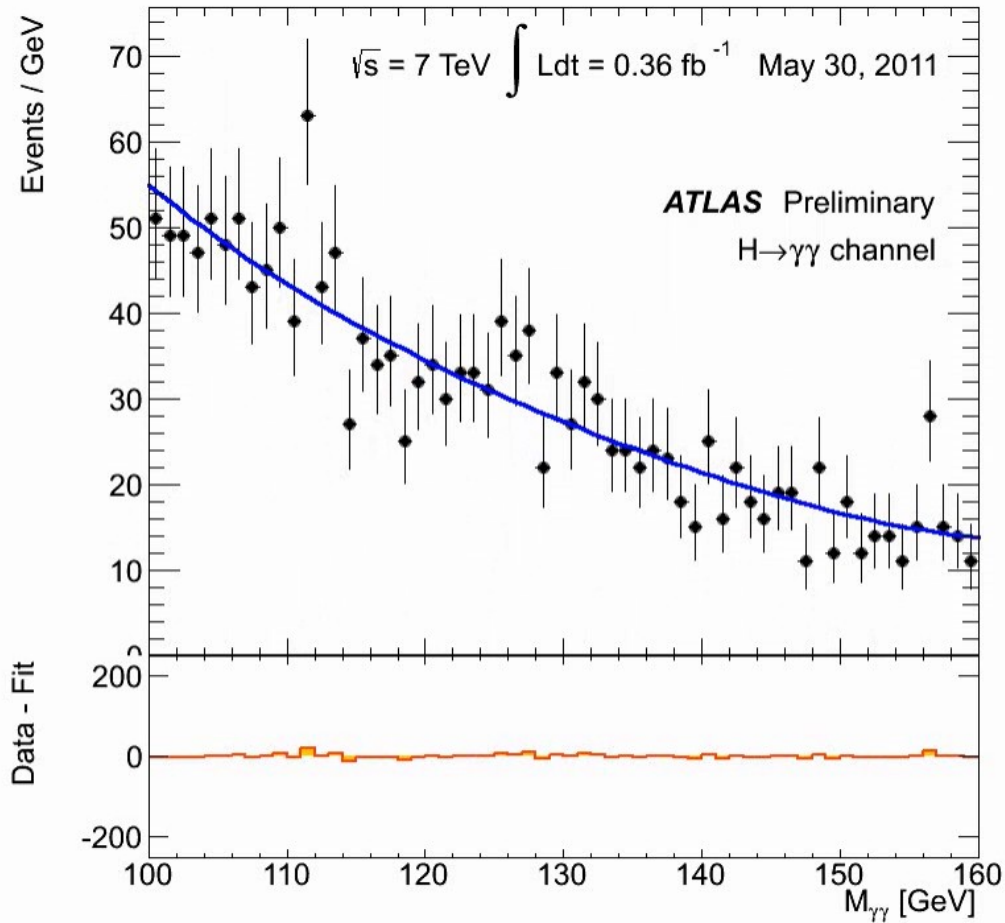
- Quantifié en nombre de « σ » :

- ▶ 1σ : 1 chance sur 3 (trop probable pour conclure quoi que ce soit)
- ▶ 3σ (évidence) : 3 chances sur 1000
- ▶ 5σ (observation) : 1 chance sur 2 millions
- ▶ $5,9\sigma$: 3 chances sur 1 milliard

- Donc nous sommes sûrs d'avoir trouvé quelque chose



Évolution dans le temps (jusqu'à fin 2012)



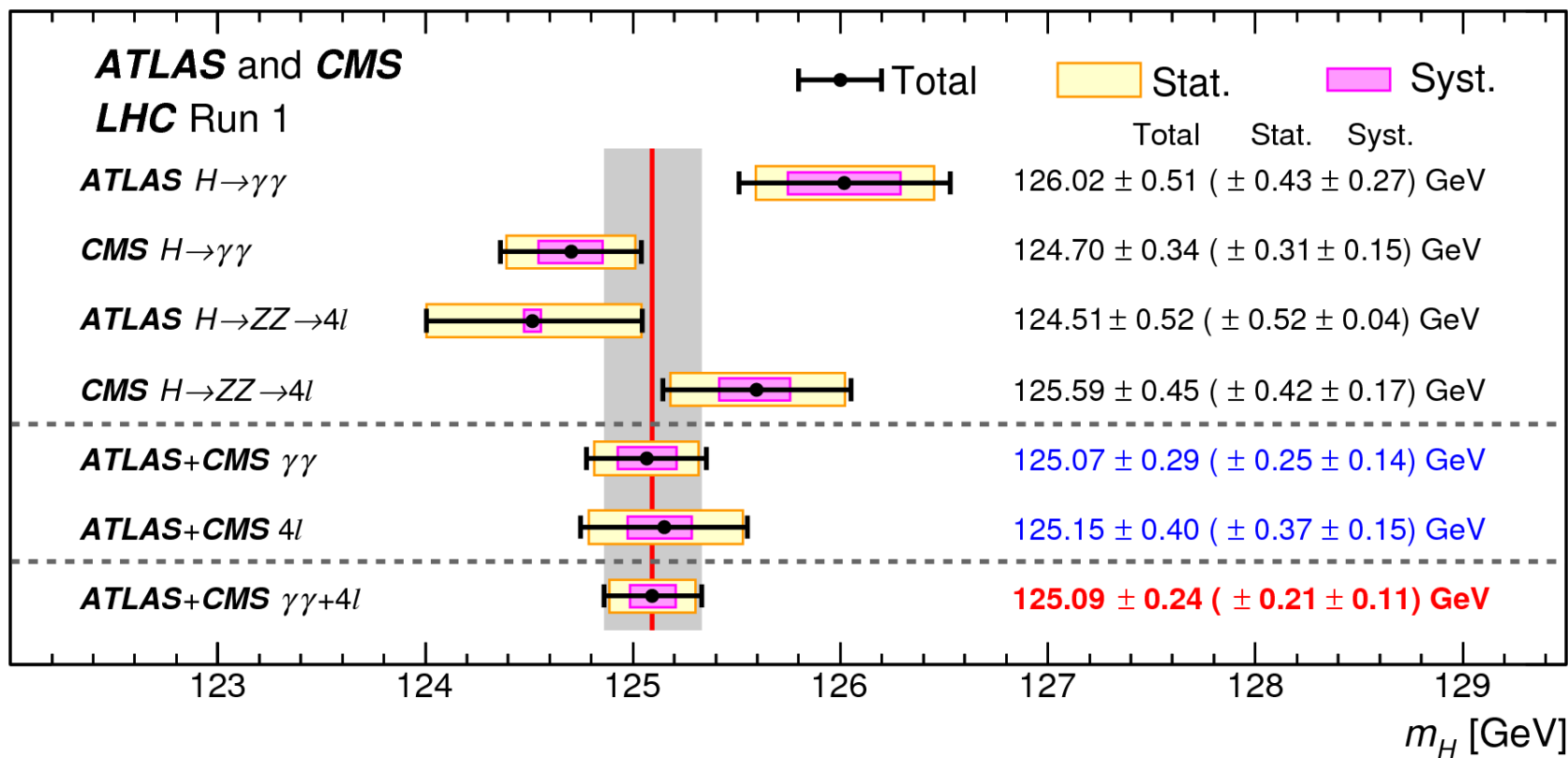
$H \rightarrow \gamma\gamma$

$H \rightarrow ZZ^* \rightarrow 4l$

Est-ce le Higgs du modèle standard ?

- Masse compatible avec les autres mesures du modèle standard :

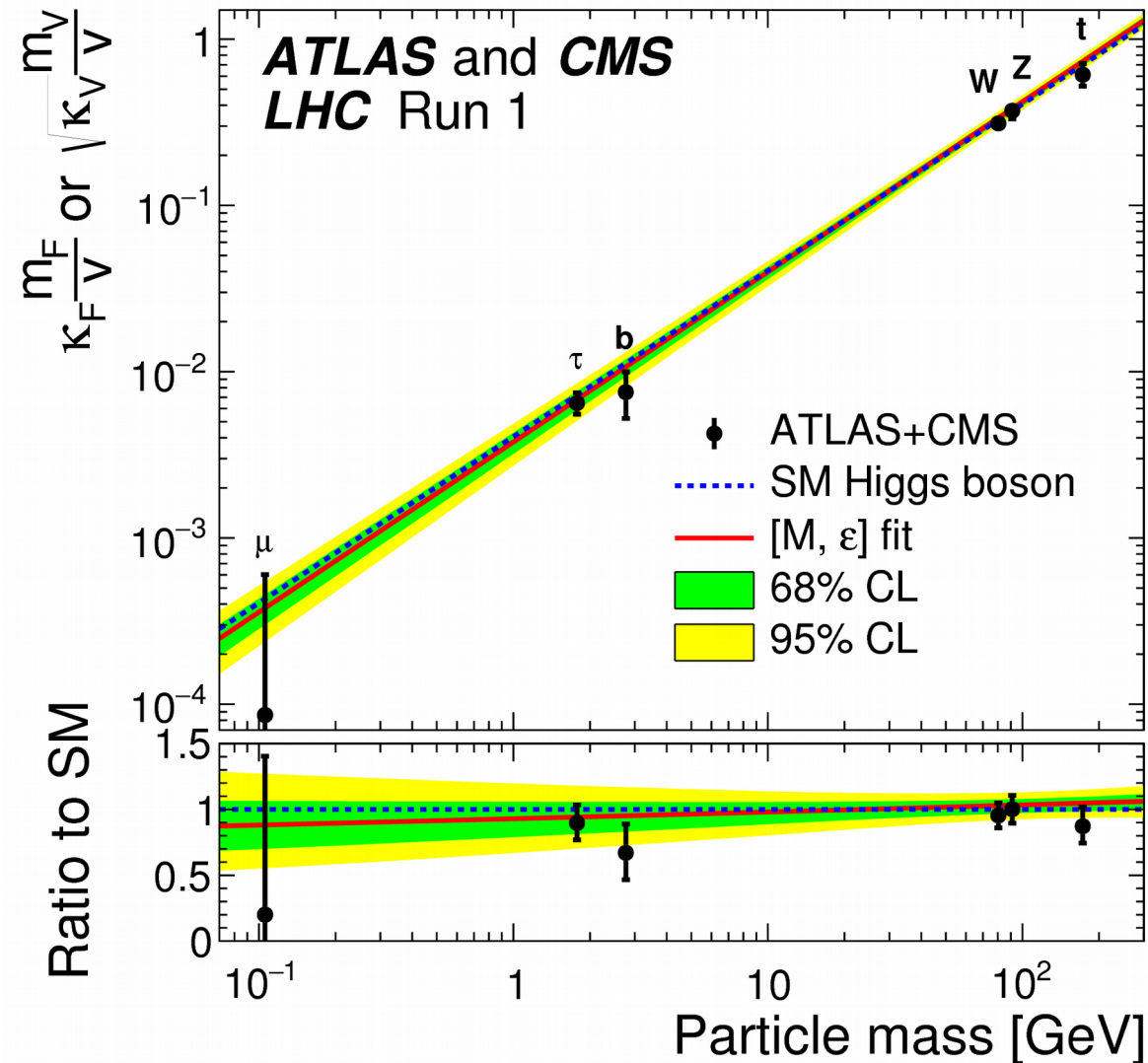
- ▶ $m_H = 125.09 \pm 0.24$ (0.21 stat. \pm 0.11 syst.) GeV
 [ATLAS+CMS, 17 mars 2015]
 (134 fois la masse du proton)



Est-ce le Higgs du modèle standard ?

- Masse compatible avec les autres mesures du modèle standard :
 - ▶ $m_H = 125.09 \pm 0.24$ (0.21 stat. \pm 0.11 syst.) GeV
[ATLAS+CMS, 17 mars 2015]
(134 fois la masse du proton)
- La signification statistique a continué d'augmenter
- Mesures dans d'autres canaux de désintégration
- Nouveaux résultats d'ATLAS et CMS toujours consistants
- Mesure des propriétés :
 - ▶ Canaux divers, modes de production, couplages, spin...
 - ▶ Confirmation du modèle standard...

Masse des particules et couplage au boson de Higgs

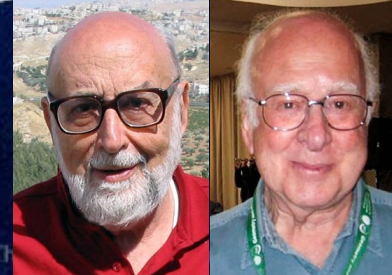


- Relation comme prévue par le modèle standard

Prix Nobel de physique 2013

2013 NOBEL PRIZE IN PHYSICS

François Englert
Peter W. Higgs

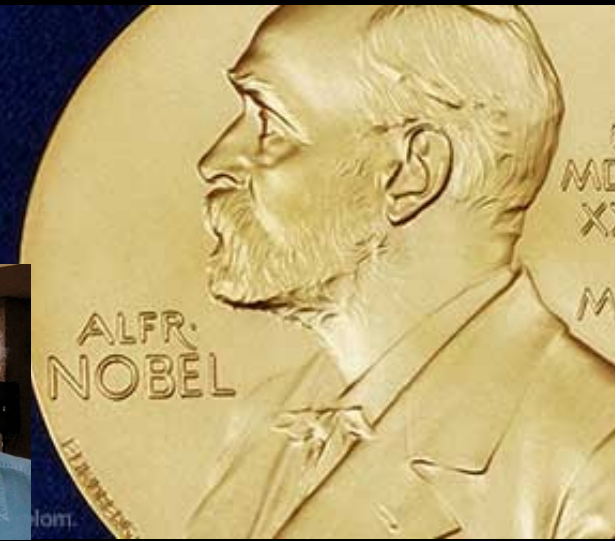
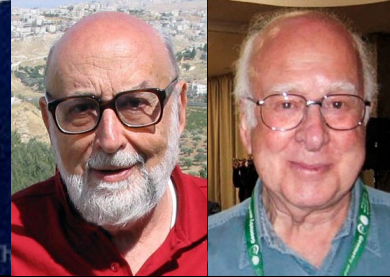


« pour la découverte théorique d'un mécanisme qui nous aide à comprendre l'origine de la masse des particules subatomiques, et qui a été récemment confirmé par la découverte de la particule fondamentale prédite, par les expériences ATLAS et CMS du grand collisionneur de hadrons (LHC) du CERN »

Prix Nobel de physique 2013

2013 NOBEL PRIZE IN PHYSICS

François Englert
Peter W. Higgs

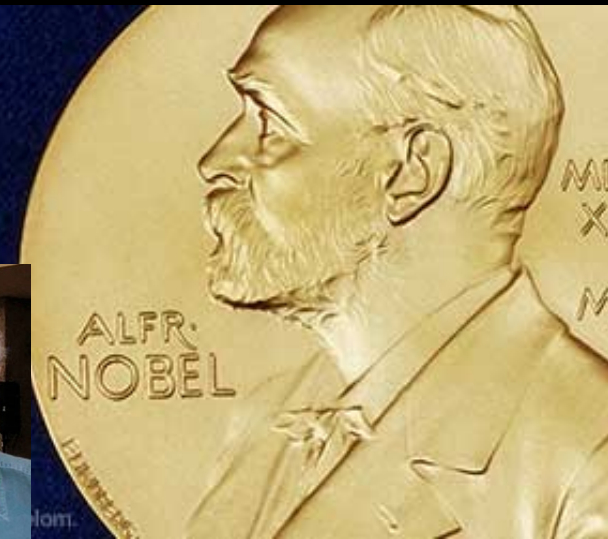
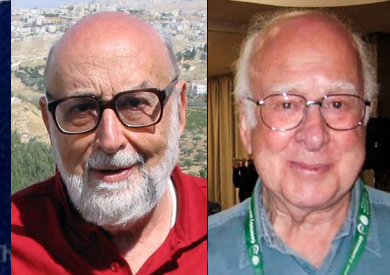


« pour la découverte théorique d'un mécanisme qui nous aide à comprendre l'origine de la masse des particules subatomiques, et qui a été récemment confirmé par la découverte de la particule fondamentale prédite, par les expériences ATLAS et CMS du grand collisionneur de hadrons (LHC) du CERN »

Prix Nobel de physique 2013

2013 NOBEL PRIZE IN PHYSICS

François Englert
Peter W. Higgs



« pour la découverte théorique d'un mécanisme qui nous aide à comprendre l'origine de la masse des particules subatomiques, et qui a été récemment confirmé par la découverte de la particule fondamentale prédite, par les expériences ATLAS et CMS du grand collisionneur de hadrons (LHC) du CERN »



Le CERN et les expériences ATLAS & CMS

Et maintenant ?

Quelques prédictions « intéressantes » :

- Lord Kelvin en 1900 (British Association for the advancement of Science) :
 - ▶ « There is nothing new to be discovered in physics now. All that remains is more and more precise measurement. »
 - Oups, il manquait « juste » la physique quantique et les relativités restreinte et générale
- Charles de Gaulle, vœux pour l'année 1968 (31/12/1967, six mois avant mai 68) :
 - ▶ « L'avenir n'appartient pas aux hommes et je ne le prédis pas. Pourtant en considérant la façon dont les choses se présentent, c'est vraiment avec confiance que j'envisage pour les 12 prochains mois, l'existence de notre pays »

C'est tout ?

Nous et l'Univers visible

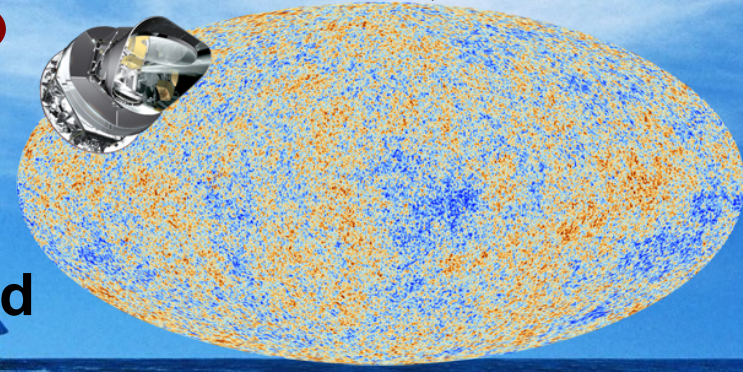


Modèle standard

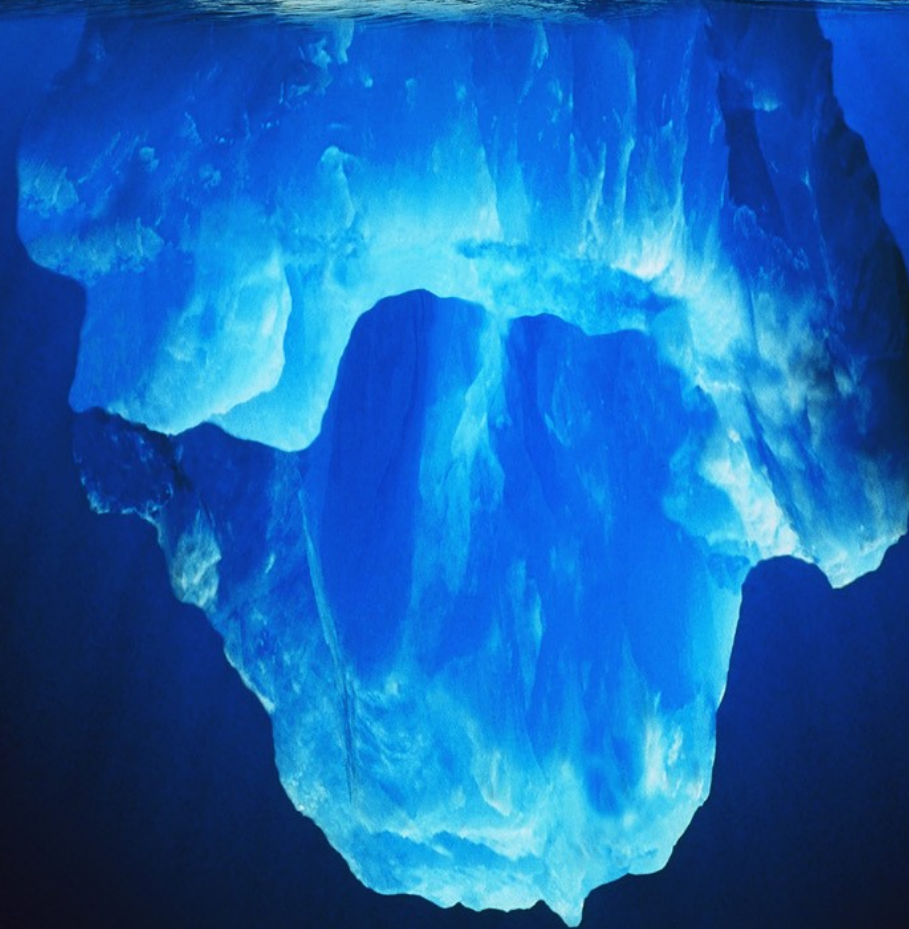


Planck, mars 2013

C'est tout ?

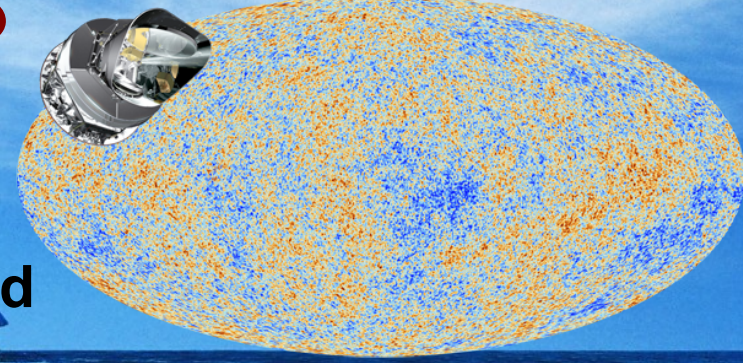


5% Modèle standard



Nous et l'Univers visible

C'est tout ?



Nous et l'Univers visible

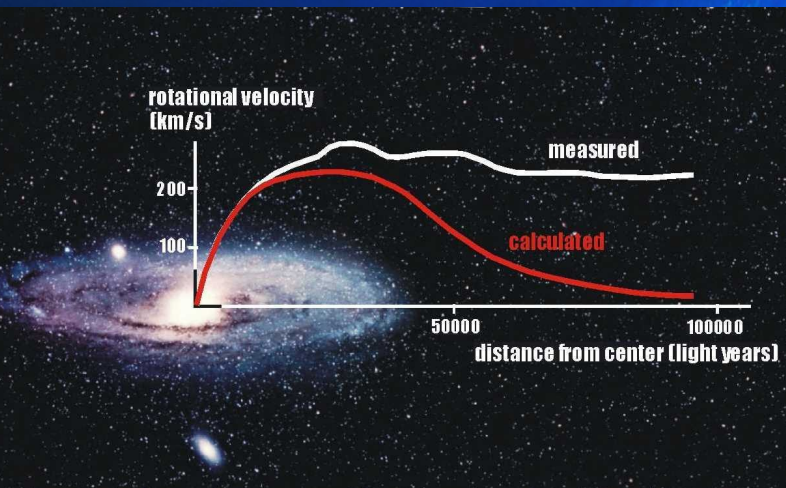


5% Modèle standard

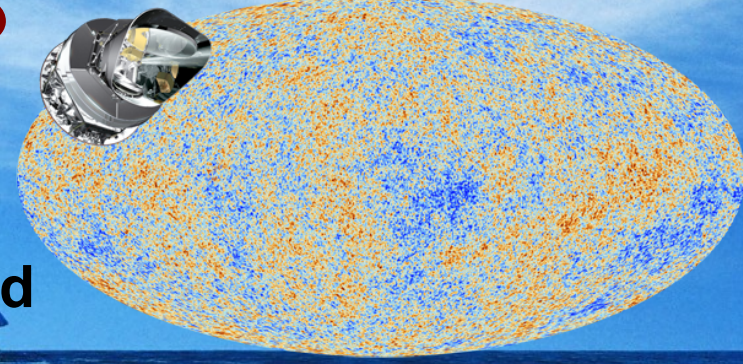
27% Matière noire



- On ne sait pas ce que c'est mais on croit savoir que c'est là
- Candidats observables au LHC (supersymétrie, ...) ?



C'est tout ?



Nous et l'Univers visible

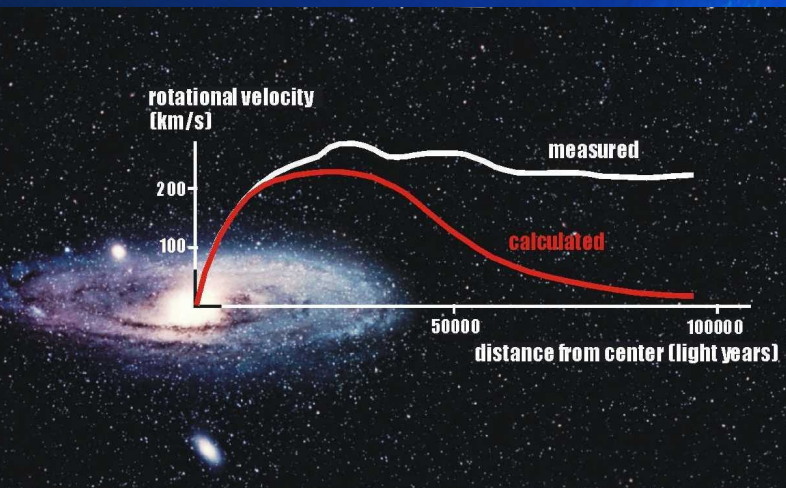


5% Modèle standard

27% Matière noire



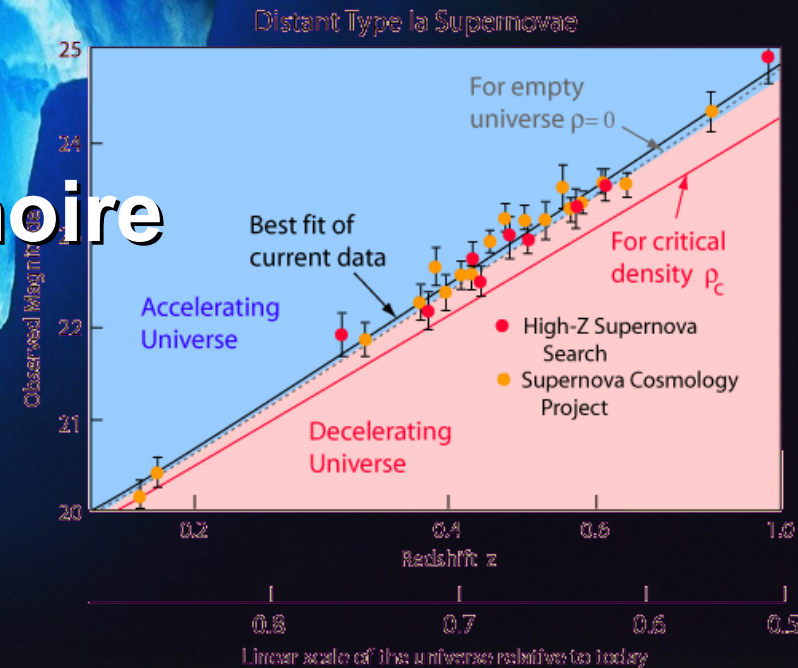
- On ne sait pas ce que c'est mais on croit savoir que c'est là
- Candidats observables au LHC (supersymétrie, ...) ?



68% Énergie noire

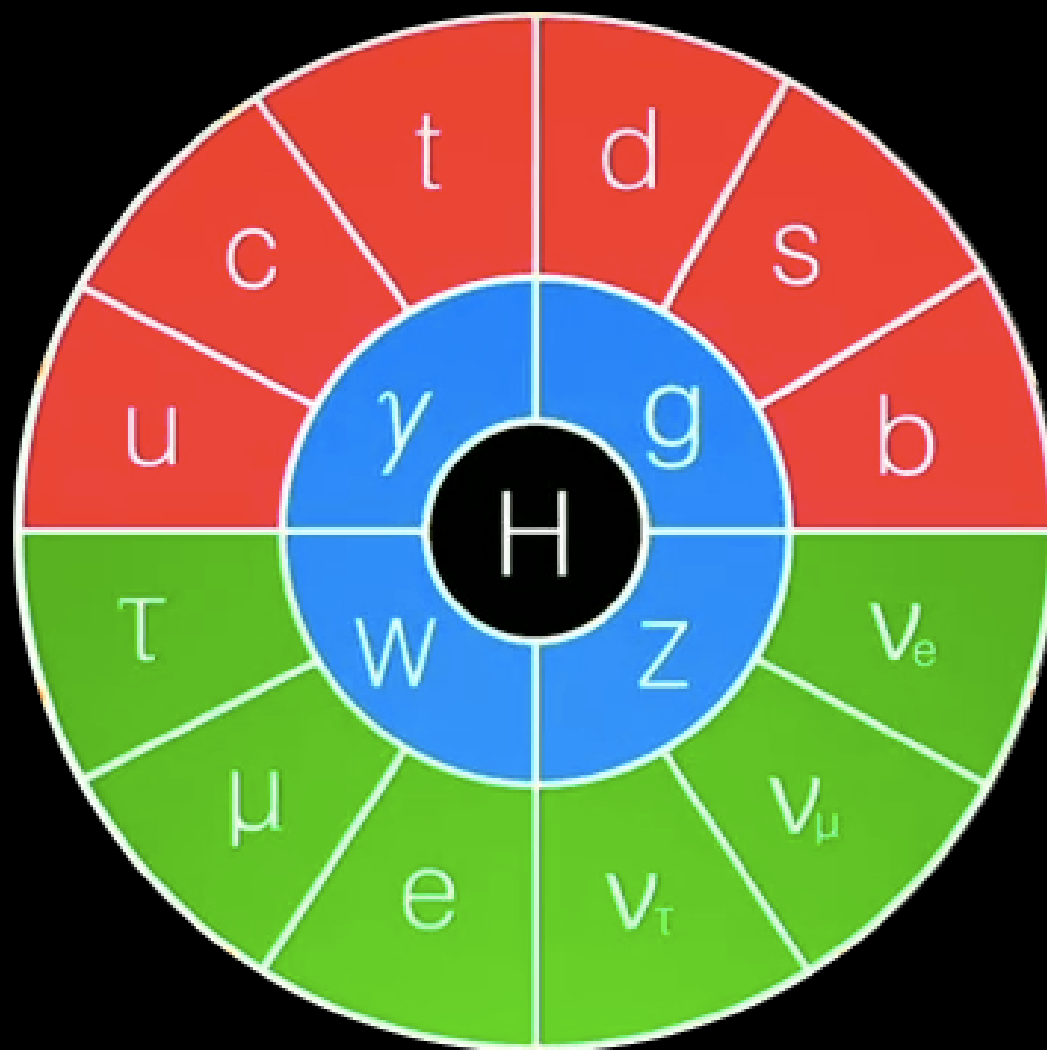


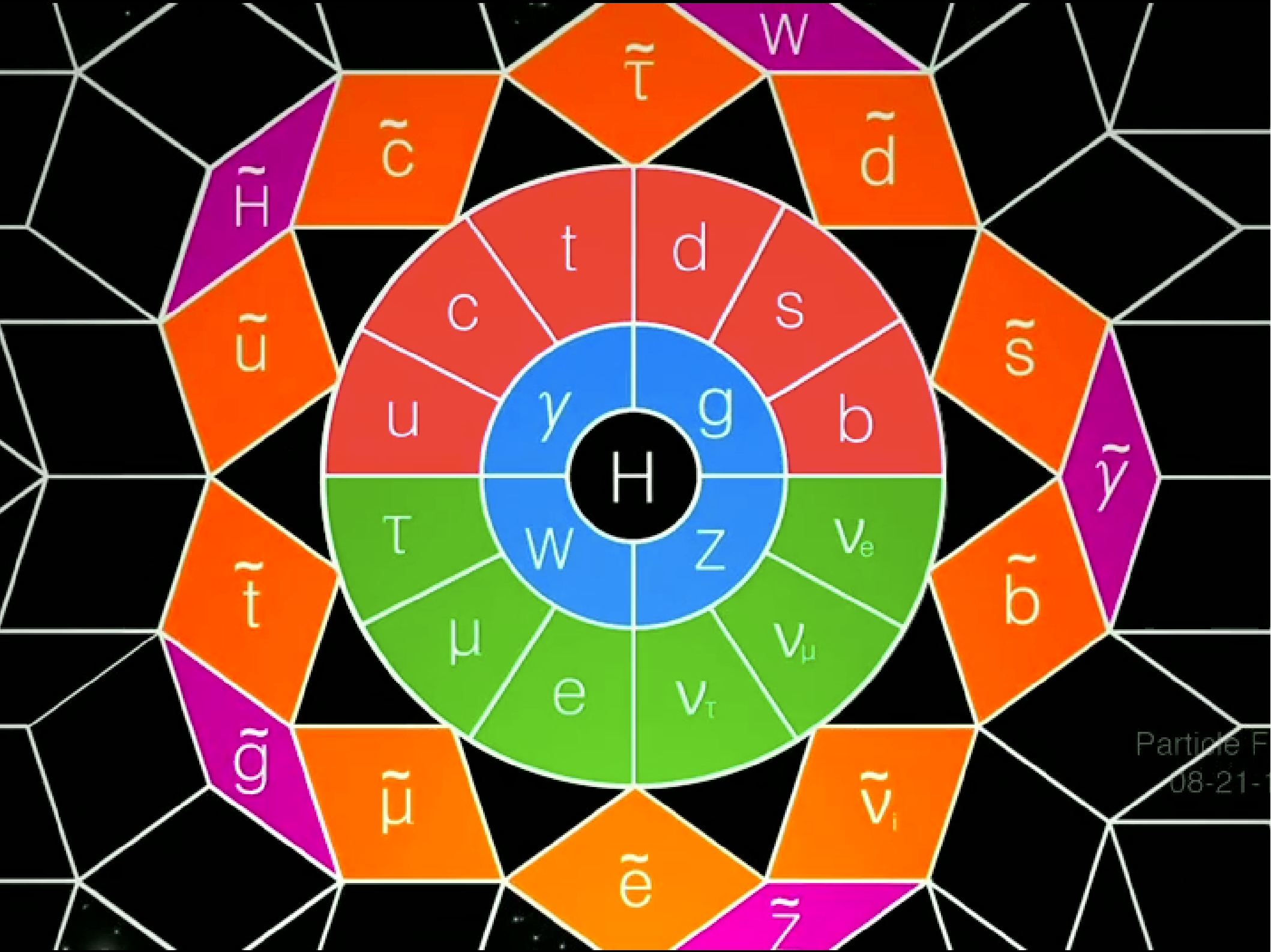
Pas la moindre idée de son origine !



Autres théories

- Le modèle standard n'explique pas tout :
 - ▶ Pourquoi trois familles ?
 - ▶ Pourquoi les particules élémentaires ont des masses si différentes ?
 - ▶ Que sont la matière noire et l'énergie noire ?
 - ▶ Pourquoi l'antimatière a presque disparu ?
- Les théoriciens ne manquent pas d'idées pour le compléter
- Beaucoup de modèles font des prédictions que l'on peut tester au LHC
- Supersymétrie, modèles exotiques, dimensions supplémentaires d'espace, ...
 - ▶ Prédiction de nouvelles particules, ou d'effets sur les phénomènes déjà connus
- Besoin de mesures expérimentales pour orienter les théoriciens

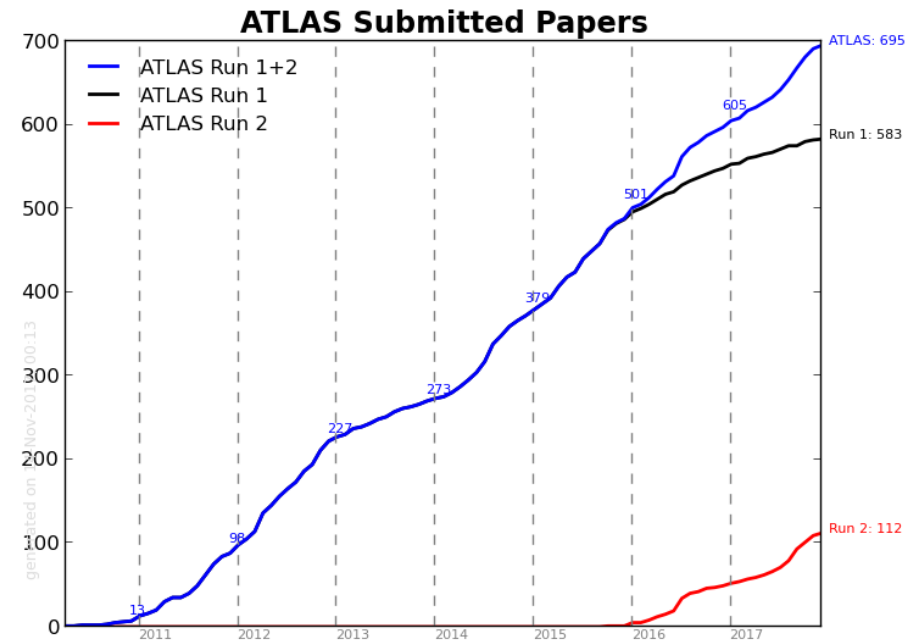




Particle F
08-21-

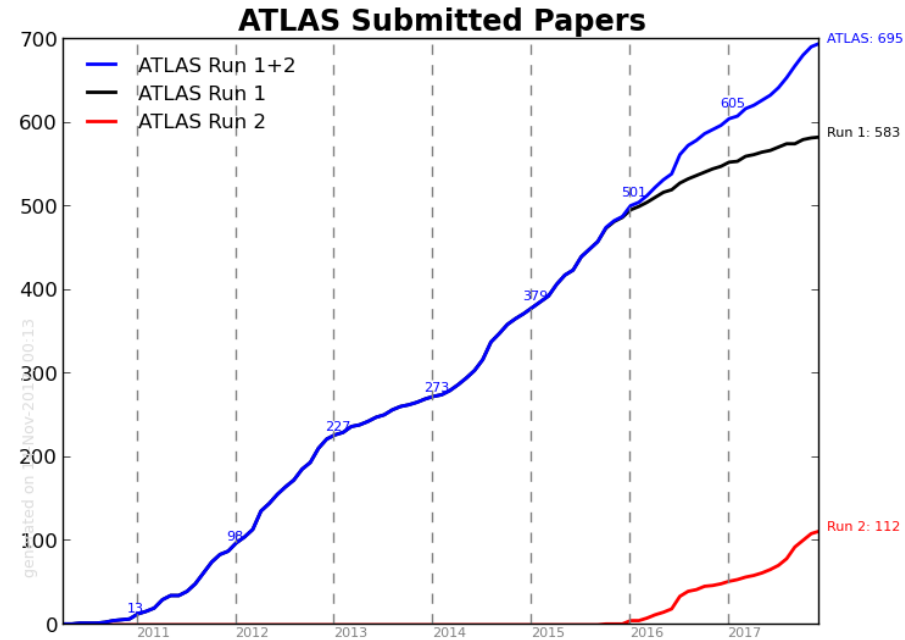
Publications

- ATLAS :
 - ▶ ~700 publications
 - ▶ > 880 notes de conférence
- CMS : similaire
- LHCb :
 - ▶ ~400 publications
- ALICE :
 - ▶ ~200 publications



Publications

- ATLAS :
 - ▶ ~700 publications
 - ▶ > 880 notes de conférence
- CMS : similaire
- LHCb :
 - ▶ ~400 publications
- ALICE :
 - ▶ ~200 publications



**Toutes les publications du LHC
sont accessibles gratuitement
par tous**

**Forte pression du CERN sur les journaux :
Open Access**

Lien entre l'infiniment grand et l'infiniment petit

- Lien entre le boson de Higgs et l'inflation ?
- Lien avec la masse des neutrinos ?



Lien entre l'infiniment grand et l'infiniment petit

- Lien entre le boson de Higgs et l'inflation ?
- Lien avec la masse des neutrinos ?

LHC Saison 2 :

- Étude des propriétés du boson observé
 - ▶ Déviations du modèle standard ?
- Recherche d'autres bosons de Higgs
 - ▶ Signe de nouvelle physique ?

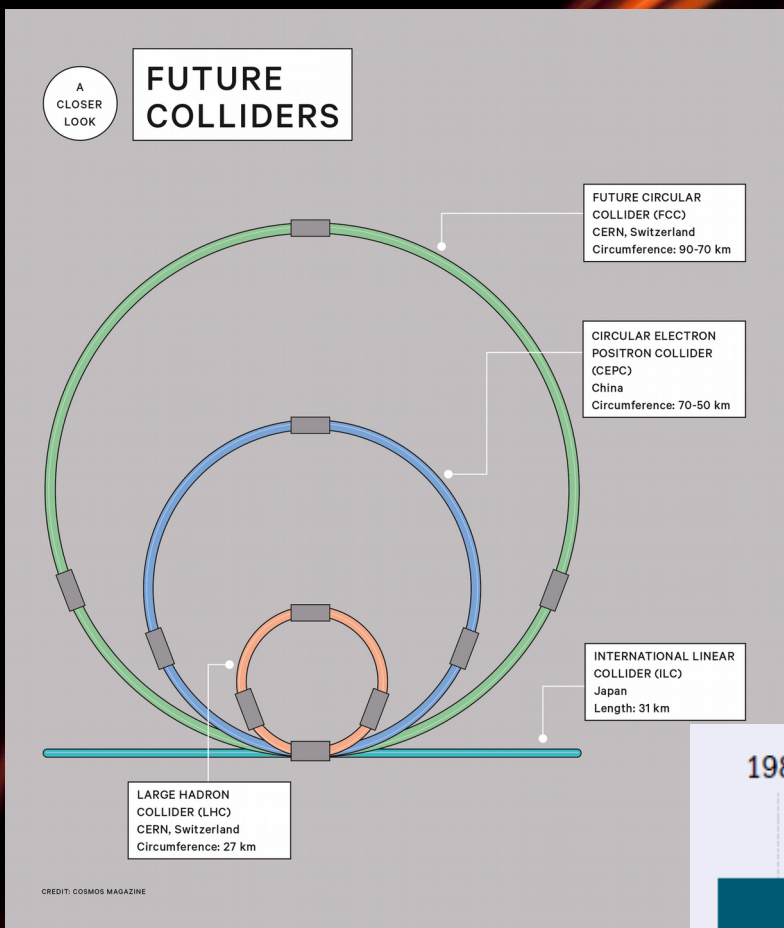
Lien entre l'infiniment grand et l'infiniment petit

- Lien entre le boson de Higgs et l'inflation ?
- Lien avec la masse des neutrinos ?

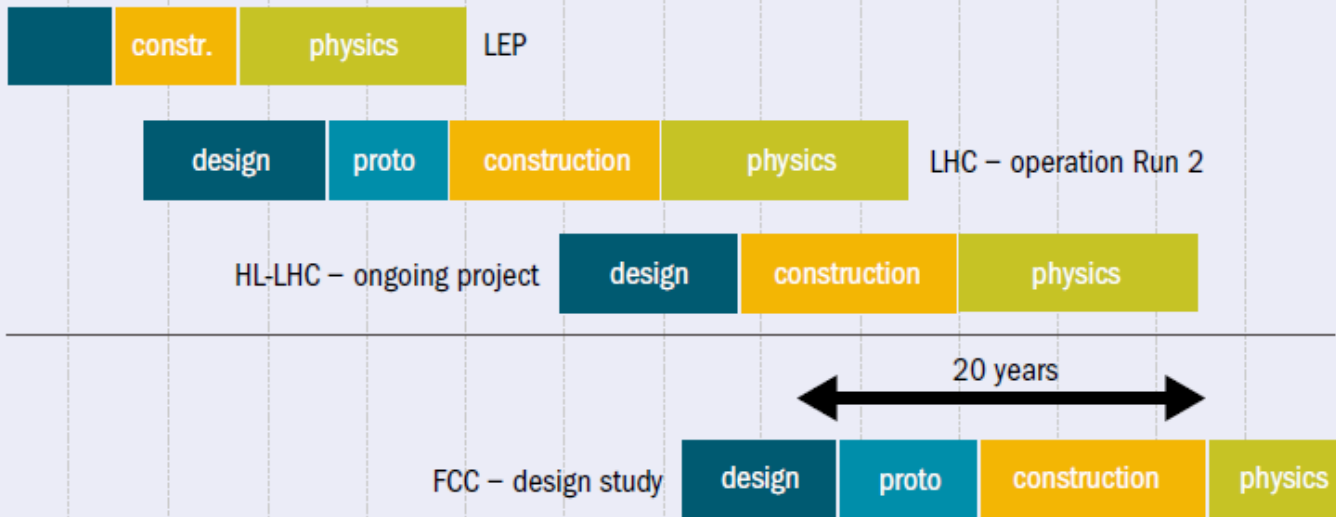
LHC Saison 2 :

- Étude des propriétés du boson observé
 - Déviations du modèle standard ?
- Recherche d'autres bosons de Higgs
 - Signe de nouvelle physique ?
- Recherche de candidats pour expliquer la matière noire
- Asymétrie matière-antimatière
- On espère des surprises !

Et après ?



1980 1985 1990 1995 2000 2005 2010 2015 2020 2025 2030 2035 2040



Liens



<http://atlasathome.cern.ch>

ATLAS grand public



atlas.ch

ATLAS en direct

atlas-live.cern.ch

ATLAS sur



twitter.com/ATLASexperiment

ATLAS sur



www.facebook.com/ATLASexperiment

ATLAS sur



www.google.com/+ATLASexperiment

ATLAS sur



www.youtube.com/theATLASExperiment

Site français du



www.lhc-france.fr

Le CPPM



www.cppm.in2p3.fr

Le CERN



cern.ch

Le CERN sur



twitter.com/cern

Le CERN sur

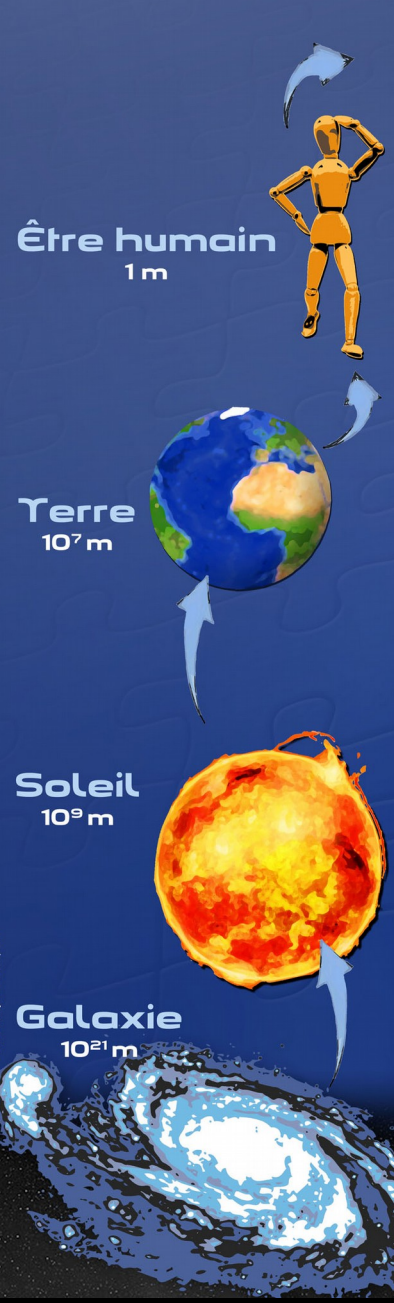


www.facebook.com/cern

Affiche Modèle Standard

www.particuleselementaires.fr

Composants élémentaires de la matière



	LEPTONS		QUARKS		BOSON de HIGGS H
1^{re} famille Constituants de la matière usuelle	ν_e neutrino électron $t = \infty$ $Q = 0$ $m < 2 \cdot 10^{-36}$ GeV/c ²	e électron $t = \infty$ $Q = -e$ $m = 0,00051$ GeV/c ²	u haut / up $t = \infty$ $Q = 2e/3$ $m = 0,002$ GeV/c ²	d bas / down $t = 15$ min $Q = -e/3$ $m = 0,005$ GeV/c ²	$t = 1,6 \cdot 10^{-12}$ s $Q = 0$ $m = 125$ GeV/c ² Le boson de Higgs est la manifestation du champ de Higgs. Par son interaction avec les constituants élémentaires de la matière, ce champ est responsable de leur masse. Il provoque aussi la séparation entre interactions électromagnétique et faible.
2^e famille Réplique plus massive de la 1 ^{re} famille	ν_μ neutrino muon $t = \infty$ $Q = 0$ $m < 2 \cdot 10^{-36}$ GeV/c ²	μ muon $t = 2,2 \cdot 10^{-6}$ s $Q = -e$ $m = 0,106$ GeV/c ²	c charme / charm $t = 10^{-12}$ s $Q = 2e/3$ $m = 1,3$ GeV/c ²	s étrange / strange $t = 10^{-10}$ s $Q = -e/3$ $m = 0,1$ GeV/c ²	
3^e famille Réplique plus massive des 1 ^{re} et 2 ^e familles	ν_τ neutrino tau $t = \infty$ $Q = 0$ $m < 2 \cdot 10^{-36}$ GeV/c ²	τ tau $t = 2,9 \cdot 10^{-13}$ s $Q = -e$ $m = 1,78$ GeV/c ²	t top $t = 3 \cdot 10^{-25}$ s $Q = 2e/3$ $m = 173$ GeV/c ²	b beau / beauty / bottom $t = 1,5 \cdot 10^{-12}$ s $Q = -e/3$ $m = 4,2$ GeV/c ²	



INTERACTIONS FONDAMENTALES

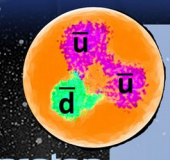
Portée	Interaction
10^{-17} m	Interaction faible
infinie	Interaction électromagnétique
10^{-15} m	Interaction forte
infinie	Gravitation

Bosons Z, W^\pm	Désintégrations radioactives β^+ et β^- de certains noyaux instables
Photon γ	Electricité, magnétisme, cohésion des atomes et des molécules, chimie
Gluons g	Cohésion des protons, des neutrons et des noyaux, énergie nucléaire
Graviton (?)	Gravité, pesanteur, système solaire, galaxies

Chaque interaction fondamentale est transmise par des **particules** qui lui sont associées

Chacune des quatre interactions fondamentales joue un rôle dans le fonctionnement des étoiles qui peuplent les galaxies, et en particulier du Soleil :

- la gravitation permet la formation des étoiles à partir de nuages de gaz ;
- les interactions faible et forte interviennent lors des réactions de fusion nucléaire ;
- l'interaction électromagnétique est liée à la production de lumière.



Antiproton

ANTIMATIÈRE

À chaque particule correspond une antiparticule. Leurs caractéristiques physiques sont quasiment identiques. Une particule et son antiparticule ont la même masse, mais des charges opposées.